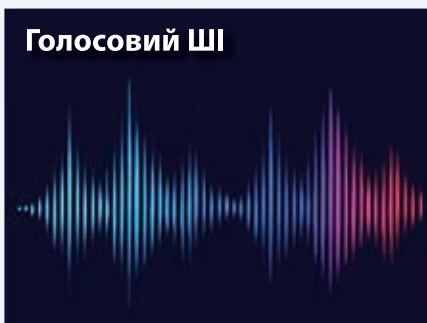
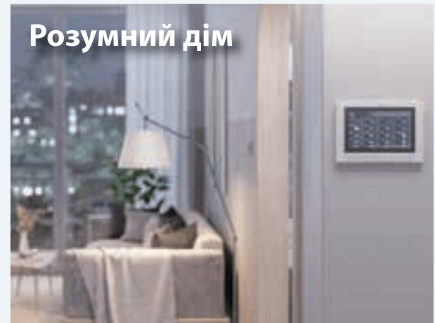


# CHIP NEWS



- dsPIC33A DSC від Microchip ... стор. 10
- Вседіапазонні GNSS-приймачі ... стор. 16
- Чек-лист для розробників ДП ... стор. 26
- Осердя з порошкових матеріалів ... стор. 36
- Дискретні ОП Sparkos Labs ... стор. 52
- SiC модулі в електроприводах ... стор. 62



ESP



Ми прагнемо надати користувачам інноваційні  
та інтуїтивно зрозумілі продукти,  
які вирішують складні та важливі проблеми

№ 09 (234), 2024 р.

Науково-технічний журнал  
Видавець з 2001 р.  
ТОВ «Булавіа-Посад л.т.д.»

Зареєстрований  
Міністерством юстиції України.  
Свідоцтво про державну реєстрацію  
друкованого засобу масової  
інформації  
Серія КВ № 25055-14995Р  
14.12.2021 р.

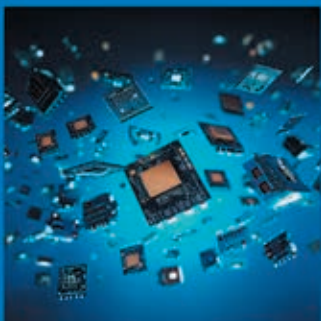
**Головний редактор:**  
Сірич О. В.  
E-mail: editor@chipnews.com.ua

**Редакційна колегія:**  
Войналович М. Ю., Крючков С. Д.,  
Кунчак Н. К., Кураев П. П.,  
Макаренко В. В., Мовчанюк А. В.,  
Першин М. О., Поліщук С. І.,  
Рентюк В. К., Стецок Л. В.,  
Файєр О. М., Шевченко В. Л.

**Адреса редакції:**  
03061, Київ,  
просп. Відродження, 10

E-mail: info@chipnews.com.ua  
[https://www\(chipnews.com.ua](https://www(chipnews.com.ua)

© «CHIP NEWS».  
Передрук матеріалів, опублікованих  
в журналі «CHIP NEWS», може бути  
здійснений тільки з письмового дозволу  
редакції. За рекламну інформацію ре-  
дакція відповідальності не несе.



# 3МІСТ

## НОВИНИ

- Новини світу електронних компонентів. .... 4**

## МІКРОКОНТРОЛЕРИ

- Праміт Нанді (Pramit Nandy)  
Переклад та редактування:  
Нікіта Єзерський  
Розширення можливостей  
керування в реальному часі  
за допомогою обчислювальної  
потужності dsPIC33A DSC  
від Microchip Technology ..... 10**

## СИСТЕМИ ЗВ'ЗКУ

- Мортен Стрьом (Mårten Ström)  
Вседіапазонні GNSS-приймачі  
покращують точність позиціювання,  
навігації та синхронізації.  
Ось як це відбувається. .... 16**

## ТРАНСПОРТ

- Розширення можливостей  
автономного транспорту  
та контролери штучного інтелекту. .... 22**

## КОНСТРУКТИВИ

- Пластикова шафа AX від RITTAL —  
екстрім у квадраті ..... 24**

## ПРОЕКТУВАННЯ ДРУКОВАНИХ ПЛАТ

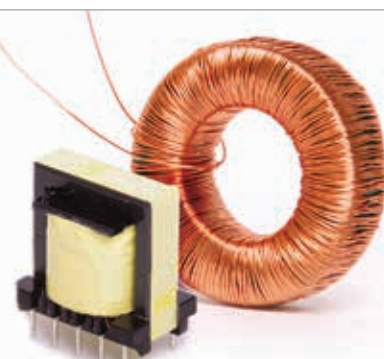
- Девід Марракчі (David Marrakchi)  
Чек-лист для розробників друкованих плат.  
Як досягти цілісності високошвидкісних  
сигналів ..... 26**

[www.adcgr.com](http://www.adcgr.com)

**ВЛАСНЕ ВИРОБНИЦТВО  
В УКРАЇНІ МОТОЧНИХ ВИРОБІВ  
ЗГІДНО ДОКУМЕНТАЦІЇ  
АБО ЗА ТЕХНІЧНИМ  
ЗАВДАННЯМ**



**ТОВ «АДС ТІМ»  
Україна, м. Київ  
пров. Ю. Матущака, 3, оф. 126**



тел. +38 044 206 22 52  
моб. +38 067 249 77 58  
+38 050 464 22 52

# Радіомаг

## МЕРЕЖА МАГАЗИНІВ РАДІОДЕТАЛЕЙ

[www.radiomag.com.ua](http://www.radiomag.com.ua)

### ВИМІРЮВАЛЬНА ТЕХНІКА

Переклад: Вадим Потапенко Редактування: Віктор Бутирін <b>Оптимізація налаштувань для підвищення чутливості аналізатора спектра.</b> <b>Підвищення чутливості вимірювань спектра є ключем до вимірювання низькорівневих сигналів.....</b>	30
--	----

### НА ДОПОМОГУ РОЗРОБНИКУ

Артем Терейковський <b>Осердя з порошкових матеріалів .....</b>	36
Міхаель Пітерс (Michael Peters) <b>Вимірювання сили струму навантаження за допомогою ІС цифрового керування електро живленням по шині РМВус. Частина 2 .....</b>	44

### ПАСИВНІ КОМПОНЕНТИ

Александр Шайє (Alexandre Chaillot), Евелін Хуанг (Evelyn Huang) <b>Схеми для усунення брязку контактів механічних перемикачів .....</b>	48
--	----

### ОПЕРАЦІЙНІ ПІДСИЛЮВАЧІ

Переклад та редактування: Олексій Панфьоров <b>Дискретні операційні підсилювачі. Чому вони кращі за інтегральні мікросхеми .....</b>	52
<b>Підсилювачі з автоматичним встановленням нуля.....</b>	58

### СИЛОВА ЕЛЕКТРОНІКА

Carsten Schreiter (Карстен Шрайтер) Переклад та редактування: Сергій Поліщук <b>Semikron Danfoss: компактні та ефективні перетворювачі для електроприводів на основі модулів з карбідом кремнію .....</b>	62
<b>Огляд силових промислових запобіжників компанії Littelfuse .....</b>	66
Штефан Бушхорн (Stefan Buschhorn) Клаус Фогель (Klaus Vogel) <b>Модернізація силових модулів для підвищення густини потужності та терміну служби .....</b>	70
<b>Безпечна система з'єднань для тягових батарей ВСОН+.....</b>	72
<b>ВІЗИТКИ .....</b>	74
<b>ВИСТАВКИ .....</b>	79
<b>ІНФОРМАЦІЙНА СТОРІНКА.....</b>	80

# Мийний засіб для друкованих плат PCB Cleaner Ultrasonic ECS



Рідина для ультразвукового очищення PCB Cleaner Ultrasonic від ECS ідеально підходить для видалення як дуже стійких залишків флюсу, так залишків безвідмивних флюсів, видалити які може бути надзвичайно важко. Мийний засіб для друкованих плат ECS PCB Cleaner Ultrasonic видалив іх відповідно до військових стандартів чистоти. Він готовий до використання, а також містить інгібітор корозії для використання з чутливими металами. Він також має слабкий запах і його легко змити під час ополіскування. ECS PCB Cleaner Ultrasonic є негорючою сумішшю на водній основі, яка біологічно розкладається та призначена для очищення відповідно до військових стандартів чистоти (ANSI J-001B/IPC TM-650).

- Видаляє всі види залишків флюсу; ідеально підходить для очищення дуже стійких відкладень
- Має покращену ефективність очищення для більш ефективних процесів очищення
- Має покращену ефективність очищення для більш ефективних процесів очищення
- Негорючий продукт, 100% безпечний для озону, придатний для використання в стандартному обладнанні для відмивання електроніки

## Інструкції з використання

Мийний засіб ECS PCB-Cleaner Ultrasonic був спеціально розроблений для використання в 3- або 4-ступеневих системах групового відмивання з використанням ультразвуку або в струменевих системах типу «струмінь в рідині». Він постачається в концентрації, придатній для негайного використання, і подальше розведення не рекомендується. У типових умовах використання та температурах ECS PCB Cleaner Ultrasonic має відмінну сумісність з більшістю матеріалів, що використовуються в електронній промисловості, а також з матеріалами, які використовуються в обладнанні для відмивання. Для чутливих пластмас, таких як полікарбонат і ABS, рекомендована перевірка на сумісність.

Параметр	Значення
Зовнішній вигляд	Синя рідина
Точка кипіння, °C	98
Температура спалаху, °C	Не існує
Точка замерзання, °C	-5
В'язкість за 20 °C, мПа·с	5-10
Рівень pH	11,7
Провідність за 18 °C, мСм	1,4
Відповідність RoHS-2 (2011/65/EU)	Так

## Для замовлення:

Артикул	Назва
43887	Мийний засіб PCB Cleaner Ultrasonic 1L ECS
43888	Мийний засіб PCB Cleaner Ultrasonic 5L ECS

Вироблено в Німеччині **ECS**

ТОВ „ФІЛУР ЕЛЕКТРИК, ЛТД“ —  
офіційний дистрибутор продукції ECS в Україні

## Ультразвукові настільні ванни виробництва SD ULTRA (Корея)



Ультразвукові ванни призначені для відмивання будь-яких предметів складної форми, що не мають протипоказань для УЗ відмивання. Ультразвукові коливання утворюють кавітаційні бульбашки у відмивній рідині, які вибухають біля поверхні предмета, що відмивається, і таким чином руйнують забруднення, що утворились на його поверхні. Використання відповідних відмивних рідин в УЗ ваннах значно підсилює ефективність відмивання, а для видалення найбільш важких для відмивання залишків в УЗ ваннах передбачено підігрів робочої рідини.

Для відмивання великовагітних предметів УЗ ванни постачаються у роздільному виконанні – контролер з вбудованим генератором та великовагітна УЗ ванна з підігрівом.

У програмі поставок є УЗ ванни з наступними характеристиками:

- Керування – аналогове, цифрове
- Функція дегазації мийного розчину у цифрових УЗ ваннах
- Частота ультразвуку — 28 кГц, 40 кГц
- Потужність ультразвуку — 80–1500 Вт
- Підігрів — 30 – 80 °C
- Потужність підігріву — 55–320 Вт
- Місткість 1,2 — 74 л



ТОВ „ФІЛУР ЕЛЕКТРИК, ЛТД“ —  
офіційний дистрибутор УЗ ванн виробництва SD ULTRA в Україні



вул. Гетьмана Павла Полуботка, 22/14  
м. Київ, Україна, 02100  
[www.filur.net](http://www.filur.net)  
[www.payalnik.com.ua](http://www.payalnik.com.ua)

+38 (044) 495 75 75  
+38 (068) 496 75 75  
[office@filur.net](mailto:office@filur.net)  
[payalnik@filur.net](mailto:payalnik@filur.net)

# Новини світу електронних компонентів

## ЛІНІЙКА ОПТИМІЗОВАНИХ СИЛОВИХ ПРИСТРОЇВ IGBT 7

Силові компоненти розвиваються, щоб задовольнити зростаючі вимоги до більшої ефективності, меншого розміру та більшої продуктивності в силових електронних системах. Щоб забезпечити розробників систем широким спектром силових рішень, компанія **Microchip Technology** оголосила про своє портфоліо пристройів IGBT 7, які пропонуються в різних корпусах, різних топологіях, а також у різних діапазонах струму та напруги.

Завдяки підвищений потужності, зниженим втратам енергії та компактним розмірам, ця нова лінійка розроблена для сегментів ринку, що швидко зростають, таких як екологічно чиста енергетика, електромобільність та центри обробки даних. Ці високопродук-

тивні IGBT 7 є ключовими компонентами для застосування в сонячних інверторах, водневих екосистемах, комерційних і сільськогосподарських транспортних засобах, а також в електричних літальних апаратах (More Electric Aircraft,MEA).

Проектувальники можуть вибрати відповідне рішення для живлення, виходячи зі своїх вимог. Пристрой IGBT 7 пропонуються в стандартних корпусах D3 i D4 62 mm, а також в корпусах SP6C, SP1F i SP6LL. Доступно багато конфігурацій в наступних топологіях: трирівневий з фіксацією нейтральної точки (Neutral-Point Clamped, NPC), трифазний міст, boost chopper, buck chopper, dual-common source, full-bridge, phase leg, з одним перемикачем і Т-подібний тип. Пристрой доступний на напругу від 1200В до 1700В і струм від 50A до 900A.

«Універсальна лінійка IGBT 7 поєднує в собі простоту використання та економічну ефективність з високою густиною потужності та надійністю, пропонуючи нашим клієнтам максимальну гнучкість. Ці продукти призначенні для загальнопромислового застосування, а також для спеціалізованих аерокосмічних та оборонних застосувань», — сказав Леон Гросс (Leon Gross), корпоративний вице-президент групи дискретних продуктів компанії Microchip.

Крім того, наші силові рішення можуть бути інтегровані з широким спектром ПЛІС, мікроконтролерів (MCU), мікропроцесорів (MPU), цифрових контролерів сигналів dsPIC® (DSC) та аналогових пристройів Microchip, щоб забезпечити комплексні системи рішення від одного постачальника.

Нижча напруга на IGBT (Vce), покращений антипаралельний

діод (ніжча Vf) і збільшена сила струму дозволяють знизити втрати потужності, підвищити густину потужності та ефективність системи. Менша індуктивність у поєднанні з вищою перевантажувальною здатністю при  $T_{j\max} = -175^{\circ}\text{C}$  робить ці пристрой чудовими варіантами для створення надійних і високонадійних авіаційних і оборонних систем, таких як силові установки, приводи та розподілення енергії, за меншу вартість системи.

Для систем керування двигунами, де важлива покращена керованість  $dv/dt$ , пристрой IGBT 7 розроблені з урахуванням м'якості вільного ходу для ефективного, плавного та оптимізованого керування перемикачами. Ці високопродуктивні прилади також мають на меті підвищити надійність системи, знизити рівень електромагнітних завад і звести до мінімуму стрибки напруги.

Компанія Microchip пропонує широкий асортимент рішень для керування живленням, який охоплює аналогові пристройі, технології живлення на основі кремнію (Si) та карбіду кремнію (SiC), цифрові контролери сигналів dsPIC®, а також стандартні, модифіковані та індивідуальні модулі живлення.

[www.microchip.com](http://www.microchip.com)

## МИНІАТЮРНІ ІНКАПСУЛЬОВАНІ ПЕРЕТВОРЮВАЧІ ЗМІННОГО/ПОСТИГНОГО СТРУМУ

Серія RAC04NE-K інкапсульовані AC/DC-перетворювачі, випущені компанією **RECOM**, має номінальну потужність 4 Вт безперервно, без зниження, у всьому вхідному діапазоні від 100 до 277 В змінного струму і в діапазоні температур від  $-40$  до  $+80^{\circ}\text{C}$ , а пікова потужність 6 Вт доступна протягом обмеженої тривалості. Ці характеристики роблять модулі придатними для широкого спектра вимогливих, але чутливих до витrat застосувань, в тому числі для автоматизації будівель/будинків, освітлення, передачі даних/телекомуникацій, е-мобільності, промисловості та

електронні компоненти • друковані плати • R&D • управління залишками  
stock@cognito.com.ua

cognito

багатьох інших. Додаткові характеристики містять ізоляцію класу II, рейтинг OVCIII до 3 000 м, підвищено стійкість до лінійних перехідних процесів і відповідність стандарту кондуктивних електромагнітних завад EN55032, клас В, з плаваючим або заземленим виводом.

Доступні повністю регульовані вихідні напруги 5, 9, 12, 15 і 24 В, а вироби пропонуються у форматі з наскрізним отвором для монтажу на друковану плату, розміром 37 × 24 × 18 мм. Деякі моделі також доступні в дротовому форматі з монтажними наконечниками, розміром 37.8 × 24.8 × 18.7 мм, в герметичному корпусі та зі ступенем захисту IP65.

Для різних кінцевих застосувань отримано комплексні сертифікати безпеки та електромагнітної сумісності, а продукти мають надійний захист від перевантаження, короткого замикання та перенапруги на виході. Висока якість збірки забезпечує надійну роботу в складних умовах експлуатації, а розрахунковий час напрацювання на відмову становить понад 2 млн годин за температури 40 °C відповідно до умов

MIL-HDBK-217, GB. Розрахунковий термін служби складає понад 12 років при 230 В змінного струму, повному навантаженні та температурі навколошнього середовища 50 °C, що підтверджується трирічною гарантією RECOM.

[www.recom-power.com](http://www.recom-power.com)

#### IGBT/SiC MOSFET DC/DC ДРАЙВЕР КЕРУВАННЯ ЗАТВОРОМ

З безперервним розвитком напівпровідникових технологій, пристрої IGBT (біполярний транзистор з ізольованим затвором) та SiC (карбід кремнію) дедалі частіше застосовуються у широкому спектрі сфер, включаючи електронні вимірювальні прилади, джерела живлення, дата-центри, системи відновлюваної енергії та розподілені схеми. У відповідь на цей зростаючий попит, компанія **MEAN WELL** представила новий 2-ватний DC/DC драйвер затвора, розроблений спеціально для застосувань з IGBT або SiC транзисторами, які потребують двох ізольованих каналів живлення — серію GD2.

Серія GD2 має модульну конструкцію та компактні розміри, а також високу ізоляцію «вхід-вихід» 4.2 кВ змінного струму/6 кВ постійного струму та різноманітні моделі драйверів на вибір. На відміну від традиційних рішень, які отримують допоміжне живлення від внутрішніх трансформаторів системи, серія GD2 має кілька ключових переваг, таких як спрощення периферійних драйверних схем на друкованій платі (PCB), покращення точності напруги, відсутність потреби у додаткових радіаторах та підвищення ізоляційних характеристик.

[www.meanwell.com](http://www.meanwell.com)

#### UNO-2271G V3 ПЕРЕВТОРЮЄ ГРАНИЦІ ІОТ

О скільки Індустрія 4.0 є рушійною силою ринку промислового IoT, виробники шукають потужні та компактні рішення для граничних обчислень і аналізу даних у реальному часі.

Новий **UNO-2271G V3** виробництва компанії **Advantech**, що вірізняється компактним форм-фактором і широким темпера-

турним діапазоном, відповідає цим найважливішим потребам ринку, забезпечуючи виняткову продуктивність завдяки процесору Intel® Atom x7211RE (двоядерний) та інноваційній модульній конструкції. Завдяки трьом варіантам розширення другого стека він дає змогу розв'язувати різноманітні промислові завдання — від під'єднання обладнання та візуалізації процесів до керування навколошньим середовищем і диспетчеризації, являючи собою наступну еволюцію в галузі промислових обчислень на граници.

Підприємства все частіше стикаються з проблемами обмеженого простору для розміщення обладнання та системної інтеграції. UNO-2271G V3 розв'язує ці проблеми завдяки компактному дизайну (100 × 70 × 40 мм) та інноваційній модульній архітектурі, що пропонує три стековані варіанти розширення з підтримкою PoE PD, COM-портів і модулів iDoor. Пристрій підтримує безліч варіантів монтажу, включно з DIN-рейкою, задньою DIN-рейкою, стікою, настінним кріплінням і кріплінням VESA, що значно знижує складність розгортання і витрати на обслуговування.

**Серії НЕР**

**100-1000 Вт**  
**Безвентиляторні блоки живлення**  
**для сурових умов експлуатації**

- Безвентиляторне виконання і повністю герметичний корпус
- Висока ефективність
- Широкий діапазон робочих температур
- Витримують вібрації до 10G
- Модель з вихідною напругою 100 В (серія НЕР-1000)
- 6 років гарантії

Компанія СЕА — авторизований дистрибутор MEAN WELL на території України

**SEA** | ІННОВАЦІЯ ТА ЕФЕКТИВНІСТЬ | 30 років підприємства

Україна, 02094, м. Київ, вул. Краківська, 13-Б  
 тел./факс: +38 044 330-00-88  
 info@sea.com.ua, www.sea.com.ua

**Pcb24** – сервіс з експрес виробництва прототипів і невеликих партій одно- та двошарових друкованих плат

**За 24 години виготовимо Ваше замовлення**

Власне виробництво у м. Львів



ТОВ «Крієйтів Лоджікс»  
[www.pcb24.com.ua](http://www.pcb24.com.ua)

pcbprint24@gmail.com  
068 614 38 28

*UNO-2271G V3*, оснащений процесором Intel® Atom x7211RE (двоядерний), забезпечує потужні обчислювальні можливості з 8 ГБ пам'яті LPDDR5 і 64 ГБ eMMC для підтримки вимогливих промислових застосунків. Для забезпечення надійного під'єднання в різних промислових сценаріях він пропонує широкі можливості вводу/виводу, включно з 2 × i226 LAN, 1 × HDMI 1.4, 1 × USB 3.2 Gen2 і 1 × USB Type C, забезпечуючи безшовну інтеграцію з різними промисловими пристроями та системами.

UNO-2271G V3 підтримує бездротові мережі з модулями Wi-Fi через стандартний для галузі інтерфейс перетворююча ключів B+M в E в базовому блоці. Модульна конструкція дає змогу розширяти стек другого рівня, забезпечуючи під'єднання до мереж LTE, 4G і 5G для масштабованих високошвидкісних мобільних мереж. Інтеграція з платформою управління IoT-пристроями DeviceOn від Advantech забезпечує централізований моніторинг, контроль доступу до

пристрій і оновлення програмного забезпечення повітрям, що дає змогу мінімізувати час простою і підвищити ефективність роботи.

UNO-2271G V3 виконаний у класичній колірній гамі Advantech 432C Pantone, зберігаючи при цьому фірмовий дизайн серії UNO. Завдяки 40-міліметровому радіатору та захисній верхній кришці він забезпечує оптимальне відведення тепла та безпеку оператора під час тривалої промислової експлуатації.

[www.advantech.com](http://www.advantech.com)

#### DS-1300 CINCOZE ДЛЯ РОБОТІВ З ВІЗУАЛЬНИМ КЕРУВАННЯМ

З даними дослідження TrendForce, світовий ринок інтелектуального виробництва досягне 620 мільярдів доларів США до 2026 року. Серед нових технологій, що використовуються на ринку «розумних фабрик», що зро-

стає, має популярність машинний зір, що дає змогу використовувати такі нові технології, як роботи з візуальним керуванням (Vision Guided Robots, VGR), які роблять виробничі лінії гнучкішими та ефективнішими. Рекомендованім варіантом для VGR є серія DS-1300 Rugged Computing компанії Cincoze — DIAMOND.

DS-1300 — це вбудований комп’ютер із продуктивністю робочої станції та можливістю розширення PCIe, що має екстремальні обчислювальні можливості, два слоти розширення PCIe/PCIe і захист промислового рівня. З моменту випуску він широко використовується в системах VGR для підбору матеріалів, складання виробів, керування верстатами, зварювання і штабелювання.

VGR отримують зображення та дані з камер і датчиків на маніпулятори робота, надсилають на вбудований комп’ютер для оброблення та внесення рішення, а потім видають сигнали зворотного зв’язку, що дають змогу роботу переміщатися в задане положення для виконання ідентифікації та

виявлення дефектів на заготовках різної форми. Ключовим фактором є висока швидкість обробки даних, тому серія DS-1300 підтримує процесор Intel® Xeon®/Core™ (Comet Lake-S) 10-го покоління (до 10 ядер по 80 Вт), до 64 ГБ пам’яті та слот M.2 NVMe, що задовільняють вимогам VGR зі збирання, оброблення та аналізу візуальних даних. DS-1300 підтримує до двох наборів слотів розширення PCIe/PCIe, що дає змогу під’єднувати різноманітні наявні у продажу високошвидкісні карти вводу/виводу, карти захоплення зображень, карти руху або карти GPU для аналізу зображень або керування роботами. Запатентований регульований фіксатор карти PCIe надійно утримує карту розширення на місці, забезпечуючи стабільні і надійну роботу навіть в умовах підвищеної вібрації.

Серія DS-1300 має багатий вибір власних високошвидкісних входів/виходів, як-от 2 × GbE LAN, 6 × USB3.2 та інші, що під’єднуються до камер і датчиків, необхідних VGR для високошвидкісного передавання даних із високою роздільною здатністю. Ексклюзивні модулі Cincoze забезпечують додаткові можливості розширення входів/виходів або функцій, як-от GbE LAN, 10GbE LAN, DIO, COM, USB 3.2 або PoE. Вбудований слот розширення Mini PCIe можна використовувати з наявними в продажу модулями Wi-Fi/4G/GPS для бездротового зв’язку та завантаження виробничої інформації до центрального центру керування в режимі реального часу.

VGR використовуються в суворих і складних умовах промислових підприємств. Усі моделі DS-1300 спроектовані так, щоб витримувати ударі та вібрації, відповідаючи провідному в галузі стандарту перевірки військового обладнання США (MIL-STD-810G), та зберігаючи міцну конструкцію серії DIAMOND, з такими механізмами захисту, як підтримка широкого діапазону температури (-40–70 °C) та напруги (9–48 В постійного струму), а також захист від перенапруги, перевантаження за струмом та ESD. Незалежно від температури робочого середовища, серія DS-1300 може працювати без перебоїв протягом тривалого часу, забезпечуючи найстабільнішу та найнадійнішу продуктивність для граничних обчислень VGR.



# K206

## Електронні компоненти

Все для виробництва  
та ремонту зі складу  
та на замовлення

[www.k206.net](http://www.k206.net)  
+38 096 77-99-665

[www.cincoze.com](http://www.cincoze.com)

## СІМЕЙСТВО ПОВНОМОСТОВИХ ТРАНСФОРМАТОРНИХ ДРАЙВЕРІВ

**K**омпанія Infineon Technologies представила сімейство повномостових трансформаторних драйверів EiceDRIVER™ Power 2EP1xxR для джерел живлення драйверів затворів IGBT, SiC і GaN. Завдяки сімейству 2EP1xxR компанія Infineon розширює свій портфель силових пристрій, надаючи розробникам рішення для ізольованого живлення драйверів затворів. За допомогою цих пристрій можна реалізувати несиметричні вихідні напруги для живлення ізольованих драйверів затворів в економічно ефективний і компактний спосіб. Це робить 2EP1xxR особливо придатним для промислових і побутових застосувань, які потребують ізольованих драйверів затворів, зокрема сонячні установки, зарядні пристрій для електромобілів, системи зберігання енергії, зварювання, джерела безперебійного живлення і привідні пристрій.

Мікросхеми нового сімейства випускаються в компактному корпусі TSSOP8 з інтеграцією

живлення та оптимізацією для отримання несиметричної вихідної напруги. Завдяки унікальній можливості регулювання робочого циклу мікросхеми оптимізовано для живлення несиметричних драйверів затворів. Пристрої підтримують широкий діапазон вхідної напруги до 20 В. Вони також мають вбудований захист від перегріву, короткого замикання і зниженої напруги (Undervoltage Lockout, UVLO) для запобігання небажаним системним несправностям.

Сімейство мікросхем 2EP1xxR доступне в наступних чотирьох варіантах: 2EP100R і 2EP101R оптимізовані для малокомпонентних конструкцій блоків живлення драйверів затворів IGBT і SiC MOSFET. 2EP110R дозволяє точно регулювати робочий цикл для узгодження співвідношення вихідних напруг з вимогами застосування силових перемикачів на SiC і GaN. 2EP130R оптимізовано для гнучких конструкцій, що відповідають різним вимогам застосування. Пристрій пропонує 5-ступеневий захист від перевантаження по струму, 41 вибір частоти перемикання або синхронізацію з зовнішнім ШІМ для

узгодження трансформатора, а також 41 вибір параметрів робочого циклу для регулювання вихідної напруги.

[www.infineon.com](http://www.infineon.com)

## НАДІЙНИЙ РОЗПОДІЛ ЖИВЛЕННЯ ЗА ДОПОМОГОЮ ЕЛЕКТРОННИХ ЗАПОБІЖНИКІВ

Сучасні децентралізовані та зональні архітектури розподілу електроенергії вимагають надійних рішень. Завдяки PROFET™ Wire Guard компанія Infineon Technologies надає розробникам вдосконалений захист проводів для сучасного розподілу електроенергії. У порівнянні зі звичайними запобіжниками, це сімейство продуктів може набагато точніше імітувати характеристики напруги проводів за допомогою інтегрованої та точної кривої захисту проводів  $I^2t$ , яка може бути обрана з шести реалізованих кривих залежно від вимог застосування. У поєднанні з іншими функціями, інтегрована точність захисту проводів  $I^2t$  дозволяє оптимізувати джут проводів при заміні механічних реле і запобіжників.

П'ять пристрій PROFET Wire Guard випускаються в перевірених корпусах TSDSO-14 і TSDSO-24. Вони забезпечують повну сумісність «pin-to-pin» в межах сімейства і високу сумісність з пристроями PROFET +2 12 В і розраховані на струми до 27 А. Для розширення можливостей по струму до 36 А лінійка продуктів буде розширена додатковим пристрієм, який буде випущений в 4 кварталі 2025 року. Пристрій має режим комутації ємнісного навантаження (Capacitive Load Switching, CLS) для заряджання ємнісних навантажень. Регульований поріг виявлення перевантаження по струму підтримує швидку ізоляцію несправності від джерела живлення. Вбудований автоматичний режим холостого ходу знижує споживання струму під час стоянки до 50 мА, при цьому вихідний каскад залишається повністю увімкненим. Вбудована послідовна діагностика надає точні дані про роботу системи за п'ятьма адресами на одному виводі, що дозволяє проводити тестування цілісності



## Китай «АНЬЗА» [www.asanza.com](http://www.asanza.com)

Ваш надійний партнер і друг у Китаї!

## ПІЛЬГОВІ УМОВИ ЩОДО ОПЛАТИ!

Компанія "Аньза" (Китай) вже понад 20 років спеціалізується на міжнародній торгівлі. Сьогодні з нашою компанією співпрацюють понад 400 партнерів з більш ніж 20 країн світу. Ми пропонуємо завжди вигідні умови щодо оплати завдяки тісній співпраці з державними банками. Як член китайської електротехнічної та енергетичної асоціації, ми маємо широкі зв'язки з виробниками електротехніки та енергетики, тому зможемо постачати Вам товари від різних виробників, різних брендів і в широкому асортименті відповідно до Ваших вимог. Ми можемо запропонувати Вам різноманітні способи щодо доставлення та допомогу в розмитненні.

Ми готові з усіма нашими партнерами разом знайти різні варіанти співпраці!

### Силова електроміка



Комплектація до пристадів



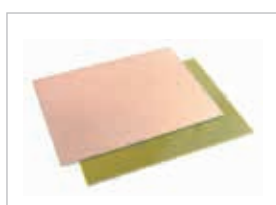
Пластини кремнієві



Автомат для пресування



Автомат для полірування пластин



FR4 плати



Контактувальний пристрій



Підпружнені контакти



Матеріали з металу

E-mail: sonia1102@163.com (Соня)

Тел.: +86-412-8518128 / +86-15042320637

системи на відповідність вимогам функціональної безпеки та подальшу оптимізацію джгутів проводів під час фейсліфтингу на основі аналізу стану захисту проводів під час експлуатації автомобіля. Пристрої були розроблені та випускаються як елемент безпеки ISO 26262:2018 поза контекстом вимог безпеки до ASIL D.

Для підтримки процесу проектування сімейство продуктів інтегровано в Infineon Automotive Power Explorer, який доступний в Центрі розробників Infineon. Цей інструмент моделювання підтримує, наприклад, оцінку здатності захисту системи пристроями PROFET Wire Guard із заданим профілем проводів і навантаження. Він також розраховує правильні значення опору для регульованого порогу виявлення перевантаження по струму, а також вибір інтегрованих кривих захисту проводів I<sup>2</sup>t. Інструмент також здатний розраховувати такі параметри, як точність kLLS або розсіювану потужність для всього сімейства продуктів.

[www.infineon.com](http://www.infineon.com)

#### TRI-RADIO МОДУЛЬ ДЛЯ ЗАБЕЗПЕЧЕННЯ НОВІТНІХ БЕЗДРОТОВИХ ТЕХНОЛОГІЙ ДЛЯ ІОТ

Компанія **u-blox** оголосила про запуск MAYA-W4, економічно ефективного tri-radio модуля, який забезпечує новітні

технології бездротового зв'язку для масового ринку. Завдяки підтримці двохіапазонного Wi-Fi 6, Bluetooth Low Energy 5.4 і 802.15.4 (для Matter з підтримкою технології Thread), MAYA-W4 змінить ландшафт застосувань Інтернету речей у різних галузях промисловості, покращуючи зв'язок і сумісність пристройів.

Поєднуючи три найважливіші бездротові технології в компактному енергоефективному модулі, універсальний MAYA-W4 задоволяє зростаючий попит на надійне та безпечне з'єднання. MAYA-W4 пропонує розробникам і виробникам безпрецедентну гнучкість, незалежно від того, чи дозволяє він створювати енергоефективні mesh-мережі для «розумних» будинків, чи забезпечує високошвидкісне з'єднання Wi-Fi 6 для промислових інструментів. Невеликий розмір і міцна конструкція роблять його ідеальним для застосування в умовах обмеженого простору, а всеосяжна глобальна сертифікація гарантує безперешкодне розгортання в різних регіонах.

MAYA-W4 задовольняє потребу ринку в рішеннях Wi-Fi 6, зумовлену швидким впровадженням Wi-Fi 6 в сегментах Інтернету речей, що підкреслюється останніми ринковими даними. Він зменшує перевантаження мережі, підвищуючи енергоефективність і, завдяки діапазону температур від -40 до +85 °C, підходить для використання в промислових умовах. Завдяки набору функцій початкового рівня та оптимізованій пропускній здатності

MAYA-W4 забезпечує економічно ефективне підключення без шкоди для продуктивності. Підтримка стандарту 802.15.4 дозволяє використовувати малопотужні IoT i mesh-мережі, забезпечуючи шлюз для наступного покоління інтелектуальних підключених пристройів.

Новий модуль також полегшує розробку, дозволяючи виробникам масштабувати свої пристрої для поточних і майбутніх ринків. Пропонуючи широкий вибір варіантів антен, конструктори можуть вибирати між виведенням виводів, вбудованою антеною або конфігурацією роз'ємів U.FL. Зберігаючи такі ж компактні розміри, як і у попередників (10 x 14 x 1.9 мм), u-blox спрощує міграцію з попередніх поколінь.

[www.u-blox.com](http://www.u-blox.com)

переднього вставлення забезпечує можливість електромонтажу жорстких та гнучких провідників з на-конечниками без використання інструментів. Для запобігання неправильному підключенню компанія **Phoenix Contact** пропонує штекери та основи колодки з механічним кодуванням.

Серія DD31PS підходить для застосування у найрізноманітніших сферах завдяки таким різним конструкціям і варіантам, як-от вільнопідвішування з'єднання та прохідні панелі. Наприклад, у робототехніці, підіймально-місцевому обладнанні або системах керування акумулятором. В асортименті з'єднувачі провідник-плата зі з'єднанням Push-in у дворядному виконанні з кількістю полюсів від 4 до 20 і кроком 3.81 мм. Вони доповнюють наявний асортимент з'єднувачів провідник-плата з технологією обтиску з'єднання.

[www.phoenixcontact.com](http://www.phoenixcontact.com)

#### З'ЄДНУВАЧІ З ТЕХНОЛОГІЄЮ PUSH-IN

#### GAMECHANGERS: РЕВОЛЮЦІЯ В ПІДКЛЮЧЕННІ ПРИСТРОЇВ

Компанія **Phoenix Contact** представила GameChangers для підключення пристроїв: завдяки провідним ідеям, технологіям і матеріалам вони пропонують швидші, компактніші, простіші, мінішні, гнучкіші та потужніші рішення для приладобудування.

Інноваційні з'єднувачі, як-от двохжильні з'єднувачі для Single

**MICRODIS**  
[www.microdis.net](http://www.microdis.net)

Мікродіс Електронікс ГмбХ –  
офіційний дистрибутор u-blox  
та Fischer Connectors в Україні



**Роман Прокопець**  
Менеджер з продажу

**Microdis Electronics GmbH**  
Rheinauer Straße 1  
68766 Hockenheim  
Germany

M +380 67 475 81 86  
Roman.Prokopets@microdis.net

**ublox**  
**Fischer**  
CONNECTORS®

Pair Ethernet, не тільки вражають швидкістю передачі даних, але й забезпечують більшу швидкість під час проектування, монтажу та введення в експлуатацію. З'єднувачі для друкованих плат демонструють свою продуктивність в особливо малому просторі. Кожен міліметр використовується для підвищення продуктивності та функціональної щільноти, наприклад, у з'єднувачах для друкованих плат з кроком 6.35 мм. Інноваційні технології з'єднання, як-от з'єднання для друкованої плати з керуванням за допомогою важеля або з'єднувачі M12 зі швидкою системою фіксації Push-Pull, забезпечують особливо просте підключення пристрій.

Надійні вироби з високим ступенем захисту, наприклад стійкі до атмосферних впливів корпуси для експлуатації просто неба або монтажні з'єднувачі для безпечної розподілу енергії, підходять для використання навіть у складних умовах. Гнучкі з'єднувачі і корпуси з можливістю індивідуальної адаптації розширяють варіанти проектування пристрій.

Ефективні з'єднувачі забезпечують повну потужність для вимогливих систем. Наприклад, сумісні

незалежно від виробника з'єднувачі M17 і M23 для безперервної передачі сигналів і живлення або з'єднувачі для пристрійових накопичення енергії до 1 500 В.

[www.phoenixcontact.com](http://www.phoenixcontact.com)

## РІШЕННЯ ДЛЯ БЕЗДРОТОВОЇ НАДШИРОКОСМУГОВОЇ СИСТЕМИ КЕРУВАННЯ БАТАРЕЯМИ

Компанія **NXP Semiconductors** представила нове, перше в галузі бездротове рішення для системи керування батареями (Battery Management System, BMS) з можливостями надширокосмугового зв'язку (Ultra Wideband, UWB) з одного з найшвидших в галузі портфолію UWB. Нове рішення UWB BMS знаменує собою наступний крок у подоланні проблем розвитку, включаючи дорогі та складні виробничі процеси, що прискорює провадження електромобілів (Electric Vehicles, EV).

Бездротовий зв'язок всередині акумуляторних батарей забезпечує надійну та надій-

ну передачу інформації про елементи батареї, наприклад, вимірювання напруги та температури, від одного модуля до блоку керування батареєю без необхідності прокладання кабелів. Це допомагає забезпечити оптимальну продуктивність і запобігти умовам, що призводять до передчасного виходу з ладу або загрожують безпеці.

Бездротова технологія NXP UWB BMS розділяє механічну та електричну розробку, пропонуючи виробникам електромобілів підвищено гнучкість, скорочення часу виходу на ринок і зниження витрат на розробку, зберігаючи при цьому повну масштабованість системи на різних платформах.

Використання бездротових рішень зводить до мінімуму використання складних джгутиків проводів в акумуляторній батареї та зменшує потребу в скильних до помилок ручних зусиллях під час виробництва, що робить збірку електромобілів ефективнішою і знижує загальні витрати на життєвий цикл. Відмова від роз'ємів і проводки між елементами батареї дозволяє збільшити густину енергії, що є ключовим параметром у дизайні та продуктивності

електромобіля для забезпечення більшої дальності пробігу.

Реалізація бездротової технології у відбивному корпусі акумуляторної батареї є складним завданням. UWB використовує широкосмугові імпульси замість модульованої носійної частоти (синусоїдального сигналу), що використовується у вузькосмуговому діапазоні 2.4 ГГц, як, наприклад, технології Bluetooth® Low Energy (BLE). Це забезпечує вищу стійкість до віддзеркальень і частотно-селективних завмирань для більш надійної та надійної передачі даних.

Рішення є частиною чипсету FlexCom від NXP, який підтримує дротові та бездротові технології, надаючи OEM-виробникам та постачальникам Tier-1 більшу гнучкість у виборі архітектури та технологій для транспортних засобів. Спільна архітектура програмного забезпечення та бібліотеки безпеки для обох конфігурацій BMS дозволяє їм повторно використовувати програмне забезпечення на різних платформах, що є більше скрочує зусилля з розробки.

[www.nxp.com](http://www.nxp.com)



RADIODETALI

# ВЕЛИКИЙ ВИБІР РАДІОДЕТАЛЕЙ!

Інтернет-магазин вул. Івана Світличного, 4  
(044) 392 22 71    (067) 462 22 71

«Радіоринок», Караваєві Дачі, вул. Ушинського, 4

Павільон 9В  
(044) 242 20 79  
(067) 445 77 72

Павільон 9В+  
(068) 599 56 99

Павільон 17Б  
(063) 105 90 01  
(096) 303 90 01

**RADIODETALI.COM.UA**

# Розширення можливостей керування в реальному часі за допомогою обчислювальної потужності dsPIC33A DSC від Microchip Technology

**Праміт Нанді (Pramit Nandy), Microchip Technology**

**Переклад та редактування: Нікіта Єзерський, PhD, старший викладач кафедри ПРЕ, РТФ, КПІ ім. Ігоря Сікорського**

**Компанія Microchip пропонує інженерам ознайомитися з новітніми цифровими сигналними контролерами dsPIC33A з розширеними можливостями, призначеними для керування в реальному часі у вбудованих системах.**

В умовах швидкого розвитку вбудованих систем попит на точні та ефективні системи керування в режимі реального часу продовжує зростати. Мікроконтролери (MCU) залишаються ключовими компонентами в цих варіантах застосування, оскільки використо-

вуються в широкому спектрі галузей, таких як автомобілебудування, побутова електроніка, охорона здоров'я, аерокосмічна промисловість та промислова автоматизація.

З розвитком технологій компактні, але потужні мікроконтролери зазнають

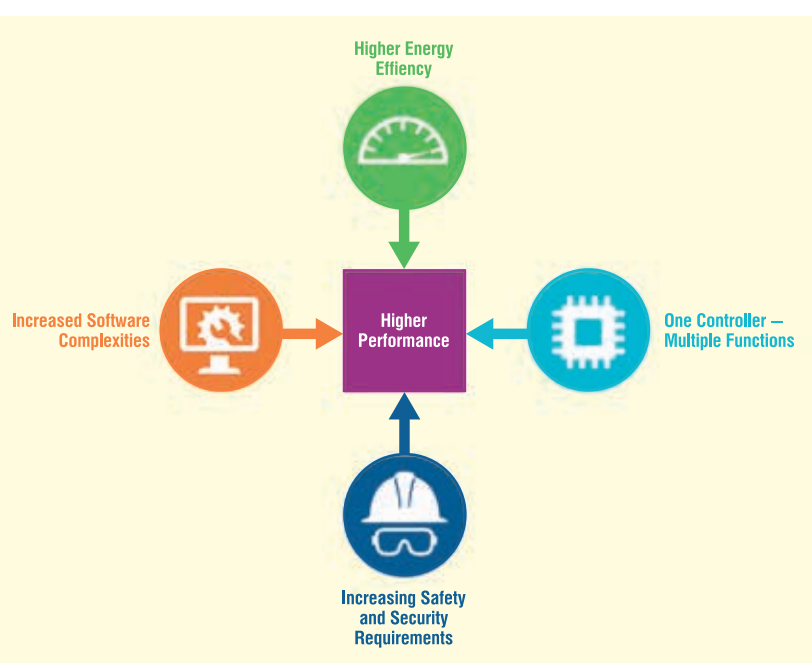
значних змін, щоб відповісти дедалі зростаючим вимогам промисловості. Ця еволюція визначається кількома основними тенденціями, які формують майбутнє технології мікроконтролерів, і вимагають створення більш продуктивних мікроконтролерів з удосконаленими периферійними пристроями для точних вимірювань, при цьому спрощуючи процес впровадження завдяки повній екосистемі розробки.

## Шлях для підвищення продуктивності

Сучасні мікроконтролери вирішують низку важливих завдань — від підвищення складності програмного забезпечення до необхідності підвищення енергоефективності (рис. 1). Вони оснащені вбудованими периферійними пристроями, що забезпечують багатофункціональність, і відповідають високим стандартам безпеки та захисту. У наступному розділі ми розглянемо особливості цих досягнень, підкреслюючи їхню роль у трансформації потенціалу мікроконтролерів у цифровому середовищі, що вимагає більшої продуктивності від сучасних мікроконтролерів.

## Підвищена складність програмного забезпечення

- Інтеграція проєктування на основі моделей. Сучасні мікроконтролери сприяють швидкому створенню прототипів і генерації коду за допомогою інструментів проєктування



**Рис. 1.** Тенденції ринку вбудованих систем

на основі моделей. Це прискорює розробку складного програмного забезпечення та готовність виходу продукту на ринок.

- Надійна безпека та захист.** Вдосконалені мікроконтролери мають комплексні екосистеми, що містять криптографічні модулі, механізми безпечного завантаження та відмовостійкі архітектури, які гарантують цілісність системи. Крім того, мікроконтролери повинні мати необхідну обчислювальну потужність для виконання діагностики функціональної безпеки та захисту, одночасно з основними прикладними функціями.
- Розширенна пам'ять та обробка даних.** Для задоволення зростаючих вимог до програмного забезпечення мікроконтролери мають більший об'єм пам'яті та підвищеною обчислювальну потужність, що дозволяє ефективно підтримувати складні прикладні програми та багатозадачність.

### Підвищення енергоефективності

Мікроконтролери все частіше розробляються з розширеними можливостями для підвищення енергоефективності системи. Це включає інтеграцію швидших і більш ефективних аналогових периферійних пристрій, вдосконалення архітектури для оптимізації коду та підвищення продуктивності. Це дозволяє створювати ефективні системи керування двигунами, джерелами живлення та системами заряджання, які споживають менше енергії без шкоди для продуктивності.

Крім того, в мікроконтролери вбудовані складні алгоритми для динамічного керування та оптимізації енергоспоживання, що дозволяє забезпечити максимальну продуктивність при мінімальному споживанні енергії. Це сприяє збільшенню часу автономної роботи портативних пристрій, зменшенню втрат енергії при перетворенні

та зниженню енергетичних витрат у різних сферах застосування.

### Один контролер — кілька функцій

- Багатофункціональність.** Сучасні мікроконтролери працюють як пристрій «все в одному», синхронізуючи виконання різних функцій.
- Оптимізована архітектура.** Спрощує проєктування системи, мінімізує кількість зайдих компонентів та підвищує продуктивність.
- Вбудовані периферійні пристрій.** Знижують потребу в додаткових елементах на друкованій платі (захоплюючи місце на ній), зменшують системні витрати та сприяють більш високій швидкості роботи.
- Компактність і економічна ефективність.** Полегшують створення компактних, економічних та потужних електронних систем.

### Підвищення вимог до безпеки та захисту

- Відповідність вимогам безпеки.** Сучасні мікроконтролери призначенні для автомобільного, промислового та побутового секторів, мають функції безпеки, що відповідають стандартам ISO 26262, IEC 61508, IEC 60730 тощо. Вони забезпечують відмовостійкість, виправлення помилок і самотестування, що зменшує ймовірність системних збоїв і підвищує безпеку користувача.
  - Підвищення безпеки.** Для боротьби з кіберзагрозами в мікроконтролери вбудовані криптографічні пристрій, механізми безпечного завантаження та контроль доступу, що забезпечує захист даних та інтелектуальної власності.
- Це означає, що крім виконання своїх основних функцій, мікроконтролери тепер повинні забезпечувати додаткові

функції безпеки, що вимагає збільшення пропускної здатності процесора і підвищення продуктивності мікроконтролера.

### ВИСОКОПРОДУКТИВНІ ЦИФРОВІ СИГНАЛЬНІ КОНТРОЛЕРИ (DSC) ВІД MICROCHIP

Усім застосувань, що використовують вбудовані системи, программи керування в режимі реального часу потребують швидкої детермінованої реакції для забезпечення ефективної роботи. Сучасні мікроконтролери, оснащені можливостями ЦОС, необхідні для високошвидкісної обробки складних алгоритмів із низькою затримкою, що є критично важливим для варіантів застосувань у реальному часі, таких як керування двигуном, перетворення енергії та обробка даних з датчиків, де потрібна своєчасна і точна реакція системи. Цифрові сигнальні контролери від Microchip Technology® стали популярним рішенням, яке задоволяє складні потреби керування в реальному часі з високою точністю та надійністю.

### НОВА ВДОСКОНАЛЕНА СЕРІЯ DSPIC33A: ЦИФРОВІ СИГНАЛЬНІ КОНТРОЛЕРИ НАСТУПНОГО ПОКОЛІННЯ ВІД MICROCHIP

У відповідь на ринкові тенденції, що вказують на попит на підвищений продуктивність, компанія Microchip активно вдосконалює цифрові сигнальні контролери dsPIC. Це вдосконалення охоплює інтеграцію високої продуктивності, збільшеного обсягу пам'яті в майбутніх пристроях, а також покращених і швидких периферійних пристрій. Крім того, додаються вдосконалені функції безпеки та захисту для ефективного за-

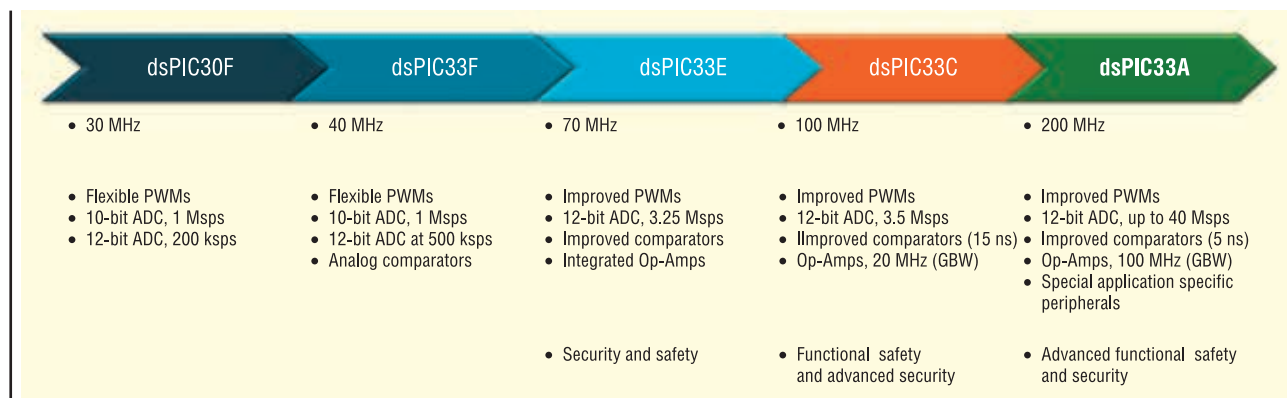


Рис. 2. Еволюція ядра dsPIC33 DSC

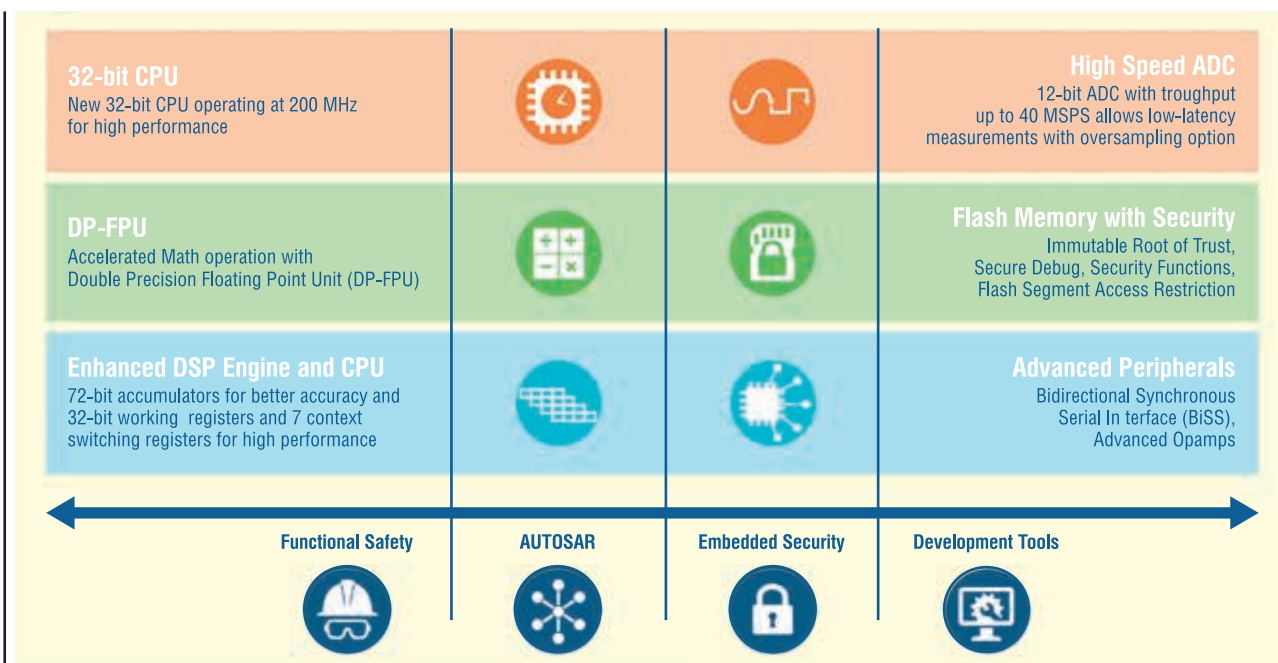


Рис. 3. Удосконалення в dsPIC33A DSC

довolenня потреб ринку та вирішення його викликів. На рисунку 2 показана еволюція dsPIC DSC, де нова серія dsPIC33A є п'ятим поколінням DSC від Microchip Technology Inc.

Серія dsPIC33A DSC є революційним досягненням у технології мікроконтролерів, пропонуючи надійну та ефективну платформу для керування пам'яттю, оптимізації продуктивності та підтримки функціональної безпеки. Завдяки уніфікованій архітектурі пам'яті, високопродуктивному 32-роздрядному процесору, блоку подвійної точності з рухомою крапкою (*Double-Precision Floating-Point Unit, DP-FPU*) та іншим передовим функціям (рис. 3), ця серія, зручна для розробників, підходить для широкого спектра застосувань, забезпечуючи точне керування в режимі реального часу та здатність вирішувати складні завдання. Високошвидкісні периферійні пристрії та розширені заходи безпеки роблять dsPIC33A привабливим вибором для тих, хто прагне впроваджувати найновіші інновації в сфері мікроконтролерів.

## 32-роздрядний центральний процесор

dsPIC33A оснащений 32-бітним процесором з частотою 200 МГц і блоком FPU подвійної точності, що підвищує продуктивність для задач цифрової енергетики, надійного конструювання та керування двигунами. Це спрощує проєктування на основі моделей та інтеграцію сторонніх інструментів, підвищуючи точність і швидкість розробки.

## Блок подвійної точності з рухомою крапкою

Цей блок відповідає стандарту IEEE 754-2019, підтримує як одинарну, так і подвійну точність за допомогою виділеного конвеєра. Це підвищує надійність програмного забезпечення, швидкість роботи контурів керування й одночасно знижує програмні помилки, пов'язані зі змінним масштабуванням. Блок включає апаратні функції синуса та косинуса для крашного керування двигуном.

## Розширеній механізм DSP і центральний процесор

Два 72-бітних акумулятора забезпечують високу роздільність здатність і точність, що значно зменшує ризик переповнення або нестачі результатів. 32-роздрядні робочі реєстри забезпечують високу продуктивність і роздільність, мінімізують потребу в масштабуванні змінних та знижують ймовірність переповнення або недоповнення. Сім реєстрів для перемикання контексту мінімізують затримки в системах, що працюють в реальному часі.

## Удосконалені високошвидкісні периферійні пристрії

dsPIC33A має 12-бітний АЦП з частотою 40 MSPS, операційні підсилювачі з добутком коефіцієнта підсилення на ширину смуги пропускання 100 МГц (GBW) і швидкі компаратори з часом відгуку 5 нс, що покращує продуктивність і зменшує затримку для варіантів застосувань в реальному часі, таких як керування дви-

гуном, цифрове перетворення енергії, інтерфейси для датчиків тощо.

Крім того, спеціалізований периферійні пристрої, як-от інтерфейс квадратурного енкодера (*Quadrature Encoder Interface, QEI*) і двонаправлений послідовний синхронний інтерфейс (*Bidirectional Serial Synchronous, BiSS*), забезпечують точне відстеження та обмін даними в реальному часі для обертових положень валів без порушення у потоці даних. Незалежні периферійні пристрої, такі як конфігуруванні логічні комірки (*Configurable Logic Cells, CLC*) та генератори периферійних тригерів (*Peripheral Trigger Generators, PTG*), підвищують ефективність процесора, виконуючи завдання автономно, щоб центральний процесор міг зосередитися на критичних операціях.

## Розширені функції безпеки та архітектура пам'яті

Безпека пристрою забезпечується незмінними правами довіри (*Root of Trust*), безпечним налагодженням і обмеженням доступу до сегмента Flash. Пам'ять з ECC (*Error Correction Code*), моніторинг продуктивності та покращений моніторинг тактової частоти підвищують рівень безпеки. Уніфікована архітектура пам'яті та два банки оперативної пам'яті оптимізують продуктивність та спрощують прямий доступ до даних.

## Спрощена екосистема розробки

Нова серія dsPIC33A спрощує розробку вбудованих систем завдяки

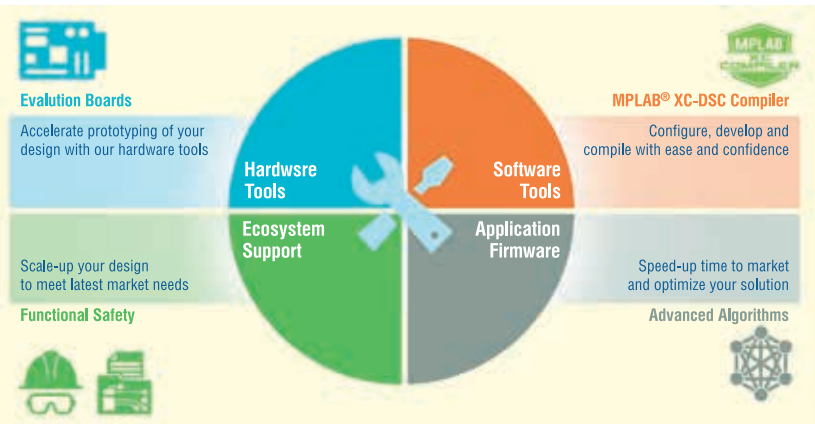


Рис. 4. Екосистема dsPIC33A

проектуванню на основі моделей і сумісній архітектурі інструкцій (Instruction Set Architecture, ISA) з існуючими DSC dsPIC33, що забезпечує плавний переход (рис. 4).

Вона підтримується компілятором MPLAB® XC-DSC та MPLAB® Code Configurator та платою розробки серії dsPIC33A Curiosity Development Board (EV74H48A) із модулями, спеціально розробленими для керування двигуном, цифрової енергетики та інших вбудованих варіантів застосувань. У майбутньому планується розширення екосистеми для покращення підтримки проектування на основі моделей, керування двигунами та алгоритмів DSP для вдосконалених датчиків, цифрової енергетики та забезпечення функціональної безпеки.

## ОБЛАСТИ ЗАСТОСУВАННЯ ТА РИНКИ

Нове сімейство DSC dsPIC33A допоможе підвищити продуктивність цілого ряду застосувань для керування в реальному часі в різних галузях промисловості (рис. 5):

- Керування двигунами.** Будь то промислова автоматика, автомобільні системи або робототехніка, dsPIC DSC забезпечують точне керування двигуном, що сприяє безперебійній та ефективній роботі.
- Силова електроніка.** У пристроях силової електроніки, таких як інвертори, перетворювачі та джерела живлення, dsPIC DSC відіграють важливу роль у досягненні точного

контролю та регулювання електричної потужності.

- Взаємодія з сенсорами.** Обробка даних з сенсорів у режимі реального часу є важливою в таких випадках використання, як контрольно-вимірювальні прилади та моніторинг. DSC dsPIC ефективно обробляють дані з різних сенсорів, забезпечуючи швидку та точну реакцію за допомогою високопродуктивного ядра та вдосконалених високошвидкісних аналогових периферійних пристрій.

## ПЕРШИЙ ПРОДУКТ У СІМЕЙСТВІ DSPI33A DSC

Перше сімейство сигналічних контролерів dsPIC33AK128MC1xx містить 128 КБ Flash-пам'яті та великий набір периферійних пристрій, який буде пропонуватися в різних корпусах, таких як SSOP, VQFN і TQFP з кількістю виводів від 28 до 64, з розмірами корпусу від 4 × 4 мм (рис. 6). Майбутні сімейства dsPIC33A з додатковою пам'яттю, периферійними пристроями та більшою кількістю контактів доповнять портфоліо.

## ВИСНОВОК

Цифровий сигналний контролер dsPIC33A від Microchip кардинально змінює правила гри для розробників

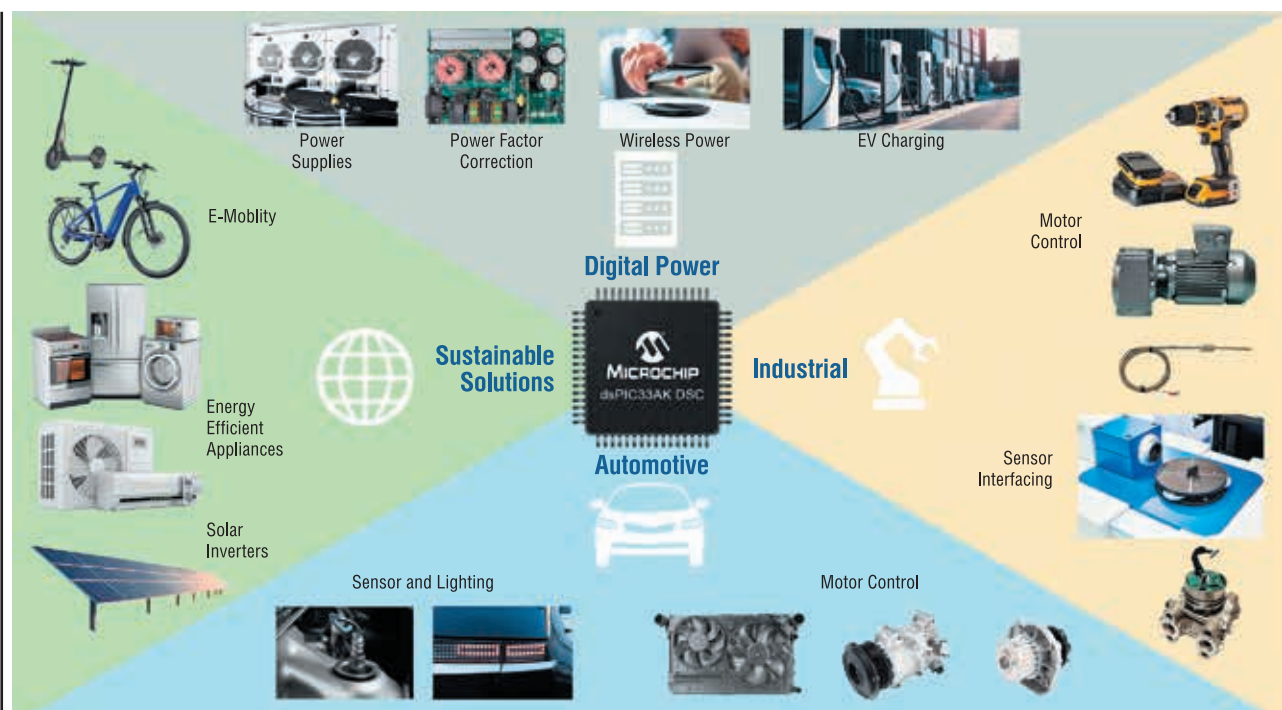


Рис. 5. Цільові застосування сімейства ЦСК dsPIC33A

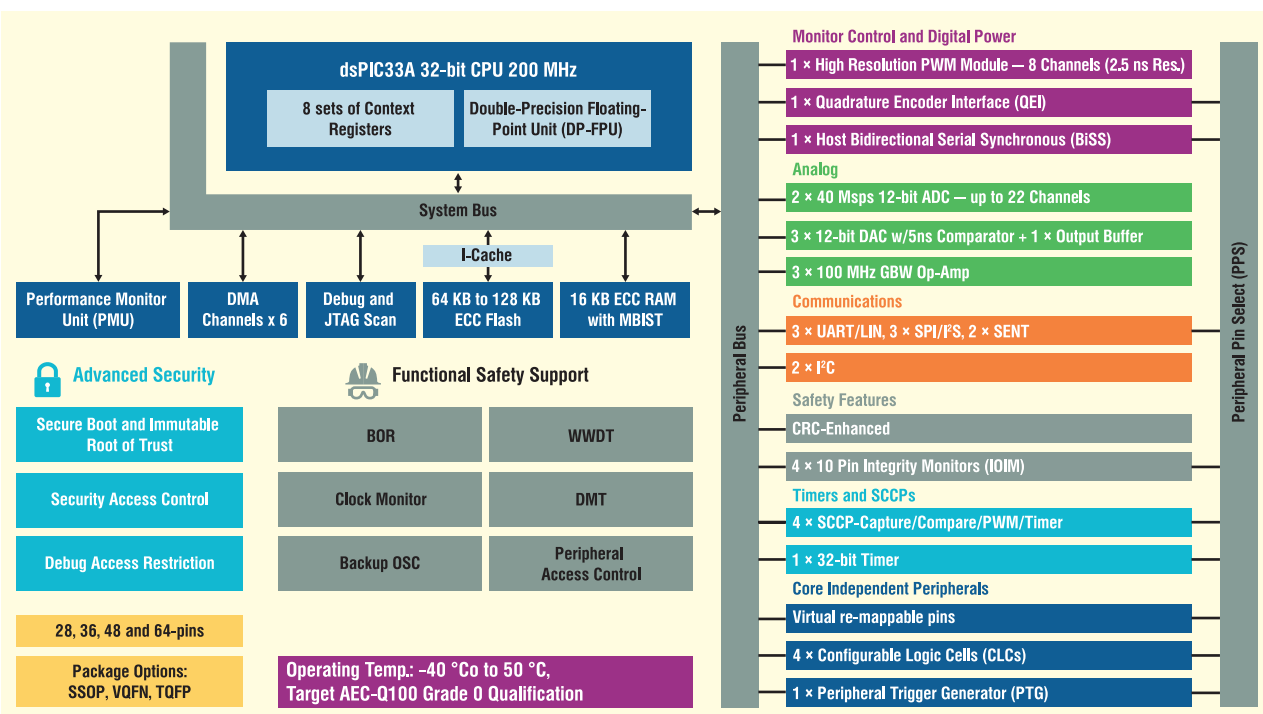


Рис. 6. Блок-схема dsPIC33A

вбудованих систем в автомобільному, промисловому та споживчому секторах. Завдяки вдосконаленому ядру, широкому набору периферейних пристрій та універсальним інструментам

розробки, dsPIC33A DSC дає можливість інженерам розробляти складні алгоритми керування, які відповідають зростаючим вимогам до продуктивності, безпеки та ефективності.

DSC — це не просто технологічний стрибок, це фундаментальний зсув у стратегіях керування в реальному часі, що обіцяє нову еру точності, надійності та інновацій.

CN

## ПРИСКОРЕННЯ ПЕРИФЕРІЙНОГО ШТУЧНОГО ІНТЕЛЕКТУ В РЕАЛЬНОМУ ЧАСІ

Щоб дозволити розробникам створювати системи обробки інформації з датчиків на основі штучного інтелекту (ШІ), компанія **Microchip Technology** випустила сенсорний міст PolarFire® FPGA Ethernet, який працює з платформою обробки датчиків NVIDIA Holoscan.

ПЛІС PolarFire забезпечують багатопротокольну підтримку, і це перше рішення, випущене як частина платформи Microchip, сумісне з датчиками на основі MIPI® CSI-2® та фізичним рівнем MIPI D-PHY™. Майбутні рішення будуть підтримувати широкий спектр датчиків з різними інтерфейсами, в тому числі SLVS-EC™ 2.0, 12G SDI, CoaXPress® 2.0 і JESD204B. Платформа дозволяє розробникам використовувати можливості екосистеми NVIDIA Holoscan, а також енергоефективну технологію PolarFire FPGA з низькою затримкою з'язку та підтримкою багатопротокольних датчиків.

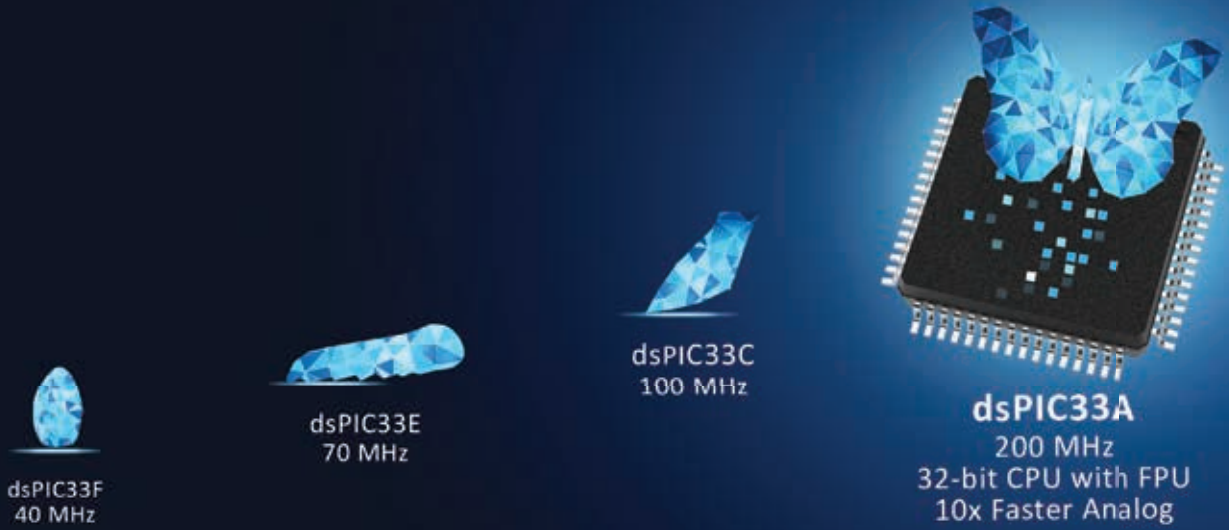
NVIDIA Holoscan допомагає спростити розробку та розгортання програм штучного інтелекту та високопродуктивних обчислень (High-Performance Computing, HPC) на периферії для отримання аналітики в реальному часі. Вона об'єднує в єдину платформу необхідні апаратні та програмні системи для потокової передачі даних з датчиків з низькою затримкою та мережевого з'єднання. Платформа містить оптимізовані бібліотеки для обробки даних, зразки моделей штучного інтелекту для швидкого запуску конвеєра штучного інтелекту, шаблонні програми для швидкого створення прототипів і основні мікросервіси для запуску потокових, візуалізаційних та інших додатків.

Завдяки здатності передавати дані датчиків у реальному часі до NVIDIA Holoscan і платформ NVIDIA IGX і NVIDIA Jetson для периферійного ШІ та робототехніки, Ethernet-датчик PolarFire FPGA Sensor Bridge відкриває нові периферійно-хмарні програми, дозволяє формувати висновки на основі ШІ/МЛ і сприяє впровадженню ШІ на медичному, промисловому та автомобільному ринках.

«Поєднуючи нашу гнучку структуру ПЛІС з передовою платформою NVIDIA для штучного інтелекту та багатопротокольною підтримкою, ми надаємо розробникам можливість створювати інноваційні рішення в реальному часі, які революціонізують інтерфейси датчиків у широкому спектрі потужних периферейних застосувань, керованих штучним інтелектом», — сказав Брюс Вейер (Bruce Weyer), віцепрезидент підрозділу ПЛІС компанії Microchip.

Використовуючи низьке енергоспоживання технології PolarFire FPGA від Microchip, сенсорний міст NVIDIA Holoscan ефективно керує високошвидкісними даними з різних датчиків через Ethernet, забезпечуючи високопродуктивну обробку ШІ в реальному часі на платформах NVIDIA AI. Енергоефективна конструкція також сприяє створенню малогабаритних продуктів, чутливих до енергоспоживання та витрат. ПЛІС PolarFire вирішують проблеми безпеки в сенсорних рішеннях, надаючи вбудовані функції безпеки та захисту від потенційних кіберзагроз і забезпечуючи фізичну цілісність, лінісність пристройів, дизайн та даних.

[www.microchip.com](http://www.microchip.com)

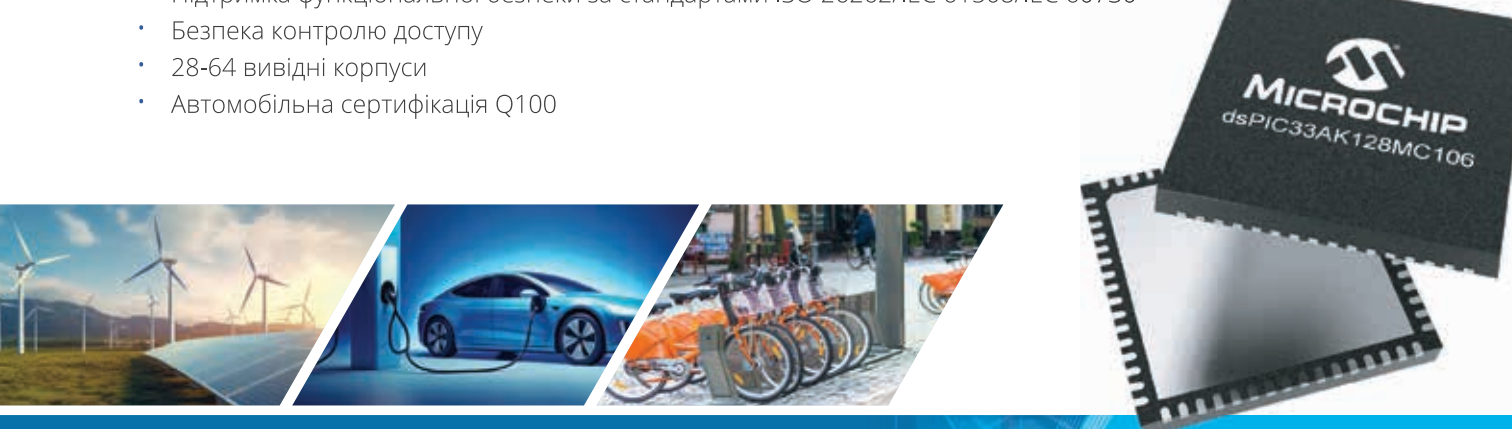


## Цифровий сигнальний контролер dsPIC® наступного покоління

### Інновації та точність керування в реальному часі

Сучасні системи керування в реальному часі вимагають покращеної оптимізації, більшої обчислювальної ефективності та ширшої функціональності. Новітній цифровий сигнальний контролер dsPIC33A DSC від Microchip допомагає вирішувати складні завдання при реалізації високопродуктивних систем. Цей вдосконалений контролер має підвищену ефективність та інтеграційні можливості, що дозволяють виконувати декілька функцій на одному пристрої. Він спрощує інтеграцію коду з інструментів моделювання з особливою увагою до безпеки та захисту. Перші dsPIC33AK «MC1» у цій серії мають такі ключові характеристики:

- Повний 32-роздрядний набір інструкцій
- Співпроцесор з рухомою крапкою (FPU) одинарної та подвійної точності
- До 128 Кбайт програмної флеш-пам'яті (ECC)
- До 16 Кбайт оперативної пам'яті (ECC та MBIST)
- Роздільна здатність ШІМ до 2,5 нс
- Два високошвидкісних 12-бітних АЦП зі швидкістю до 40 Мбіт/с (затримка перетворення 25 нс)
- Три аналогових компаратори із затримкою 5 нс
- Три операційних підсилювачі з частотою до 100 МГц
- Підтримка функціональної безпеки за стандартами ISO 26262/IEC 61508/IEC 60730
- Безпека контролю доступу
- 28-64 вивідні корпуси
- Автомобільна сертифікація Q100



[microchip.com/dsPIC33A](http://microchip.com/dsPIC33A)



Назва та логотип Microchip і логотип Microchip є зареєстрованими товарними знаками компанії Microchip Technology Incorporated в США та інших країнах. Всі інші торгові марки є власністю іх зареєстрованих власників.  
© 2024 Microchip Technology Inc. Всі права захищені.  
MEC2584A-RUS-10-24

# Вседіапазонні GNSS-приймачі покращують точність позиціювання, навігації та синхронізації. Ось як це відбувається

**Мортен Стрьом (Mårten Ström), u-blox**

**Оскільки технології GNSS/GPS продовжують розвиватися, наступним рубежем у впровадженні рішень для позиціювання, навігації та синхронізації (Positioning, Navigation, Timing, PNT) буде розширення переваг вседіапазонних GNSS для зростаючого спектру ринків і застосувань. У цій статті описано, як нове покоління потужних, компактних вседіапазонних модулів GNSS підвищує продуктивність за ключовими показниками, покращуючи точність, доступність GNSS і час конвергенції (збіжності), а також оптимізує виробництво і логістику, створюючи перспективні рішення, підвищуючи безпеку та знижуючи загальну вартість використання.**

Понад чотири десятиліття GNSS/GPS технології постійно розвиваються, підвищуючи точність і надійність, а також надаючи можливість застосовувати все складніші системи позиціювання, навігації та синхронізації (Positioning, Navigation and Timing, PNT). Протягом

останніх років ця еволюція була прискорена постійним впровадженням нових супутникових сигналів, що охоплюють все ширший частотний спектр.

Сучасні багатодіапазонні GNSS-приймачі, здатні відстежувати сигнали в усіх доступних частотних діапазонах й

значно підвищили продуктивність PNT, що дозволяє використовувати їх у складніших задачах. Однак їхня висока вартість значною мірою обмежила їхнє застосування у високовартісних секторах, зокрема в геодезії та використанні важкої техніки в будівництві й гірничодобувній промисловості.

У цій статті розглядаються переваги нового покоління компактних вседіапазонних GNSS-приймачів, призначених для задоволення потреб ключових застосувань, в тому числі безпілотних наземних транспортних засобів (*Unmanned Ground Vehicles, UGV*), безпілотних літальних апаратів (*Unmanned Aerial Vehicles, UAV*), важкої техніки і точного землеробства, автомобільних навігаційних систем, а також промислового хронометражу та синхронізації.

Після представлення супутникових сигналів, що передаються всіма основними глобальними та регіональними супутниковими системами, в статті описано, як вседіапазонні GNSS-приймачі підвищують продуктивність за ключовими комерційними показниками, окрім точності, надійності та стійкості, в тому числі оптимізацію виробництва, спрощення логістики, а також підвищення безпеки та цілісності даних.

Важливо, що здатність вседіапазонних GNSS-приймачів відстежувати всі частотні діапазони, що використовуються супутниками GNSS, гарантує, що їх можна модернізувати для доступу до нових послуг, таких як високоточна сервісна служба Galileo (*High Accuracy Service, HAS*) і японська служба доповнення сантиметрового рівня (*Centimeter Level Augmentation Service, CLAS*). Це робить вседіапазонні модулі



**Рис. 1.** Вседіапазонні GNSS-приймачі відстежують всі частотні діапазони, що використовуються супутниками GNSS

GNSS-приймачів ключовими інструментами для впровадження цих сервісів на масовому ринку (рис. 1).

Оскільки вседіапазонні GNSS-приймачі стають ідеальною платформою для перспективних застосувань, компанія u-blox продовжує сприяти впровадженню технології, розробляючи обладнання для позиціювання, доступне для високопродуктивних застосувань на масовому ринку.

## ВСЕДІАПАЗОННА GNSS: ЗАБЕЗПЕЧЕННЯ НАЙКРАЩОЇ ДОСТУПНОЇ ПРОДУКТИВНОСТІ GNSS ДЛЯ НОВИХ СФЕР ЗАСТОСУВАННЯ

З моменту їх впровадження у 1980-х роках продуктивність супутникової системи позиціювання, навігації і синхронізації (*Positioning, Navigation, and Timing, PNT*) визначалася високим ринковим попитом на покращення точності та доступності цих систем. Ця еволюція призвела до поширення супутникових сигналів, як завдяки додаванню нових супутників GNSS, так і, останнім часом, завдяки розширенню спектра супутникових сигналів у все більшій кількості частотних діапазонів. Сьогодні сигнали GPS/GNSS транслюються на багатьох частотах в L-діапазоні від 1 до 2 ГГц. Ці частоти зазвичай поділяються на діапазони L1, L2, L5 і L6/E6 (рис. 2).

Перше покоління GNSS-приймачів для цивільного використання мало доступ лише до супутникових сигналів, які транслювалися в діапазоні L1, що обмежувало їхню продуктивність з погляду точності позиціювання і надійності. Ці обмеження також знижували їхню здатність підтримувати більш сучасні програми, особливо в складних умовах.

З розвитком технології GNSS впровадження багатодіапазонних приймачів стало значним кроком вперед. Ці пристрої, здатні відстежувати декілька частотних діапазонів, значно свою підвищили продуктивність, що дозволило використовувати їх у складніших випадках.

Сьогодні еволюція технології GNSS досягла кульмінації в розробці вседіапазонних GNSS-приймачів, що розширює сферу застосування цих високопродуктивних рішень для позиціювання на нових ринках і в нових сферах використання. За цим проривом стоїть нове покоління потужних, компактних і економічних GNSS-приймачів, здатних ви-

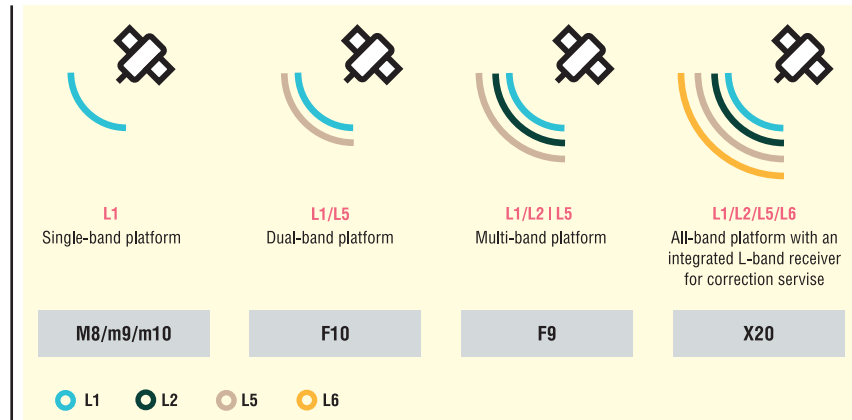


Рис. 2. Трансляція GPS/GNSS-сигналів на багатьох частотах в L-діапазоні

користовувати весь спектр GNSS-сигналів, що передаються супутниками GNSS і наземною інфраструктурою. У цій статті досліджується потенціал вседіапазонних GNSS-приймачів для забезпечення високоточного позиціювання, навігації та синхронізації для зростаючого спектру промислових, автомобільних і комерційних застосувань.

## ВИВЧЕННЯ ЦІННОСТІ БІЗНЕСУ ЗА МЕЖАМИ ДОСЯЖНОСТІ СУЧАСНИХ ТЕХНОЛОГІЙ

Технологія GNSS/GPS стала повсюдно використовуватися для позиціювання, навігації та визначення часу в промислових, автомобільних, комерційних і споживчих галузях. Забезпечуючи точність позиціювання до сантиметрів і точність синхронізації на рівні наносекунд у будь-якій точці планети, вона надає непревершенну цінність для різноманітних застосувань.

Використання повного спектра сигналів GPS/GNSS дозволить отримати ще більшу вигоду для бізнесу від високопродуктивних застосувань PNT, які наразі покладаються на багатодіапазонні GNSS-рішення. Наведені нижче приклади використання демонструють потенційні переваги вседіапазонних GNSS-рішень не тільки з погляду продуктивності, але й з погляду дизайну рішення, безпеки та вартості використання.

## Безпілотні наземні транспортні засоби (Unmanned Ground Vehicles, UGV)

*Багатодіапазонні GNSS рішення.* Безпілотні наземні транспортні засоби працюють в одних з найскладніших сигнальних середовищ, використовуючи багатодіапазонні GNSS-приймачі та послуги GNSS-корекції для досяг-

нення дециметрової точності позиціювання. Такі високоточні рішення для позиціювання зазвичай складаються з багатодіапазонного GNSS-приймача і підписки на локальний потік даних корекції, який часто передається через стільникові мережі.

*Вседіапазонні GNSS-рішення.* Вседіапазонні GNSS-приймачі обіцяють підвищену доступність, надійність і безпеку рішень для позиціювання UGV шляхом використання супутникових сигналів, що випромінюються у всіх частотних діапазонах. Здатність вседіапазонних GNSS-приймачів відстежувати всі сигнали, включно з даними глобальної GNSS-корекції, за допомогою одного пристроя ще більше підвищує гнучкість у розробці, виробництві, сертифікації та глобальному розповсюджені рішень.

### Переваги та можливості:

- максимальна доступність завдяки використанню всіх доступних сигналів GNSS;
- підвищена надійність рішення та швидша конвергенція;
- глобально доступний сервіс корекції для високоточного позиціювання;
- підвищена відмовостійкість завдяки незалежності від вразливих корекцій на основі IP;
- рішення, що застосовується в усьому світі та спрощує виробництво та логістику;
- просте, доступне рішення для позиціювання в одному пристрой.

## Безпілотні літальні апарати (Unmanned Aerial Vehicles, UAV)

*Багатодіапазонні GNSS-рішення.* Безпілотні літальні апарати зазвичай працюють в умовах відкритого неба, поєднуючи багатодіапазонні GNSS-приймачі з послугами GNSS-корекції для досягнення дециметрової точності позиціювання.

**Вседіапазонні GNSS-рішення.** Все-діапазонні GNSS-приймачі принесуть користь БПЛА завдяки розширенню діапазону частот і кращому захисту від навмисних і ненавмисних радіочастотних перешкод. Доступ до всесвітньо визнаної служби корекції, інтегрованої в модуль «все в одному», радикально спростить розробку, виробництво, сертифікацію та глобальне впровадження продукту.

#### Переваги та можливості:

- максимальна доступність завдяки використанню всіх доступних сигналів GNSS;
- підвищена надійність рішення та швидша конвергенція;
- глобально доступний сервіс корекції для високоточного позиціювання;
- підвищена відмовостійкість завдяки незалежності від вразливих корекцій на основі IP;
- глобально доступне рішення, що спрощує виробництво та логістику;
- просте, доступне рішення для позиціювання в одному пристрой.

#### Важка техніка та точне землеробство

**Багатодіапазонні GNSS-рішення.** Рішення PNT для будівельної та гірничо-добувної техніки, а також для точного землеробства покладаються на багатодіапазонні високоточні GNSS-приймачі та дані корекції GNSS на основі IP-технологій. Часто використовуються у віддалених регіонах з нерегулярним прийманням даних стільникового зв'язку, вони можуть потребувати локально згенерованих опорних даних GNSS, що передаються з найближчої базової станції через UHF, щоб досягти сантиметрової точності, необхідної для застосування.

**Вседіапазонні GNSS-рішення.** На додаток до спрощення проєктування систем позиціювання, що використовуються у важкій техніці та точному землеробстві, вседіапазонні GNSS-рішення дозволяють користувачам отримувати доступ до нових сигналів і сервісів GNSS, коли вони стають доступними. До них відносяться дані корекції GNSS, що передаються через супутник, наприклад, високоточна сервісна служба Galileo (High Accuracy Service, HAS), яка передається супутниками Galileo в діапазоні частот L6/E6.

#### Переваги та можливості:

- максимальна доступність завдяки використанню всіх доступних сигналів GNSS;
- підвищена надійність рішення та швидша конвергенція;

- легкий доступ до комерційних і нових безкоштовних сервісів корекції, в тому числі HAS;
- підвищена безпека завдяки використанню всіх доступних сигналів GNSS;
- просте, доступне рішення для позиціювання в одному пристрой.

#### Автомобільні системи позиціювання

**Багатодіапазонні GNSS-рішення.** Рішення GPS/GNSS, що використовуються в автомобільних навігаційних системах, зазвичай складаються з декількох апаратних компонентів і підписок на географічно релевантні послуги GNSS-корекції. Серед поширеніших проблем — низька доступність послуг у віддалених районах з ненадійним стільниковим покриттям, керування підпискою на коригувальні дані при віході на нові географічні ринки, високі очікування щодо безпеки та витрати, які перешкоджають масовому впровадженню на ринку.

**Вседіапазонні GNSS-рішення.** Об'єднуючи всі компоненти рішення для позиціювання в єдиний блок, вседіапазонна GNSS спрощує розробку рішення. Використання всіх доступних супутникових сигналів, включно з даними корекції супутникового мовлення, відкриває шлях до послуг GNSS корекції, що забезпечують глобальну високоточну роботу GNSS. Підвищена надійність і доступ до зашифрованих сигналів GNSS забезпечують найвищий захист від глушіння і підмін (спуфінгу).

#### Переваги та можливості:

- глобально доступний сервіс корекції для високоточних GNSS;
- підвищена надійність рішення та швидша конвергенція;
- глобально доступне рішення, що спрощує виробництво та логістику;
- чудова масштабованість супутникового мовлення для великих проектів;
- підвищена безпека завдяки використанню всіх доступних сигналів GNSS;
- просте, доступне рішення для позиціювання в одному пристрой.

#### Мережева інфраструктура та синхронізація часу

**Багатодіапазонні GNSS-рішення.** Сучасні багатодіапазонні GNSS-приймачі забезпечують синхронізацію часу з точністю до п'яти наносекунд у типових середовищах макростільникових мереж. Однак, через постійне ущільнення мереж, мережі 5G все більше

залежать від вуличних установок, що створює нові виклики для приймання GNSS-сигналів.

**Вседіапазонні GNSS-рішення.** Сучасні вседіапазонні GNSS-приймачі синхронізації вирішують проблеми стільникового зв'язку, використовуючи більшу кількість доступних сигналів і пропонуючи підвищену точність синхронізації. Це забезпечує необхідний запас продуктивності для надійної мережової синхронізації навіть у найскладніших умовах. Доповнені новітніми функціями безпеки, вони ідеально підходять для критично важливих інфраструктурних застосувань.

#### Переваги та можливості:

- глобально доступне рішення, що спрощує виробництво та логістику;
- підвищена безпека завдяки використанню всіх доступних сигналів GNSS;
- просте, доступне рішення для позиціювання в одному корпусі.

#### РОЗУМІННЯ ЧАСТОТНИХ ДІАПАЗОНІВ GNSS, ЩО ЛЕЖАТЬ В ОСНОВІ СУЧАСНИХ РІШЕНЬ PNT

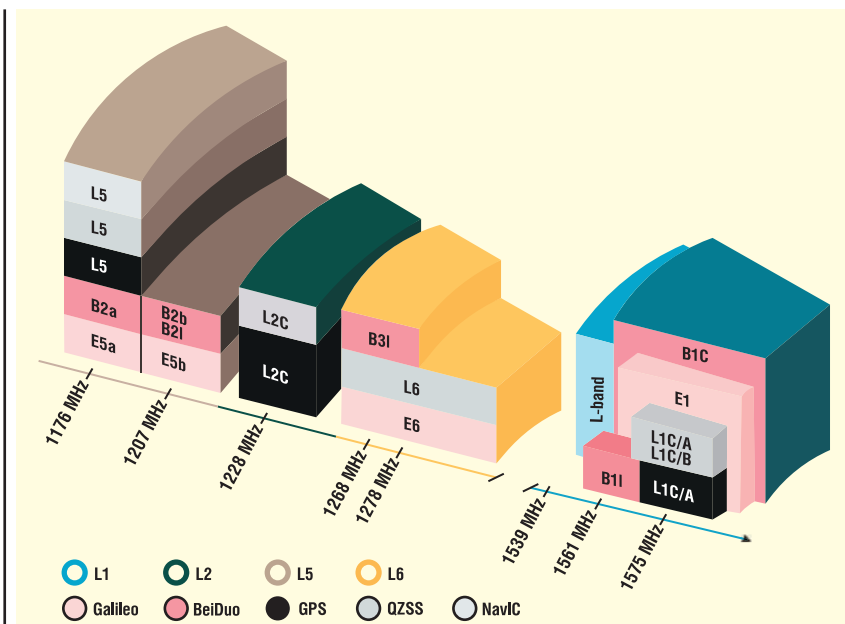
Розглянемо детальніше частотні діапазони GNSS, що лежать в основі сучасних рішень PNT (рис. 3).

#### Діапазон L1: 1559–1610 МГц

Діапазон GNSS L1, який найчастіше згадується як такий, що зосереджений навколо частоти 1575.42 МГц, охоплює сигнали від усіх глобальних супутниківих систем GNSS в діапазоні від 1559 до 1591 МГц (включно з ГЛОНАСС до 1610 МГц) (табл. 1). З моменту створення GPS сигнал GPS L1 C/A був основним сигналом для цивільних навігаційних і синхронізаційних застосувань GNSS.

Сьогодні всі основні глобальні GNSS-системи — GPS, Galileo, BeiDou і ГЛОНАСС — транслюють навігаційні сигнали в діапазоні L1, який також використовується супутниковою системою доповнення (SBAS) і регіональними системами для підвищення точності та цілісності.

Діапазон L1 продовжує розвиватися, оськільки GNSS-системи впроваджують нові модернізовані сигнали, такі як сигнал GPS L1C. Сигнал L1C, який разом транслюється шістьма супутниками, є значним стрібком у розробці сигналу, і очікується, що до кінця десятиліття він буде повноцінно використовуватися щонайменше 24 супутниками.



**Рис. 3. Частотні діапазони GNSS, що лежать в основі сучасних рішень PNT**

#### Діапазон L2: 1215–1252 МГц

Діапазон L2 з центром на частоті 1227.60 МГц відомий насамперед завдяки використанню його системою GPS, але в ньому також приймаються сигнали інших GNSS-систем, зокрема ГЛОНАСС і QZSS (табл. 2). Сигнали GPS L2 відіграють важливу роль у підвищенні точності GNSS-служб завдяки двочасотній роботі, яка забезпечує точнішу

корекцію іоносферних помилок і покращує проникнення сигналу крізь хмари, дерево та міську забудову.

З моменту свого створення GPS-система передавала в цьому діапазоні код L2 P(Y) для використання у військових цілях. Сучасні цивільні приймачі використовують цей військовий сигнал, використовуючи метод відстеження без коду. У своїй програмі модернізації Кос-

мічні сили США запровадили сигнал L2C як другий цивільний сигнал GPS для задоволення комерційних потреб, що зробило безкодове відстеження військового сигналу застарілим.

ГЛОНАСС передає сигнали в діапазоні L2 на дещо вищих частотах, що зумовлює потребу в розширеному частотному діапазоні. Система QZSS, яка покращує роботу GNSS над Японією і регіоном Азії та Океанії, також передає свій сигнал L2C в діапазоні L2.

Разом ці системи роблять діапазон L2 критично важливим компонентом для передових GNSS-застосувань. Модернізація GPS з поступовим розгортанням сигналу L2C обіцяє розширені можливості та надійність у найближчі роки.

#### Діапазон L5: 1164–1210 МГц

Діапазон GNSS L5 з центром на частоті 1176.45 МГц є одним з найсучасніших і найнадійніших частотних діапазонів, що використовуються сьогодні (табл. 3). Цей діапазон і його сигнали були швидко прийняті користувачами GNSS, в тому числі в побутовій електроніці й малопотужних GNSS-приймачах, які потребують помірного підвищення точності та доступності.

Діапазон L5 спеціально призначений для застосування у сферах безпеки життєдіяльності, таких як авіація, де ви-

**Таблиця 1. Короткий опис сигналів цивільних GNSS та їхніх послуг, що транслюються в діапазоні L1**

Frequency Band	GPS	GLONASS	Galileo	BeiDou	QZSS	NavIC
L1/E1	L1C/A: Standard Positioning Service (SPS)  L1C: PNT Service, in development	L1OF: Standard Precision Signal	E1: Open Service (OS), Public Regulated Service (PRS), Search and Rescue (SAR), Open Service Navigation Message Authentication (OSNMA)	B1C and B1I: Basic Navigation Services	L1C/A, L1C/B, L1C: PNT Service, Signal Authentication Service  L1S: Sub-meter Level Augmentation Service (SLAS), DC Report  L1Sb: SBAS Transmission Service	L1: Standard Positioning Service, in development

**Таблиця 2. Короткий опис сигналів GNSS та їхніх послуг, що транслюються в діапазоні L2**

Frequency Band	GPS	GLONASS	Galileo	BeiDou	QZSS
L2	L2C: Enhanced civilian service, P(Y) code: Precise Positioning Service	L2OF: Standard Precision Signal	–	–	L2OF: Standard Precision Signal

**Таблиця 3. Короткий опис сигналів GNSS та їхніх послуг, що транслюються в діапазоні L5**

Frequency Band	GPS	GLONASS	Galileo	BeiDou	QZSS	NavIC
L5/E5	L5: Open PNT service (preoperational status)	–	E5a: Open Service (OS)  E5b: Open Service (OS), Commercial Service (CS)	B2a and B2I: Basic Navigation Services  B2b: Basic Navigation Services, Short Message Service (SMS), International Search and Rescue Services, and PPP services	L5: PNT Service, Signal Authentication Service  L5S: Positioning Technology Verification Service	L5: Standard Positioning Service (SPS)

сока точність і надійність мають першорядне значення. Цей діапазон охоплює сигнали різних GNSS-систем, зокрема GPS, Galileo, BeiDou, а також регіональних систем QZSS і NAVIC.

Сигнал GPS L5, запроваджений в рамках модернізації GPS, призначений для забезпечення вищої точності та цілісності сигналу, особливо в складних умовах. Він працює разом із сигналами Galileo E5a та E5b, а також сигналами BeiDou B2a і B2b, які посилюють інфраструктуру GNSS в цьому діапазоні частот. Крім того, QZSS і NAVIC, які підтримують роботу GNSS у відповідних регіонах Азії та Океанії, також передають свої сигнали L5 у цьому діапазоні.

Впровадження діапазону L5 знаменує собою значний крок вперед у розвитку GNSS-технологій, пропонуючи розширені можливості для критично важливих застосувань, які вимагають найвищих рівнів точності та надійності. Розгортання сигналів L5 в різних системах GNSS триває з метою досягнення повного глобального покриття в найближчі роки.

#### **Діапазон L6/E6: 1260–1300 МГц**

Останнім доданим діапазоном частот є діапазон L6 з центром на частоті 1278.75 МГц (табл. 4). Діапазон L6, який дедалі більше визнають за його роль у передових застосуваннях GNSS, особливо тих, що вимагають високої точності та спеціалізованих послуг, охоплює сигнали від декількох GNSS систем, в тому числі Galileo, BeiDou та QZSS.

Розташований в цьому діапазоні, сигнал Galileo E6 використовується для забезпечення високоточних послуг системи (high-accuracy services, HAS) і нових зашифрованих послуг. Сигнал B3I від BeiDou посилює ширшу екосистему GNSS, забезпечуючи додатковий рівень точності та надійності.

В Азійсько-Океанійському регіоні сигнал L6E діапазону L6 дозволяє надавати послуги доповнення, в тому числі послугу сантиметрової точності (CLAS), регіональну послугу PPP-RTK над ма-

териковою частиною Японії, і розширену демонстрацію мульти-GNSS для початкового вирівнювання координат (*Multi-GNSS ADvanced Orbit and Clock Augmentation, MADOCA*), регіональну послугу точного позиціювання (*Precise Point Positioning, PPP*), яка наразі охоплює Азійсько-Тихоокеанський регіон, але може бути розширенна до глобальної послуги PPP.

Діапазон L6 швидко перетворився на важливий діапазон для високотехнологічних GNSS-пристроїв, які потребують розширені можливості, таких як підвищена точність і цілісність. Оскільки ці системи продовжують розвиватися, діапазон L6 буде відігравати все більшу роль у передових навігаційних застосуваннях, зокрема, у визначенні часу і високоточних параметрів, з очікуванням застосуванням в автомобільній галузі.

#### **L-діапазон: 1520–1559 МГц**

L-діапазон забезпечує безперебійний зв'язок по всьому світу і використовується для передачі високоточних сервісів на GNSS-приймачі в системах промислової автоматизації, точного землеробства і морських застосуваннях. Він підтримує критичні застосування, орієнтовані на безпеку, за допомогою спеціалізованих послуг доповнення, таких як диференціальні поправки та інформація про цілісність. Таким чином, L-діапазон є фундаментальним спектром для майбутніх інновацій GNSS, забезпечуючи масштабованість і більшу точність для передових технологій, таких як автономне водіння.

#### **ВСЕДІАПАЗОННА GNSS ПІДВІЩУЄ ПРОДУКТИВНІСТЬ ЗА КЛЮЧОВИМИ КОМЕРЦІЙНИМИ ПОКАЗНИКАМИ**

Завдяки поєднанню технологічних розробок супутниківі приймачі позиціювання, здатні одночасно відстежувати всі доступні GNSS-сигнали, готові принести свої переваги для масового застосування. Використовуючи дані з усіх

частот, що транслюються орбітальними супутниками, ці компактні, легко інтегровані вседіапазонні GNSS-модулі відповідають точності, яку забезпечують сучасні рішення преміум-класу для позиціювання та синхронізації. Водночас вони підвищують продуктивність за ключовими комерційними показниками, оптимізуючи виробництво, спрощуючи логістику, суттєво зменшуючи загальну вартість використання та додаючи відчутну цінність у процесі експлуатації.

#### **Оптимізоване виробництво**

Оскільки всі функції позиціювання можна розмістити в одному пристрої з вбудованим приймачем L-діапазону, така установка спрощує доступ до високопродуктивного позиціювання, використовуючи послуги GNSS-корекції, що транслюються через супутник або наземну мережеву інфраструктуру.

#### **Спрощена логістика**

Один пристрій забезпечує глобальне розгортання, надаючи послуги на географічно фрагментованих ринках, чи то через покриття супутникових систем, чи то через підписку на послуги GNSS-корекції.

#### **Підвищена доступність**

Хоча точність і надійність залишаються порівняними з тими, що досягаються багатодіапазонними приймачами, вседіапазонні GNSS-приймачі підвищують доступність сервісу PNT. Відстеження більшої кількості діапазонів означає більшу кількість відстежуваних сигналів, що забезпечує найвищу точність навіть у складних сигнальних умовах. Додаткове резервування підвищує захист від перебоїв з сигналом і простоїв.

#### **Доступ до нових послуг**

Оскільки екосистема GNSS продовжує розвиватися і з'являються нові сигнали і послуги, можливість відстежувати сигнали у всіх відповідних частотних діапазонах забезпечує надійність пристріїв, гарантуючи, що вони можуть бути модернізовані для використання

**Таблиця 4. Короткий опис сигналів GNSS та їхніх послуг, що транслюються в діапазоні L6/E6**

Frequency Band	GPS	GLONASS	Galileo	BeiDou	QZSS
L6/E6	–	–	E6: Galileo High Accuracy Service (HAS)	B3I: Basic Navigation Services	L6D: Centimeter Level Augmentation Service (CLAS)  L6 and L6E: MultiGNSS Advanced Orbit and Clock Augmentation — Precise Point Positioning (MADOCAPP)  L6E: Signal Authentication Service

новітніх послуг, таких як високоточна сервісна служба (*High Accuracy Service, HAS*) від Galileo i CLAS в Японії, шляхом оновлення прошивки.

## Розширення географічного покриття високоточного позиціювання (high precision positioning, HPG)

Використання всіх доступних супутниковых сигналів дозволяє усунути місцеві атмосферні поправки без втрати точності. Це відкриває шляхи до високоточного позиціювання з глобальним покриттям і розширяє географічне охоплення ринку та доступність послуг, особливо в регіонах, які раніше не обслуговувалися існуючими технологіями.

## Підвищена безпека та цілісність

Відстеження сигналів від усіх супутниковых систем GNSS у всіх діапазонах забезпечує надлишковість, яку можна використати для підвищення безпеки та цілісності послуги PNT. У поєднанні з сучасними сервісами, орієтованими на безпеку, таким як Galileo OSNMA, вседіапазонні приймачі добре обладнані для захисту користувачів від різних загроз глушіння і спуфінгу.

## ЯК РІШЕННЯ НОВОГО ПОКОЛІННЯ ЕКОНОМІЧНО ЕФЕКТИВНО ВИКОРИСТОВУЮТЬ ВЕСЬ ПОТЕНЦІАЛ СИГНАЛІВ GNSS

Як зазначалося на початку статті, переваги продуктивності вседіапазонних GNSS-приймачів до цього часу були доступні лише для дорогих комерційних застосувань, здатних поглинути їхню високу вартість використання. Сьогодні зростаючі очікування щодо продуктивності низько- і середньовитратних застосувань збігаються зі зростаючим фінансовим тиском на високовартісні застосування, що приводить до зростання ринкового попиту на більш економічно ефективні вседіапазонні GNSS-рішення.

Вперше на горизонті з'явилося нове покоління потужних, компактних вседіапазонних GNSS-приймачів за ціною, яка робить їх доступними для всіх високопродуктивних GNSS-застосувань. Ключовими факторами, що сприяють цьому, є постійна мініатюризація кремнієвих приймачів та інтеграція приймача L-діапазону в GNSS-модуль.

Водночас виробники GNSS-антен випускають продукцію, налаштовану на прийом усіх відповідних частотних

діапазонів GNSS, в тому числі для передавання даних GNSS-корекції через супутникові та наземні мережі стільникового зв'язку.

## ПІДВІЩІТЬ ПРОДУКТИВНІСТЬ ВАШОЇ PNT З U-BLOX

Понад 25 років компанія u-blox сприяє впровадженню GNSS-технологій, просуваючи інновації, що поєднують провідні ринкові характеристики з новітніми функціональними можливостями, і все це за конкурентоспроможною ціною.

У 2018 році компанія u-blox встановила стандарт високоточного позиціювання для масового ринку, ставши провідним постачальником технології з багатодіапазонною GNSS-платформою u-blox F9, включно з антенними рішеннями ANN-MB та ANN-MB1.

Сьогодні u-blox знову перевершує очікування завдяки своїй вседіапазонній платформі високоточного позиціювання u-blox X20 та вседіапазонній антені ANNMB2, розробленій для прискорення комерціалізації високопродуктивних рішень для позиціювання.

Поєднуючи в одному пристрії приймання сигналів GNSS у діапазонах L1, L5, L6/E6 та L, а також провідні світові технології RTK, PPPRTK та PPP з глобальною сантиметровою точністю, компанія u-blox забезпечує доступну та просту в інтеграції систему позиціювання, навігації та хронометражу для всіх користувачів у всьому світі.

Крім того, використання всіх доступних сигналів GNSS, зокрема нових сервісів автентифікації повідомлень, таких як Galileo OSNMA, покращує здатність виявляти та протидіяти глушінню і спуфінгу, підвищуючи безпеку критично важливих застосувань. Повний спектр сигналів, що транслюються супутниками GNSS, може задовільнити найвиагливіші очікування клієнтів щодо точності, стабільності, надійності тощо.

**Щоб дізнатися більше про вседіапазонну GNSS-платформу u-blox X20 та отримати додаткову інформацію щодо продукції компанії u-blox, що була представлена в цій статті, звертайтесь до її офіційного дистрибутора в Україні — компанії Мікродіс Електронікс ГмбХ:**

**тел.: (067) 475-81-86,  
Roman.Prokopets@microdis.net,  
www.microdis.net**

## МОДУЛЬ LTE CAT 1BIS З ВБУДОВАНОЮ SIM-КАРТКОЮ

Компанія **u-blox** випустила SARA-R10001DE, модуль LTE Cat 1bis із вбудованою SIM-картою, що підтримує технологію multi-IMSI та eUICC. Підключення Wireless Logic призначено для підвищення продуктивності, надійності та відмовостійкості застосувань IoT. Вбудована eSIM забезпечує гнучке керування підключенням і дає клієнтам можливість перемкнутися на найкращу мережу з урахуванням покриття та вартості, а також працює на регульованих або обмежених ринках у відомих регіонах, де це можливо. Завдяки швидкому розгортанню і надійному підключення незалежно від географії, SARA-R10001DE пропонує безліч переваг в таких сферах застосування, як відстеження об'єктів, телематика, мікромобільність, сонячні технології, «розумні» будинки і міста, а також точки продажів.

Новий u-blox SARA-R10001DE забезпечує повну підтримку діапазону LTE Cat 1bis і підтримує eSIM з технологією multi-IMSI та функцією eUICC. eSIM вже забезпечена серією профілів SIM-карт Wireless Logic, які призначенні для глобального розгортання за допомогою однієї SIM-карти, яка буде безперебійно працювати після розгортання, але також може бути віддалено налаштована через OTA за допомогою функції Remote SIM Provisioning.

Кілька профілів SIM-карт, що зберігаються на eSIM-картці Wireless Logic, дозволяють модулю автоматично підключатися до найкращої мережі, а також отримувати доступ до інших мереж для додаткової надійності в будь-якій країні. Це дає впевненість у тому, що модуль завжди буде підключатися до найкращої мережі та що eSIM буде підтримувати надійне з'єднання, автоматично перемикаючись на іншого оператора в разі виникнення будь-яких проблем.

Сопеха eSIM спрощує логістику клієнтів, оскільки зводить до мінімуму час і зусилля, пов'язані з керуванням закупівлею SIM-карт, і усуває необхідність у пошуку супутніх компонентів, таких як тримачі для SIM-карт.

Розроблений для забезпечення глобального покриття LTE, SARA-R10001DE забезпечує простий шлях міграції для застарілих пристрій 2G і 3G до глобального покриття 4G LTE.

[www.u-blox.com](http://www.u-blox.com)

# Розширення можливостей автономного транспорту та контролери штучного інтелекту

**Автономні транспортні засоби стають дедалі поширенішими, тому зростає потреба в контролерах, здатних обробляти величезні обсяги даних у режимі реального часу.**

відсік для зберігання даних із фронтальним доступом.

## ЗАВДАННЯ ТА ВИМОГИ

У міру поширення автономних транспортних засобів зростає потреба в контролерах, здатних обробляти величезні дані з датчиків, камер і систем LiDAR у режимі реального часу. Ці контролери мають ефективно використовувати алгоритми штучного інтелекту, щоб забезпечити точність ухвалення рішень, навігацію і безпеку, а також безперебійний зв'язок між компонентами автомобіля. Також важлива міцна і надійна конструкція для тривалої та безперебійної роботи.

Прагнення ринку до розумніших, безпечніших і ефективніших транспортних рішень підкреслює вирішальну роль контролерів автономного водіння в роз-

витку технологій і задоволенні вимог сучасної мобільності.

Загалом, до основних вимог до контролерів автономного водіння відносяться:

- висока обчислювальна потужність для розгортання алгоритмів штучного інтелекту для самокерованих автомобілів;
  - універсальні можливості підключення для підтримки датчиків і систем керування;
  - міцна, надійна конструкція для тривалої експлуатації.
- Реалізація проекту:
- *MIC-770 V3 W-00A1*, компактна безвентиляторна система з процесорним гніздом Intel® Core™ (LGA 1700);
  - *MIC-75G20-10B1*, і-модуль GPU, 1 PCIe x16 + 1 PCIe x4, подвійний

## ОПИС СИСТЕМИ

У наведеному вище випадку система автономного транспортного засобу працює на основі поєднання передовоого обладнання та технологій штучного інтелекту, обробляючи та аналізуючи дані в режимі реального часу, забезпечуючи плавну та безпечною навігацію. Ядром системи є *MIC-770 V3*, безвентиляторна гранична система штучного інтелекту, що виступає як основний блок керування. У парі з і-модулем *MIC-75G20* вона підтримує інтеграцію додаткових компонентів, таких як карта NVIDIA RTX A4000 PCIe GPU і 4-портовий PCI Express GigE Vision Frame Grabber PCIE-1674 (рис. 1).

Графічний процесор NVIDIA RTX A4000 відіграє важливу роль у підвищенні продуктивності системи, прискорюючи обчислення ШІ та забезпечуючи складний аналіз даних, необхідний для автономного керування, включно з ухваленням рішень у реальному часі та алгоритмами на основі ШІ для таких завдань, як виявлення об'єктів, стеження за смугою руху та навігація. Фрейм-граббер PCIE-1674 під'єднується до промислових камер і датчиків LiDAR, отримуючи зображення високої роздільноти та просторові 3D-дані. Ці дані обробляються графічним процесором, що дає змогу автомобілю «бачити» і розуміти навколоишнє оточення, відстежувати перешкоди, складати mapу довкілля та ухвалювати навігаційні рішення. Поєднання цих компонентів гарантує, що система автономного транспортного засобу зможе обробляти величезні обсяги даних, необхідні для безпечної, ефективного та інтелектуального автономного водіння.

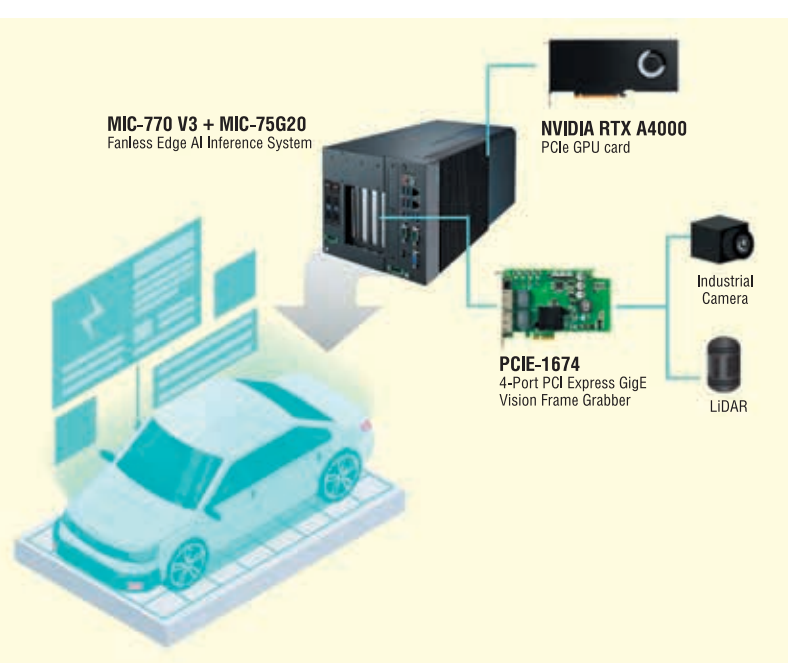


Рис. 1. Схема системи автономного транспортного засобу

Матеріал надано ПРОКСИС™  
[www.proxis.ua](http://www.proxis.ua)

# GameChangers

## для підключення пристрів



### Більше свободи для пристрів

Модульні корпуси електронного обладнання серії ВС призначені для систем у сфері автоматизації будівель. Корпуси електронного обладнання вирізняються сучасним дизайном, технологією з'єднання друкованих плат і шинними з'єднувачами для DIN-рейки.

Детальніше за посиланням: [https://phoe.co/housings\\_BC\\_UA](https://phoe.co/housings_BC_UA)

Phoenix Contact в Україні:  
ТОВ „Фенікс Контакт“

# Пластикова шафа AX від RITTAL – екстрім у квадраті

**Чи може виріб бути надзвичайно міцним і водночас надзвичайно універсальним?**

**Завдяки своїй пластиковій шафі AX компанія Rittal демонструє, що це дійсно можливо. Ця шафа поєднує в собі найкраще з обох світів – всі переваги надзвичайно міцного матеріалу та повну свободу дизайну.**

Справжній характер кожної людини частіше всього проявляється в скрутній ситуації. І як не дивно, але шафи – не виняток. Якщо вони здатні з легкістю справлятися з екстремальними ситуаціями, повсякденна робота стає дитячою забавкою. Візьмемо для прикладу застосування шаф в тунелях (рис. 1), де в їхніх корпусах, що закріплені на стіні тунелю, можуть розміщуватися системи аварійного освітлення та джерела живлення для аварійних бригад.. Це доводить, наскільки стійкими вони є насправді, адже високошвидкісний потяг створює величезну хвилю тиску при проходженні через тунель – ефект ще більше посилюється, якщо два потяги проїжджають тунелем один за одним. Шафи повинні витримувати екстремальні коливання тиску, а також високі швидкості вітру.

## ПРОТЕСТОВАНІ В ТУНЕЛЯХ

Успішні випробування в Німецькому аерокосмічному центрі (DLR) підтвердили, що пластикові корпуси AX від Rittal відповідають саме цим вимогам. Три типорозміри нещодавно розроблених шаф були випробувані відповідно до директиви Deutsche Bahn (Ril 853.2001 A01). У аеродинамічній трубі та барокамері DLR вони продемонстрували свою надзвичайну стійкість і придатність як для тунельного застосування, так і для залізничних проектів.

## ПІД ВПЛИВОМ ЛЬОДУ, ДОЩУ ТА СОНЦЯ

Але ці новинки можуть запропонувати ще більше. Вони однаково добре

виглядають на відкритому повітрі, наприклад, у водопровідно-каналізаційному господарстві, де вони постійно піддаються впливу льоду, дощу та сонця. Rittal, як і раніше, використовує для своїх пластикових корпусів армований скловолокном поліестер, але завдяки модифікації складу цього матеріалу він став у сім разів стійкішим до ультрафіолетового випромінювання. Крім того, шафи відповідають стандарту UL F1 для використання на відкритому повітрі (UL 746C). Ще однією перевагою є їхня здатність захищати від пилу та води. Для отримання ступеня захисту IP 66 (IP 56, якщо вбудоване оглядове вікно) компанія Rittal оснастила двері своїх шаф герметичним ущільнювачем по всьому периметру. Для захисту від пилу та води на верхньому та нижньому краях дверей розташовані захисні козирки від дощу.

Пластикові корпуси також мають відмінний протипожежний захист. Матеріал відповідає класу V-0 стандарту UL 94, який передбачає, що пластик повинен припиняти горіння протягом десяти секунд і не утворювати палаючих крапель. З точки зору електричної ізоляції, шафи відповідають вимогам DIN EN 61140 класу захисту II.

## ЗРУЧНІСТЬ ТА УНІВЕРСАЛЬНІСТЬ

Коли мова йде про внутрішнє оснащення пластикових шаф, можливості досі часто були дуже обмеженими, але так не повинно бути. Вперше компанія Rittal відтворила системну концепцію своїх шаф зі сталі в пластикових корпусах. Це означає, що всередині є численні інтегровані монтажні отвори, які дозволяють легко прикріпувати аксесуари, такі як опорні рейки та дверні вимикачі. Універсальні кріплення створюють схему з кроком 25 мм, вже знайому за великими шафами компанії. Перевага полягає в тому, що аксесуари для великої шафи VX25 і компактної шафи AX також підходять до пластикової шафи AX – від світильників і перфорованих секцій до систем замків – для швидкого монтажу комплектуючих і повної свободи дизайну під час об-



Рис. 1. Застосування пластикових шаф AX в тунелях



**Рис. 2.** Аксесуари для великої шафи VX25 також підходять до компактної пластикової шафи AX

лаштування інтер'єру (рис. 2). Дверцята забезпечують додаткову монтажну поверхню у вигляді підсилювальної рами, на яку можна дуже легко встановити шини, перфоровані профілі, дверні стійки або кишеню для схеми електропроводки. Кріпильні втулки усувають необхідність механічної обробки, не занижуючи при цьому ступінь захисту шафи. Кріплення шафи на стіні або стовпі також є простим, оскільки задня панель оснащена пресованим різьблінням для кріплення тримачів за допомогою гвинтових кріплень.

#### Швидко та зручно

Монтажна панель шафи входить до комплекту поставки окремо, а це означає, що обробку та монтаж компонен-

тів можна розпочинати одразу. Процес встановлення конфігурованої монтажної панелі також дуже простий — вона просто надягається на різьбові болти та міцно фіксується гвинтами. Пластикова шафа має симетричну конструкцію, тому її легко повернути, якщо це необхідно. Крім того, дверна петля є взаємозамінною, і її можна переставити на інший бік, навіть безпосередньо на місці монтажу (рис. 3).

**Дізнатись більше про продукти Rittal ви можете на сайті компанії або звернувшись до нас в офіс:**

**ТОВ «Ріттал»,  
08132, м. Вишневе,  
Київська обл., вул. Київська, 6В,  
тел. (044) 536-99-44,  
e-mail: office@rittal.com.ua  
www.rittal.com.ua**



#### RiLineX

Це нещодавно розроблена відкрита платформа для систем розподілу електроенергії від Rittal.

Нова система шин спрощує раніше трудомісткий процес збирання шаф, забезпечуючи економію часу до 30 % на проектування та 50 % на збирання.



**Рис. 3.** Швидка та зручна збірка навіть безпосередньо на місці монтажу



# Чек-лист для розробників друкованих плат

## Як досягти цілісності високошвидкісних сигналів

Девід Марракчі (David Marrakchi), Altium

**Цілісність сигналу** — це якість і надійність електрических сигналів під час їхнього проходження через друковану плату (ДП). При розробці високошвидкісних друкованих плат підтримка цілісності сигналу є критично важливою, оскільки навіть незначні спотворення сигналу можуть привести до пошкодження даних, помилок зв'язку та загального збою системи. Такі фактори, як невідповідність імпедансів, перехресні завади, відбиття сигналу та коливання живлення, можуть значно вплинути на цілісність сигналу, що потребує ретельного проєктування та аналізу.

### РОЗУМІННЯ ІМПЕДАНСУ В ДП

Імпеданс у контексті дизайну друкованих плат — це опір, з яким стикається змінний струм під час проходження через електричне коло. Цей імпеданс формується різними факторами, зокрема шириною і товщиною доріжок, типом діелектричного матеріалу, що використовується між цими доріжками, і загальною конфігурацією шарів друкованої плати. Для високошвидкісних друкованих плат підтримка рівно-

мірного імпедансу є критично важливою, щоб уникнути відбиття сигналу і гарантувати надійне передавання даних.

Для забезпечення постійності імпедансу в дизайні високошвидкісних ДП застосовують кілька стратегічних методик:

- **Керовані імпедансні доріжки.** Інженери проєктують геометрію доріжок, зокрема, їхню ширину та відстань між ними, для досягнення цільових значень імпедансу. Для моделювання та перевірки цих рівнів імпедан-

су до початку виробництва використовуються передові інструменти симулляції (рис. 1). Наприклад, вимога до проєктування може полягати у встановленні імпедансу 50 Ом для певних сигнальних доріжок. За допомогою симуляцій розміри доріжок тонко налаштовуються для того, щоб вони відповідали цій специфікації.

- **Диференціальні пари.** Для надійного передавання високошвидкісних сигналів їх часто маршрутизують як диференціальні пари, які передбачають одночасне передавання двох сигналів, що доповнюють один одного. Ця конфігурація не тільки стабілізує імпеданс, а й допомагає знизити рівень шуму. Найчастіше це застосовують в технології USB 3.0, де диференціальні пари покращують цілісність сигналу і зменшують електромагнітні завади.
- **Вибір матеріалу.** Вибір матеріалу підкладки може значно вплинути на стабільність імпедансу. Вибір матеріалів з постійними діелектричними

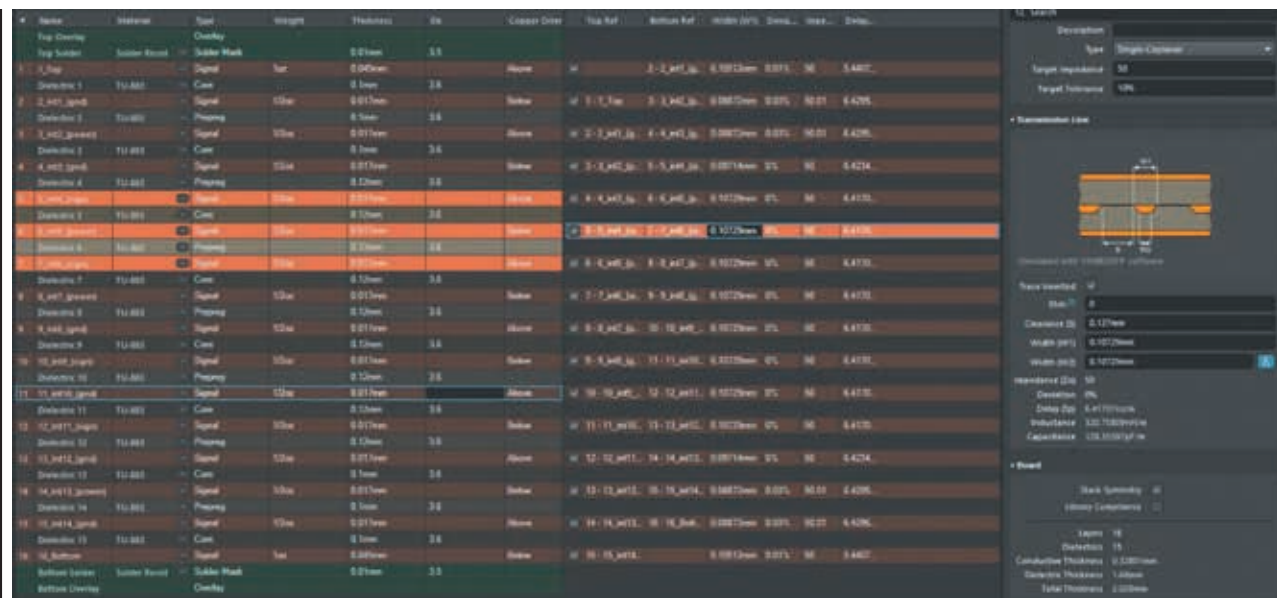


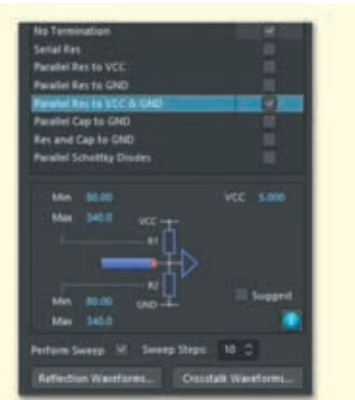
Рис. 1. Редактор компонування друкованих плат в Altium Designer з інтегрованим обчислювачем електромагнітного поля

властивостями гарантує, що імпеданс не змінюватиметься по всій друкованій платі. Наприклад, стандартний матеріал FR4, відомий своєю стабільною діелектричною проникністю, часто обирають для підтримання однорідності імпедансу на всій платі (для не надто довгих доріжок).

## ВІДБИТТЯ І ТЕРМІНУВАННЯ СИГНАЛУ

**В**ідбиття сигналу відбувається, коли сигнал зустрічає на своєму шляху невідповідність імпедансу, наслідок чого частина сигналу відбивається назад до джерела. Це відбиття може спотворити сигнал, викликати помилки даних і знищити загальну цілісність сигналу. Найпоширенішими причинами невідповідності імпедансу є різкі зміни ширини доріжки, переходних отворів і роз'ємів. Для узгодження імпедансу лінії передачі з навантаженням використовуються методи термінування (рис. 2), що мінімізують відбиття:

- **Послідовне термінування.** Воно передбачає розміщення резистора послідовно з сигналом поруч із джерелом. Це простий і ефективний метод для коротких доріжок. Наприклад, послідовний резистор на 33 Ом можна використовувати в інтерфейсі високошвидкісної пам'яті



**Рис. 2.** Інструмент Signal Integrity в Altium Designer дає змогу розробникам вказувати відповідне термінування доріжок

для узгодження імпедансу доріжки та запобігання відбиттям.

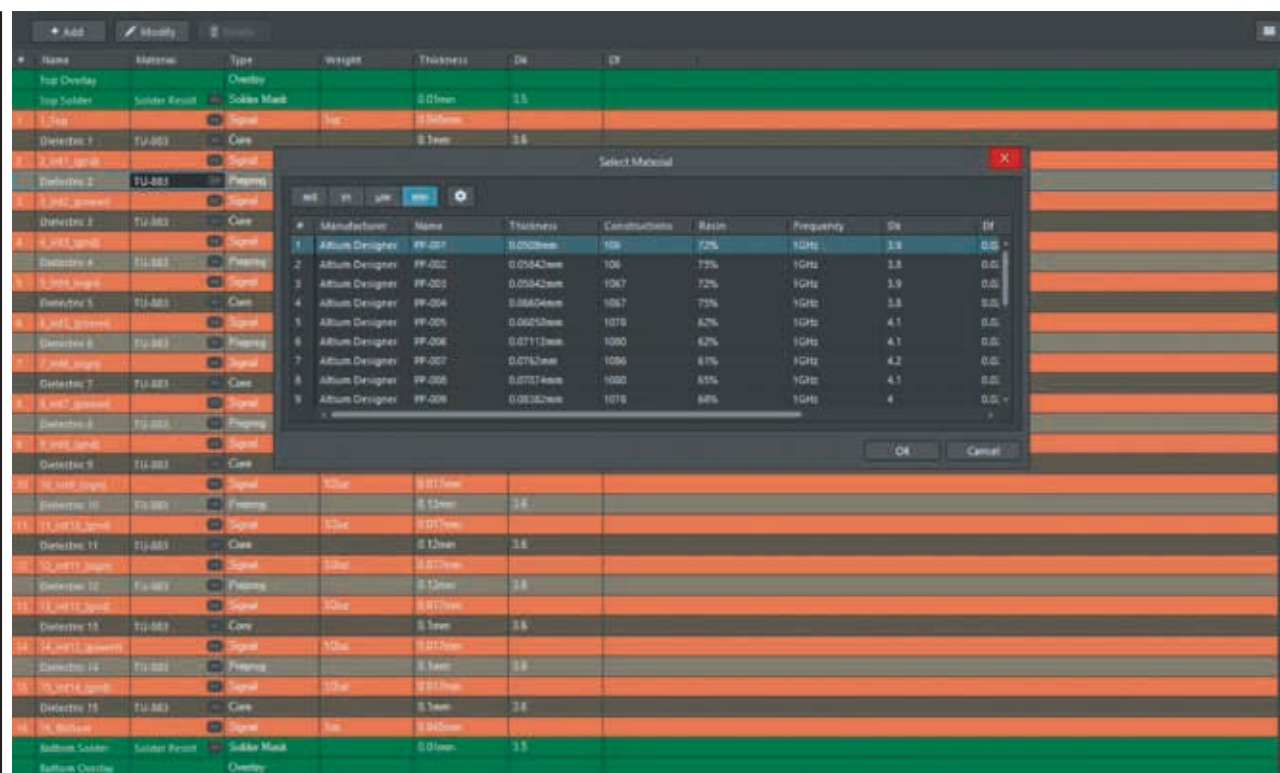
- **Паралельне термінування.** Резистор розміщується в кінці доріжки для узгодження імпедансу лінії. Цей метод зазвичай використовується для довших доріжок і диференціальних пар. Наприклад, у довгих лініях передачі усередині друкованої плати паралельний резистор на 50 Ом може завершувати доріжку та усувати відбиття.
- **AC термінування.** Цей метод поєднує в собі резистивні та ємнісні елементи для узгодження імпедансу на різних частотах. Наприклад, AC термінування може використовувати 50-омний резистор, під'єднаний паралельно з конденсатором, для термінування високошвидкісних тактових сигналів, що забезпечує узгодження в широкому діапазоні частот (з частотою зрізу  $f_c$ ), де імпеданс мережі термінування збігається з імпедансом лінії передачі, визначається такою формулою:  $f_c = 1/2\pi RC$

## ВИБІР МАТЕРІАЛУ ДЛЯ ВИСОКОШВІДКІСНИХ КОНСТРУКЦІЙ

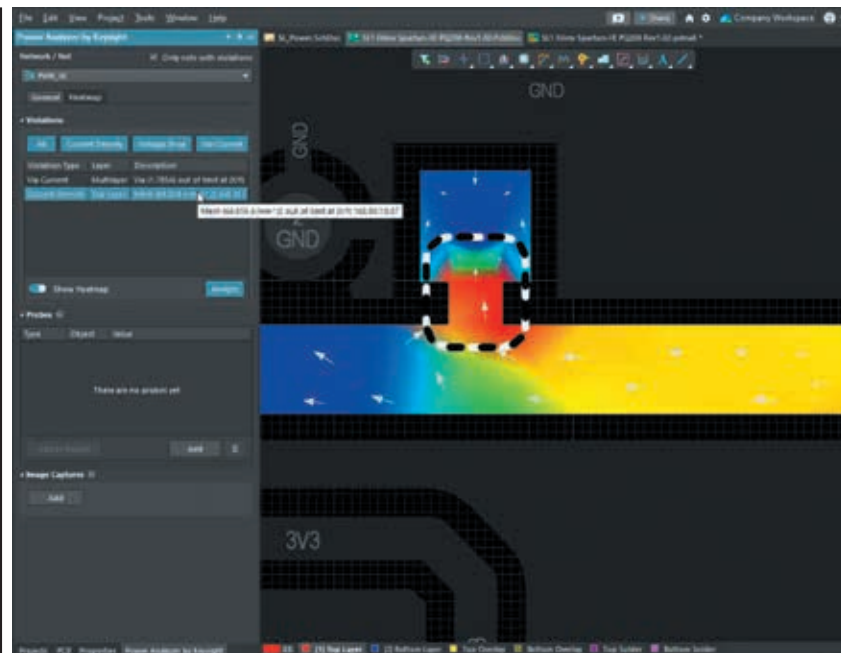
Діелектрична постійна ( $Dk$ ) і тангенс кута діелектричних втрат ( $Df$ ) матеріалів друкованих плат є критичними факторами для збереження цілісності сигналу. Діелектрична проникність ( $Dk$ ) впливає на швидкість поширення сигналів, тоді як тангенс кута діелектричних втрат ( $Df$ ) впливає на втрати сигналу на відстані. Для високошвидкісних конструкцій кращими є матеріали з низьким  $Dk$  і низьким  $Df$ , щоб мінімізувати спотворення і втрати сигналу (рис. 3).

Основні властивості матеріалів, що впливають на цілісність сигналу, такі:

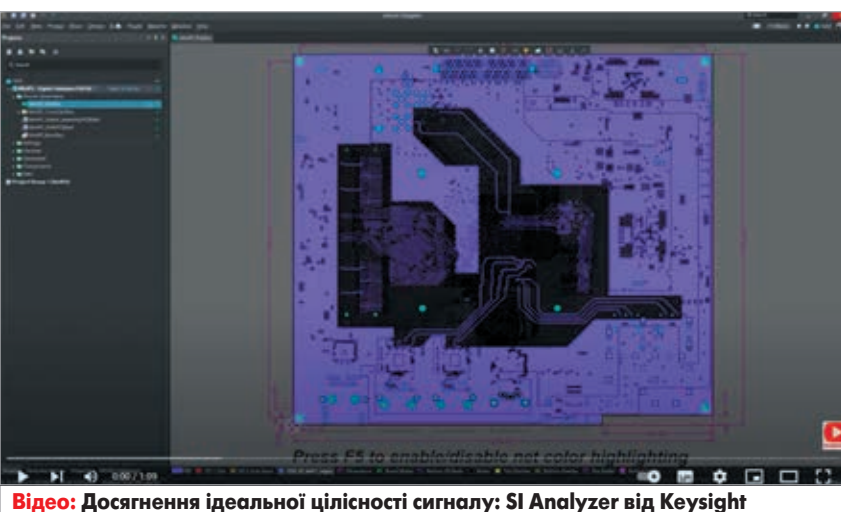
- **Термічна стабільність.** Матеріали з високою термічною стабільністю забезпечують стабільну роботу за різ-



**Рис. 3.** Редактор компонування друкованих плат в Altium Designer з інтегрованим обчислювачем електромагнітного поля



**Рис. 4.** Аналізатор цілісності живлення від Keysight в Altium Designer



**Відео:** Досягнення ідеальної цілісності сигналу: SI Analyzer від Keysight

них температур. Наприклад, матеріали High-Tg FR4 часто використовують у високошвидкісних конструкціях для забезпечення стабільної роботи в умовах коливань температур.

- Низьке поглинання вологи.** Матеріали, що поглинають менше вологи, зберігають постійні діелектричні властивості, що критично важливо для високошвидкісних сигналів. Наприклад, матеріали на кшталт Rogers 3003, які мають низьке поглинання вологи, використовуються у високошвидкісних конструкціях для забезпечення збереження цілісності сигналу навіть у вологих умовах.
- Механічна міцність.** Міцні матеріали витримують механічні навантаження під час виробництва та експлуатації,

зберігаючи шляхи проходження сигналів. Поліімід є таким прикладом, і його часто вибирають для гнучких друкованих плат через його чудову механічну міцність і стабільність.

### ЦІЛІСНОСТЬ ЖИВЛЕННЯ ТА ЇЇ ВПЛИВ НА ЦІЛІСНОСТЬ СИГНАЛУ

Цілісність живлення — це стабільна подача живлення до всіх компонентів на друкованій платі. Недостатня цілісність живлення може привести до коливань напруги, які, зі свого боку, спричиняють проблеми з цілісністю сигналу, як-от тремтіння, шум і помилки синхронізації. Підтримка надійної цілісності живлення критично важлива для забезпечення за-

галальної цілісності сигналу у високошвидкісних конструкціях (рис. 4).

Методи забезпечення цілісності живлення наступні:

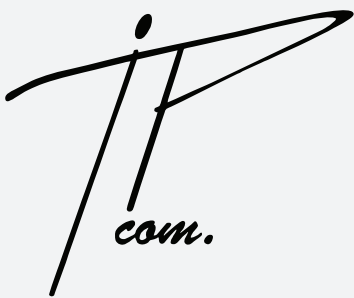
- Розділові конденсатори.** Ці конденсатори, розміщені поруч із виводами живлення інтегральних схем, фільтрують завади та забезпечують стабільне живлення. Наприклад, розділовий конденсатор на 0.1 мкФ, встановлений поруч із виводом живлення високошвидкісної ПЛІС, може фільтрувати високочастотні завади та забезпечувати стабільну напругу живлення.
- Площини живлення.** Спеціалізовані площини живлення знижують імпеданс і забезпечують стабільну опорну напругу для високошвидкісних сигналів. Наприклад, багатошарова друкована плата може містити окремі площини живлення і «землі» для зниження опору і забезпечення стабільної подачі живлення до високошвидкісних компонентів.
- Правильне заземлення.** Забезпечення шляху з низьким імпедансом для зворотних струмів знижує завади та покращує цілісність сигналу. Безперервна площа заземлення під шарами сигналів може забезпечити низькоімпедансний зворотний шлях, знижуючи завади та покращуючи цілісність сигналу.

### ВИСНОВОК

Підтримка цілісності високошвидкісного сигналу при проектуванні друкованих плат передбачає оволодіння методами контролю імпедансу, відбиття сигналу, вибору матеріалу та цілісності живлення. Ці методи дозволяють інженерам створювати надійні високошвидкісні ДП, які забезпечують точну передачу даних і надійну роботу системи. Завдяки ретельному плануванню, моделюванню та співпраці з виробником розробники можуть ефективно вирішувати проблеми, пов’язані з високошвидкісними ДП.

Майбутнє розширення Signal Analyzer для Altium Designer від Keysight пропонує передові інструменти аналізу, які допоможуть вирішити проблеми цілісності сигналу, надаючи цінні дані для проектування високошвидкісних ДП з упевненістю і точністю (див. відео).

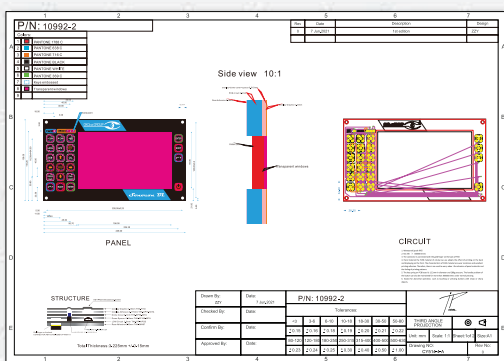
**ТОВ «ЛТБ СОФТ» — партнер Altium в Україні:**  
e-mail: [sales@ltbsoft.com.ua](mailto:sales@ltbsoft.com.ua),  
<https://ltbsoft.com.ua/software/altium-designer>



ТОВ «АЙПІ-КОМ. АЙСІ»  
(044) 592-54-05  
(098) 980-48-38  
ill82@ukr.net  
<http://ip-com.net.ua/>

## Виготовлення мембраних, плівкових клавіатур та приладових лицьових панелей

Компанія ТОВ «АЙПІ-КОМ. АЙСІ», пропонує послуги з розробки та виготовлення мембраних (плівкових) клавіатур та приладових панелей будь-якої складності з урахуванням технічних характеристик, які пред'являються замовником.



# Оптимізація налаштувань для підвищення чутливості аналізатора спектра

## Підвищення чутливості вимірювань спектра є ключем до вимірювання низькорівневих сигналів

**Переклад: Вадим Потапенко**

**Редактування: Віктор Бутирин**, директор, Юнітест

E-mail: Victor\_Butyrin@unitest.com

**Аналізатори сигналів (також відомі як аналізатори спектра) широко використовуються для вимірювання як відомих, так і невідомих низькорівневих сигналів. Використання корекції шуму, зменшення рівня власних шумів (Noise Floor Extension, NFE) та оптимізація налаштувань аналізатора дають змогу досягти максимальної чутливості приладу, що полегшує виявлення та вимірювання низькорівневих сигналів.**

Чутливість аналізаторів сигналів зазвичай вказується в їхніх технічних характеристиках і часто представлена у вигляді середнього рівня шуму (Displayed Average Noise Level, DANL) або коефіцієнта шуму (Noise Figure, NF). DANL, що виражений в дБм/Гц та визначається як амплітуда рівня власних шумів аналізатора сигналів у смузі розрішення (Resolution Bandwidth, RBW) 1 Герц у заданому діапазоні частот за умови 50-омного навантаження і вхідного ослаблення 0 дБ. Як правило, будь-яке усереднення, що застосовується до сигналу, виконується в логарифмічному масштабі, що знижує рівень власних шумів на 2.5 дБ; це зниження є основною відмінністю між DANL і NF.

Рівень власних шумів аналізатора сигналів складається з двох компонентів: коефіцієнта шуму, що позначається як NFSA (Noise Figure of the Signal Analyzer), і енергії теплового шуму.

Амплітуду енергії теплового шуму визначають за того самого навантаження на вході аналізатора сигналів, що й для DANL. Ця амплітуда часто виражається формулою kTB, де три параметри визначаються таким чином:

- $k = \text{постійна Больцмана} (1.38 \times 10^{-23} \text{ Дж}/\text{К})$ ;
- $T = \text{температура навколошнього середовища}$  (у градусах Кельвіна);
- $B = \text{смуга пропускання, в якій вимірюється шум}$  (Гц);
- $-2.51 \text{ дБ} = \text{поправка на занижений відгук при використанні логарифмічного усереднення відеосигналу}$ ;

- $0.24 \text{ дБ} = \text{поправка на шумову смугу частот фільтрів RBW в аналізаторах сигналів серії X порівняно з номінальною смugoю частот RBW}$ .

Як правило, смуга пропускання нормалізується до смуги пропускання 1 Гц, у результаті чого вираз  $10 \times \log(kTB)$  дорівнює  $-173.98 \text{ дБм}/\text{Гц}$  за кімнатної температури. Тоді DANL у смузі пропускання 1 Гц визначається таким чином:

$$\text{DANL} = -173.98 \text{ дБм}/\text{Гц} + \text{NFSA} - 2.51 \text{ дБ} + 0.24 \text{ дБ}. \quad (1)$$

Що може бути переписано як:

$$\text{NFSA} = \text{DANL} + 176.25 \text{ дБ}/\text{Гц}. \quad (2)$$

**Примітка.** Якщо у специфікації DANL замість логарифмічного усереднення відеосигналу використовується усереднення за середньоквадратичним значенням (СКЗ), поправка 2.51 дБ може бути виключена з розрахунків. Наприклад: значення DANL  $-151 \text{ дБм}/\text{Гц}$  відповідає значенню NFSA  $25.25 \text{ (дБ)}$ .

### НАЛАШТУВАННЯ, ЩО ВПЛИВАЮТЬ НА ЧУТЛИВІСТЬ

Правильно відкалибрований аналізатор сигналів — це той, який точно відображає сигнал, поданий на вхідний порт, повинен мати коефіцієнт підсилення, що дорівнює одиниці. Простіше кажучи, будь-який сигнал, поданий на вхідний порт, наприклад сигнал 0 дБм, повинен вимірюватися і відображатися з рівнем 0 дБм плюс-мінус похибка аналізатора. Однак регулювання ослаблення або підсилення впливає на цю залежність.

Збільшення вхідного ослаблення призводить до відповідного збільшення підсилення в каскаді смуг розрішення аналізатора сигналів. Ця компенсація допомагає підтримувати відкалибрований рівень, або постійне співвідношення сигнал/шум, на дисплеї завдяки підвищенню рівня власних шумів. Використання зовнішнього ослаблення призведе до аналогічного результату. Наведена нижче формула показує, як рівень власних шумів (Noise Floor) аналізатора сигналів залежить від ослаблення (Attenuation) і смуги розрішення.

Рівняння містить у собі член « $10 \times \log (\text{RBW})$ », який компенсує RBW, що перевищують 1 Гц:

$$\text{Noise Floor} = \text{DANL} + \text{Attenuation} + 10 \times \log (\text{RBW}). \quad (3)$$

Рівняння 3 визначає залежність, яку можна використовувати для покращення рівня власних шумів. У багатьох випадках існує додаткова специфікація DANL, що застосовується при використанні внутрішнього попереднього підсилення. Однак при використанні зовнішнього передпідсилювача модифікований DANL можна визначити за допомогою наступного рівняння, отриманого з формули каскадного коефіцієнта шуму за умови, що коефіцієнт підсилення аналізатора сигналів дорівнює одиниці. При розгляді комбінації передпідсилювача та аналізатора сигналів коефіцієнт шуму системи розраховується як:

$$\text{NF}_{\text{системи}} = \text{NF}_{\text{передпідсилювача}} + [(\text{NFSA} - 1)/G_{\text{передпідсилювача}}]. \quad (4)$$

### Приклад

Використовуючи попередній приклад, де  $\text{NFSA} = 25.25$  дБ, розглянемо передпідсилювач із коефіцієнтом підсилення 20 дБ і коефіцієнтом шуму 5 дБ. Перетворення цих значень у відношенні потужностей і підстановка їх у рівняння 4 має такий вигляд:

**Крок 1.** Перетворення логарифмічних значень у лінійні:

$$\text{NF}_{\text{лінійн.}} = 10^{25.25/10} = 334.97,$$

$$G_{\text{передпідсилювача}} = 10^{20/10} = 100,$$

$$\text{NF}_{\text{передпідсилювача}} = 10^{5/10} = 3.16.$$

**Крок 2.** Підстановка лінійних значень у рівняння 4:

$$\text{NF}_{\text{системи}} = 3.16 + [(334.97 - 1)/100].$$

**Крок 3.** Знайдення логарифмічного значення:

$$\text{NF}_{\text{системи}} = 10 \times \log [3.16 + (334.97/100)] = 8.14 \text{ дБ.}$$

Потім це значення можна підставити в рівняння 1 як NFSA і визначити новий DANL із зовнішнім попереднім підсиленням.

У цьому прикладі DANL покращується з  $-151$  дБм/Гц до  $-168$  дБм/Гц:

$$\text{DANL} = -174(\text{дБм}/\text{Гц}) + 8.14(\text{дБ}) - 2.51(\text{дБ}) = -168.37 \text{ (дБм}/\text{Гц}).$$

Як бачимо з прикладу, використання зовнішнього передпідсилювача може значно знизити рівень власних шумів. Однак це зниження має свої недоліки. Зовнішній передпідсилювач може вносити нелінійні спотворення в систему, що потенційно обмежує здатність аналізатора сигналів точно вимірювати сильні сигнали. Найкращим рішенням є використання внутрішнього передпідсилювача, який можна вимкнати і вимкнати залежно від вимог до вимірювань. Така гнучкість особливо корисна в контексті автоматизованого тестування.

У цьому розділі ми розглянули, як зміни налаштувань ослаблення, смуги розрішення і попереднього підсилення можуть підвищити чутливість аналізатора сигналів. Більшість сучасних аналізаторів також оснащені функціями вимірювання рівня власних шумів та їхньої автоматичної компенсації в результатах вимірювання сигналу, що ми розглянемо далі.

### ВНЕСЕННЯ ПОПРАВОК НА РІВЕНЬ ШУМУ

Під час вимірювання випробовуваних пристроїв (ВП) за допомогою аналізатора сигналів результатуючий спектр,

що відображається на екрані аналізатора, є комбінацією вхідного сигналу (ВП), теплового шуму і коефіцієнта шуму аналізатора сигналів. Якщо ВП від'єднано від входу і замінено на 50-омне навантаження, то на екрані відображається тільки тепловий шум і NFSA, які визначають рівень власних шумів аналізатора.

З розвитком технологій аналізаторів сигналів цей рівень власних шумів може бути точно виміряний (з великим усередненням) і збережений у файлі під назвою Correction Trace. Коли вхідний сигнал ВП під'єднано і вимірюється, отримана траса зберігається у файл під назвою Measurement Trace. Основний метод корекції шуму, розглянутий тут, передбачає отримання результуючої траси (Resultant Trace), яка є спектром вхідного сигналу ВП з видаленим надлишковим шумом. Результуюча траса розраховується за допомогою рівнянь 5 і 6:

$$\text{Resultant Trace} = \text{Measurement Trace} - \text{Correction Trace}, \quad (5)$$

$$\text{Resultant Trace} = (\text{ВП}_{\text{вх. сигнал}} + k\text{TB} + \text{NFSA}) - (k\text{TB} + \text{NFSA}) = \text{ВП}_{\text{вх. сигнал}} \quad (6).$$

Зверніть увагу, що перед відніманням усі значення мають бути перетворені з логарифмічних (дБм) на лінійні в міліватах (мВт). Потім результатуюча траса перетворюється назад у дБм і виводиться на екран аналізатора сигналів. Цей процес має дві основні переваги:

- покращує видимість низькорівневих сигналів;
- дає змогу проводити точніше вимірювання амплітуди завдяки усуненню похибок, внесених власними шумами аналізатора сигналів.

На рисунку 1 показано відносно простий метод корекції шумів за допомогою математичних операцій з трасами. Спочатку виконується усереднення власних шумів аналізатора сигналів з 50-омним навантаженням на вході, і ці дані зберігаються як траса 1 (жовта). Потім підключається ВП, його сигнал реєструється і зберігається як траса 2 (синя). Нарешті, застосовується математична операція віднімання потужності цих двох трас, і результат зберігається як траса 3 (фіолетова). Корекція шумів найбільш ефективна, коли вхідний сигнал близький до рівня власних шумів аналізатора сигналів. Корекція практично не впливає на сильні сигнали, оскільки вони роблять набагато менший внесок у рівень шуму.

Основним недоліком цього методу є те, що під час зміни налаштувань необхідно вимикати ВП і підключати 50-омне навантаження. Альтернативний метод отримання коригуючої траси (Correction Trace) без від'єднання ВП полягає у збільшенні вхідного ослаблення (наприклад, до 70 дБ), щоб підняти рівень власних шумів аналізатора сигналів набагато вище за вхідний сигнал ВП, а потім зберегти його у вигляді коригуючої траси. Тепер коригуюча траса міститиме компоненти, показані в рівнянні:

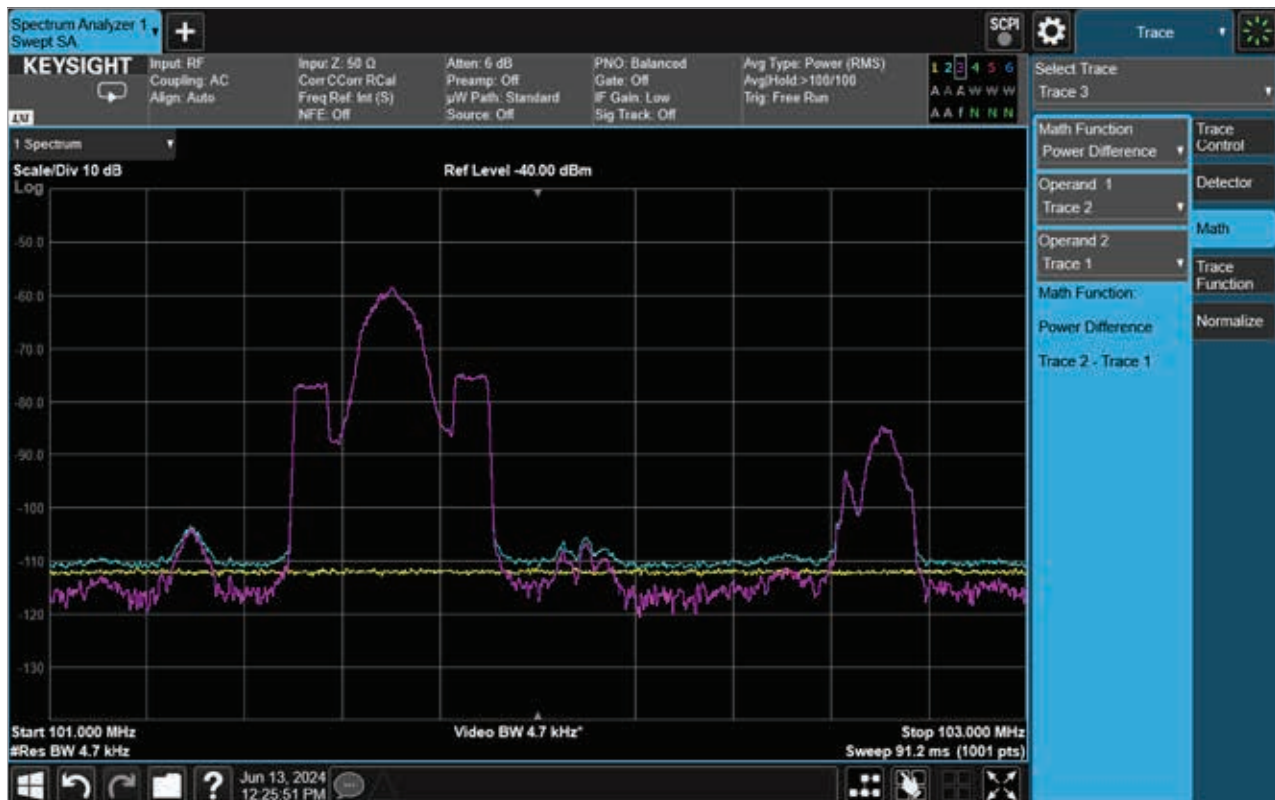
$$\text{Correction Trace} = \text{ВП}_{\text{вх. сигнал}} + k\text{TB} + \text{NFSA} + \text{Ослаблення}. \quad (7)$$

Якщо  $k\text{TB} + \text{NFSA} + \text{Ослаблення} \gg \text{ВП}_{\text{вх. сигнал}}$ , то можна не вказувати рівень вхідного сигналу ВП і визначити коригуючу трасу відповідно до наступного рівняння:

$$\text{Correction Trace} = k\text{TB} + \text{NFSA} + \text{Ослаблення}. \quad (8)$$

Віднімаючи відоме значення ослаблення з рівняння 8, можна отримати вихідну коригуючу трасу, що використовується в ручному методі, яка представлена в наступному рівнянні:

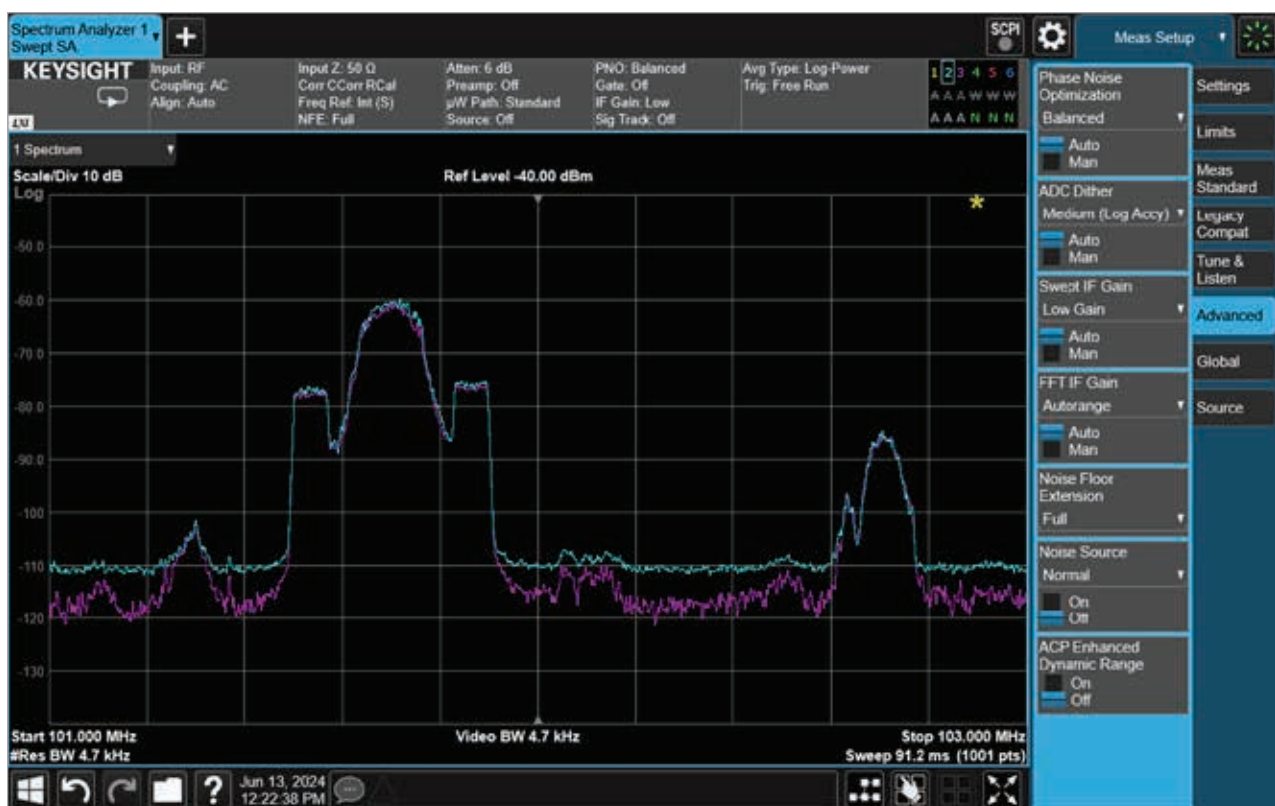
$$\text{Correction Trace} = k\text{TB} + \text{NFSA} \quad (9).$$



**Рис. 1.** Метод корекції шумів за допомогою математичних операцій з трасами

Ключовим обмеженням цього процесу є те, що коригуюча траса дійсна тільки для поточних налаштувань аналізатора сигналів. Зміна таких налаштувань, як центральна частота,

смуга огляду і смуга розрішення (RBW), зробить недійсними значення, збережені в коригуючій трасі. Надійніший підхід передбачає знання конкретних значень NFE у всіх частот-



**Рис. 2.** Використання функції Noise Floor Extension (NFE) в аналізаторі сигналів Keysight N9040B UXA

них точках, що дає змогу застосувати коригуючу трасу для будь-яких налаштувань аналізатора.

В аналізаторах сигналів серії X компанії Keysight Technologies використовується удосконалена корекція під назвою Characterize Noise Floor для вимірювання та збереження залишкового рівня власних шумів у діапазоні частот аналізатора та в різних атенюаторах і трактах сигналу в рамках функції Noise Floor Extension (NFE) (рис. 2). Використання функції NFE в аналізаторі сигналів Keysight N9040B UXA допомагає покращити чутливість до низькорівневих сигналів. Синя траса — відгук аналізатора без використання функції NFE. Фіолетова траса — той самий сигнал після перемикання функції NFE з режиму Off (вимкнено) в режим Full (повний).

У наведеному прикладі після перемикання функції NFE в режим Full рівень власних шумів знижується приблизно на 10 дБм.

Дані зберігаються в пам'яті приладу. Коли користувач вмикає функцію NFE на аналізаторі, аналізатор розраховує коригуючу трасу на основі поточних налаштувань приладу і збережених значень коефіцієнта шуму. Це усуває необхідність вимірювання рівня власних шумів аналізатора, як це робилося вручному режимі. Крім того, це також значно спрощує використання корекції рівня шуму та заощаджує час, усуваючи необхідність вимірювання рівня власних шумів приладу при кожній зміні налаштувань.

Для ефективної роботи функції NFE важливо використовувати достатню кількість усереднень траси. Рекомендується використовувати не менше 10 усереднень траси.

## КОРОТКЕ КЕРІВНИЦТВО ЩОДО ВИКОРИСТАННЯ ФУНКЦІЇ NFE

У наведеному сценарії виявлено основний сигнал на частоті 1 Гц, а також два слабі сигнали по обидва боки від нього. Підвищення відношення сигнал/шум (SNR) може зробити ці слабкі сигнали більш помітними.

Один зі швидких способів підвищити SNR — знизити рівень шуму. Швидкий спосіб знизити рівень власних шумів — використовувати функцію NFE. Почніть з натиснанням третього заголовка меню на панелі вимірювань у верхній частині екрана (рис. 3).

Потім натисніть функціональну клавішу *Noise Floor Extension* і виберіть *Adaptive* або *Full*. Крім того, увімкніть усереднення траси з достатньою кількістю усереднень ( $\geq 10$  усереднень) (рис. 4).

Синя траса на рисунку 5 — це вимірювання того самого сигналу, але з увімкненим режимом NFE Adaptive. Рівень власних шумів зменшився приблизно на 5 дБ, що полегшує ідентифікацію слабких сигналів (рис. 5).

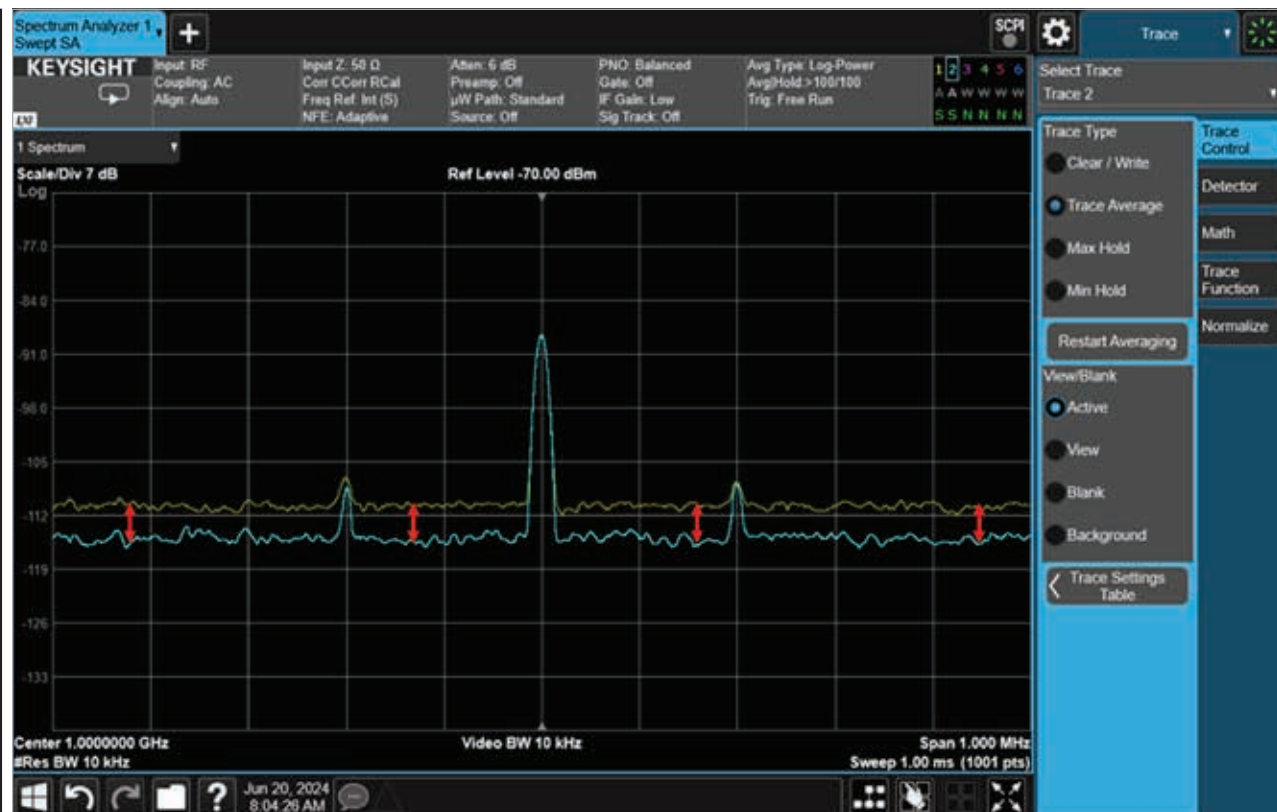
На рисунку 6 показано корекцію Characterize Noise Floor, яку можна відкрити, натиснувши *System Settings* → *Alignments* → *Advanced* → *Characterize Noise Floor*. Для досягнення найкращих результатів перед використанням функції NFE може знадобитися виміряти рівень власних шумів. Аналізатор буде автоматично сповіщати користувача про необхідність щорічного виконання цієї корекції, однак за бажання користувач може виконувати її частіше для підтримання максимальних характеристик приладу.



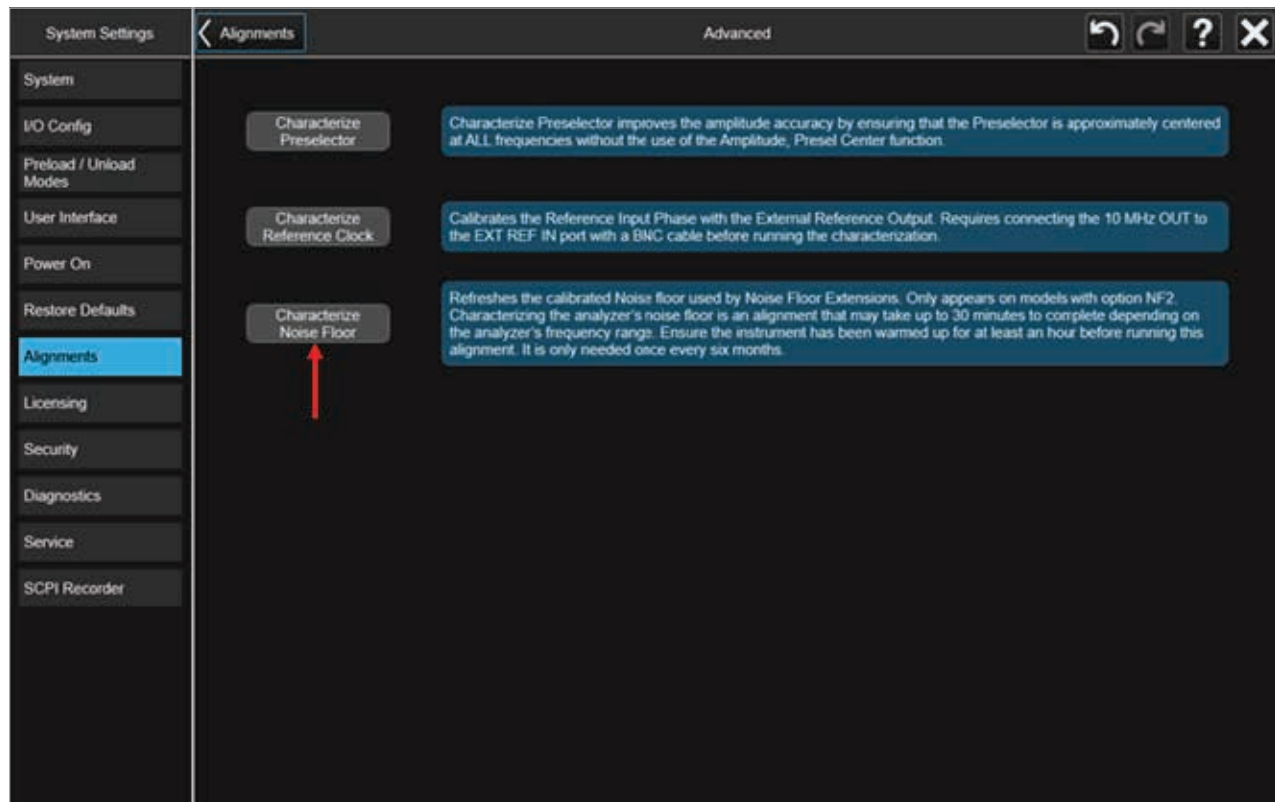
**Рис. 3. Рисунок 3. Початок використання функції NFE: натисніть на третій заголовок меню на панелі вимірювань у верхній частині екрана**



**Рис. 4.** Натисніть функціональну клавішу Noise Floor Extension і виберіть Adaptive або Full. Крім того, увімкніть усереднення траси з достатньою кількістю усереднень ( $\geq 10$  усереднень)



**Рис. 5.** Вимірювання того самого сигналу, але з увімкненим режимом NFE Adaptive



**Рис. 5.** Вимірювання того самого сигналу, але з увімкненим режимом NFE Adaptive

## КОРЕКЦІЯ РІВНЯ ШУМУ В ІНШИХ ВИМІРЮВАННЯХ

Функції корекції шумів включені в різні інші програми для вимірювань в аналізаторах серії X. Вимірювання за допомогою програми Power Suite в аналізаторах спектра, такі як вимірювання потужності в сусідньому каналі (*Adjacent Carrier Power, ACP*), містять корекцію шумів з моменту появи аналізаторів сигналів серії X. Аналогічно, інші вимірювальні функції, такі як Fast Power (FP2), також використовують корекцію шумів. Крім того, за багаторазового вимірювання відомого повторюваного цифрового сигналу можна математично зменшити мінімальний рівень корельзованих шумів.

## ВИСНОВОК

У кожному з розглянутих методів корекції шуму віднімається як тепловий шум (kTB), так і коефіцієнт шуму аналізатора сигналів. Таке віднімання підвищує чутливість аналізатора, даючи йому змогу виявляти і вимірювати низькорівневі сигнали, які в іншому разі можуть бути перекриті мінімальним рівнем шуму. Однак, хоча ці методи можуть бути ефективними в багатьох ситуаціях, вони не є універсальними. Проблеми виникають, коли вимірювані значення близькі або дорівнюють рівню власних шумів приладу. Фактично, якщо вони рівні, то теоретично результат дорівнюватиме від'ємній нескінченості в dB. Практична реалізація корекції шуму зазвичай містить порогове значення або градуйований рівень віднімання, близький до рівня власних шумів приладу. Також не забувайте використовувати достатнє усереднення при застосуванні функції NFE, щоб зменшити випадкові коливання в скоригованому рівні власних шумів.

У цій статті розглянуто різні методи вимірювання низькорівневих сигналів за допомогою аналізатора сигналів. Важливо розуміти, що на чутливість впливають такі чинники, як смуга розрішення, вхідне ослаблення і використання передпідсилювача. Для подальшого підвищення чутливості приладу можна застосовувати методи подавлення шуму, такі як корекція шумів і зниження рівня власних шумів. Крім того, необхідно мінімізувати втрати в зовнішніх колах, що ведуть до аналізатора сигналів, оскільки вони можуть ще більше знизити загальну чутливість.

Основний перелік контрольно-вимірювального обладнання, яке пропонує компанія Keysight Technologies, містить:

- прилади загального призначення (осцилографи, електронні лічильники, вимірювальні пристрої, генератори функцій, синтезатори сигналів, джерела живлення);
- радіовимірювальні прилади;
- контрольно-вимірювальне обладнання для телекомунікацій;
- устаткування для тестування бездротового зв'язку;
- вимірювальні стенді;
- оптичні прилади;
- техніка для налагодження цифрових пристрій;
- техніка для тестування електронних компонентів.

Розширте межі своїх технічних можливостей разом із Keysight Technologies!

**Більш детальну інформацію щодо продукції компанії Keysight Technologies можна отримати, звернувшись до офіційного дистрибутора в Україні — компанії Юнітест:**

**04053, м. Київ, вул. Олеся Гончара, 6,  
тел. +38 (044) 272-60-94,  
e-mail: web@unitest.com,  
www.unitest.com**

# Осердя з порошкових матеріалів

**Артем Терейковський**, директор, ТОВ «НВП АСТЕРА»

E-mail: ferrite@ukr.net

## ПОРОШКОВІ ГІБРИДИ – ПЕРЕВАГИ Й НЕДОЛІКИ

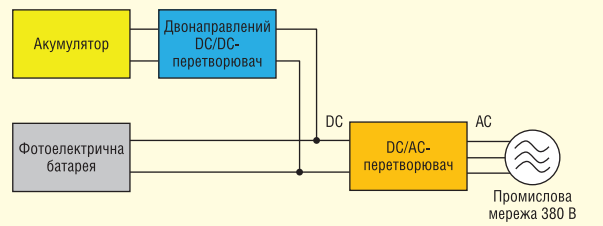
Ріст ринку промислових пристрій, що містять перетворювачі напруги, висуває дедалі жорсткіші вимоги до їхньої ефективності. Насамперед це стосується перетворювачів, що використовуються в електромобілях, джерелах відновлювальної енергії (сонячні панелі, вітрові генератори тощо), і в акумуляторних системах безперебійного живлення та зберігання енергії (*Battery Energy Storage Systems, BESS*), (рис. 37). Для оцінки ефективності інверторів, що використовуються в промислових системах кондиціонування, Європейська Комісія та Каліфорнійська Енергетична Комісія (CEC) розробили індекс, що визначається як середньозважене за контрольний час експлуатації значення ефективності, виміряне за різних коефіцієнтів навантаження (5%, 10%, 20% і т.д.). Кожне зі значень ефективності, що входять у формулу, має свій ваговий коефіцієнт [173].

Вбудовані зарядні пристрої електромобілів повинні мати значну питому потужність у поєднанні з високою надійністю та ефективністю пристроя в широкому діапазоні значень коефіцієнта навантаження. Як правило, найбільша ефективність відзначається при коефіцієнти навантаження 30%...70% і різко знижується за менш ніж 30% [174].

Існує безліч методів, кожен з яких окремо або в поєднанні з іншими здатний підвищити ККД перетворювача в широкому діапазоні потужності навантаження [175–178]. Вибір оптимального матеріалу осердя дроселя є одним із найефективніших рішень [179–181]. Зазвичай, для накопичувальних дроселів застосовують осердя з порошкових матеріалів, найважливішими характеристиками яких є сумарні втрати та індукція насычення. В осердях із МПМ із низькою відносною вартистю (*MegaFlux i Sendust*) ці параметри перевібають у зворотній залежності (див. табл. 6, 7 та рис. 29 (CHIP NEWS, № 4 (229), 2024)). Якщо осердя дроселя має поєднувати властивості обох МПМ, вибір єдиного придатного матеріалу може виявитися складним або неможливим. У деяких випадках проблема вирішується застосуванням осердь із композитних МПМ.

Раніше вже було описано експериментальні та комерційні композитні матеріали, що виготовляються з двох і більше видів порошків з різними магнітними властивостями (див. CHIP NEWS, № 3–4 (228–229), 2024). Осердя з композитних МПМ доступні в широкому діапазоні розмірів і значень проникності (табл. 9). У тих випадках, коли характеристики таких матеріалів не забезпечують необхідних параметрів осердя, застосовують так звані гібридні осердя, що складаються з двох або декількох осердь з різних магнітних матеріалів.

На практиці використовують кілька способів поєднання вихідних осердь у складі гібридного. Найпростіший – поєд-



**Рис. 37. Двонаправлений DC-DC перетворювач у системі зберігання енергії [182]**

нання двох одинакових за розмірами кілець. Необхідні параметри забезпечуються вибором вихідних осердь з відповідними характеристиками [182, 183]. Й. Імаока (J. Imaoka), Ю. Ісікура (Y. Ishikura) та співавтори [184] описали методику розробки дроселя на основі такого гібридного осердя. Завданням їхнього дослідження було отримання рівнішої кривої залежності ККД перетворювача від коефіцієнта навантаження. Результати вимірювань підтвердили високу точність застосованих математичних методів під час моделювання нелінійного магнітного опору осердь, тому описана методика може використовуватися під час практичних інженерних розрахунків.

## Визначення втрат в дроселі

Втрати в дроселі складаються з втрат в осерді та втрат в обмотці. За малих коефіцієнтів навантаження втрати в осерді переважають і стають головною причиною зниження ККД перетворювача. За високих навантажень зниження ККД відбувається переважно завдяки зростанню втрат в обмотці. Втрати в осерді пропорційні розмаху індукції  $\Delta B$  [185–187]. У разі збільшення кількості витків обмотки зменшується  $\Delta B$ , що призводить до зниження втрат в осерді, але зростають втрати в обмотці. Таким чином, головне завдання під час проектування дроселя – визначення оптимальної кількості витків, яка забезпечує мінімальні втрати.

Значення індуктивності дроселя визначається обраною топологією перетворювача і розраховується за формулою:

$$L = \frac{N^2}{R_m} = \left( \frac{N^2 \mu_0 \mu_r (H) A_{core}}{l_{core}} \right), \quad (10)$$

де  $N$  – кількість витків обмотки,  $l_{core}$  – середня довжина магнітної лінії,  $A_{core}$  – площа поперечного перерізу,  $R_m$  – магнітний опір осердя,  $\mu_0$  – магнітна проникність вакууму,  $\mu_r (H)$  – відносна проникність осердя, що нелінійно залежить від напруженості поля. Для коректного розрахунку індуктивності необхідно визначити точне значення проникності осердя в залежності від сили підмагнічування.

Зазвичай, МПМ з високою індукцією насычення є більш стійкими до підмагнічування, ніж матеріали з низькою індук-

\* Продовження. Початок див. CHIP NEWS, № 5, 2023, № 1–5, 2024.

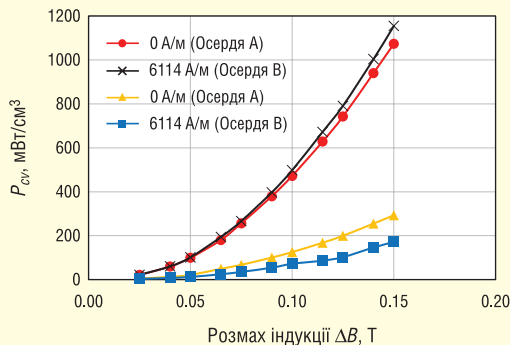


Рис. 38. Залежність сумарних втрат осердь А і В від розмаху індукції та підмагнічування [182]

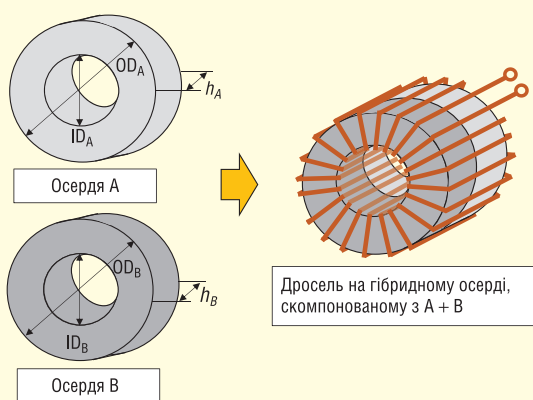


Рис. 39. Структура гібридного осердя з одинакових за розміром кілець [182]

цією насичення. У межах прийнятного діапазону значень індуктивності дроселя, вища індукція насичення матеріалу осердя сприяє зменшенню кількості витків обмотки дроселя. Отже, втрати в обмотці перебувають у зворотній залежності від DCB-характеристики матеріалу осердя. З іншого боку, такі МПМ мають високі сумарні втрати.

Для порівняння характеристик дроселів на гібридному й однорідних осердях було взято однакові за розміром і початковою проникністю осердя FS-106060-2 з матеріалу FluxSan™ (осердя А) і сендастовий MS-106060-2 (осердя В), вироблені компанією Micrometals. Основні параметри цих матеріалів з  $\mu = 60$  наведено в таблицях 6, 7 і в [188], [189]. Наочне порівняння продуктивності обох матеріалів надано на рисунку 29 (CHIP NEWS, № 4 (229), 2024).

На рисунку 38 наведено залежність втрат обох осердь від розмаху індукції (синусоїdalний сигнал 40 кГц) без підмагнічування і за напруженості поля 6114 А/м, виміряні за допомогою В-Н аналізатора. В всіх випадках, втрати в сендастовому осерді виявилися істотно нижчими, ніж в осерді з Fe-Si (FluxSan™). Примітно, що втрати в осерді з Fe-Si збільшуються при підмагнічуванні, а в осерді з Fe-Si-Al — знижуються.

З пар обраних осердь було виготовлено три екземпляри дроселів із розташуванням осердь один поверх іншого, об'єднаних спільною обмоткою, у поєднаннях А + А, А + В, В + В. Структура гібридного осердя зображена на рисунку 39.

### Проникність гібридного осердя

Успіх розробки дроселя на гібридному осерді залежить від точності моделювання DCB-характеристик кожного окре-

мого осердя. Для цього використовується кілька моделей, які з різним ступенем точності описують залежність проникності від напруженості поля.

Одна з моделей заснована на рівнянні Брауера [190], [191]:

$$\mu_r(B) = \frac{1}{k_1(1+2k_2B^2)e^{k_2B^2} + k_3}, \quad (11)$$

де  $k_1, k_2, k_3$  — константи, визначені з емпірично отриманої кривої.

Інша модель, запропонована в [192], описує залежність індукції в осерді від напруженості поля. Схоже рівняння сформульовано в [193]:

$$B(H) = 0.1 \left( \frac{a + bH + cH^2}{1 + dH + eH^2} \right)^x, \quad (12)$$

де  $a, b, c, d, e, x$  — коефіцієнти, що характеризують нелінійну залежність індукції в осерді від напруженості поля.

У рівняннях (11) і (12) присутня велика кількість коефіцієнтів, позбавлених фізичного сенсу, тому ці рівняння не дають інтуїтивного розуміння нелінійної залежності проникності МПМ від напруженості поля.

Й. Імаока (J. Imaoka) та співавтори [194] запропонували просте рівняння з трьома коефіцієнтами:

$$\mu_r(H) = 1 + \left( \frac{p}{1 + \left( \frac{|H|}{q} \right)^r} \right), \quad (13)$$

де  $p, q, r$  — коефіцієнти, що описують залежність відносної проникності від напруженості поля, яка визначається наступним чином:

$$H = \frac{NI}{l_{core}}, \quad (14)$$

де  $N$  — число витків обмотки,  $I$  — струм в обмотці,  $l_{core}$  — середня довжина магнітної лінії осердя.

Фізичний зміст коефіцієнтів  $p, q, r$  стає зрозумілим із рисунків 40, 41. Початкова магнітна проникність осердя  $\mu_r$  за відсутності підмагнічування дорівнює  $p + 1$ , а коефіцієнт  $q$  дорівнює такій напруженості поля, за якої проникність осердя зменшується вдвічі, до значення  $p/2 + 1$ .

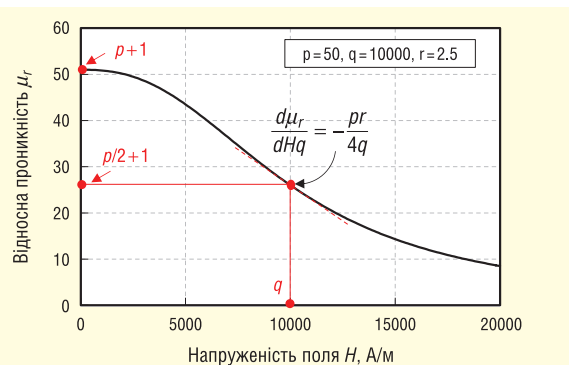
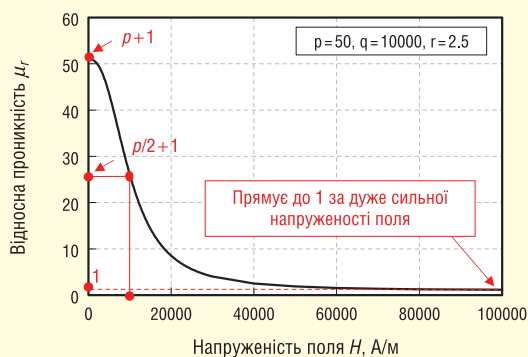


Рис. 40. Взаємозв'язок між коефіцієнтами  $p, q, r$ , напруженістю поля  $H$  і відносною проникністю осердя  $\mu_r$  [194]



**Рис. 41.** Залежність  $\mu_r$  від напруженості поля під час насилення осердя [194]

Перший елемент у правій частині (13) відповідає магнітній проникності осердя за повного його насилення. Отже, за нескінченного збільшення напруженості поля значення  $p + 1$  буде наблизитися до 1 (рис. 41). Коефіцієнт  $r$  характеризує негативний кут нахилу кривої відносної проникності на ділянці поблизу значення напруженості поля, що дорівнює  $q$ . Чим більше значення  $r$ , тим крутіший нахил графіка (рис. 42). Отже, взаємозв'язок між  $p$ ,  $r$ ,  $q$  може бути описаний таким чином [194]:

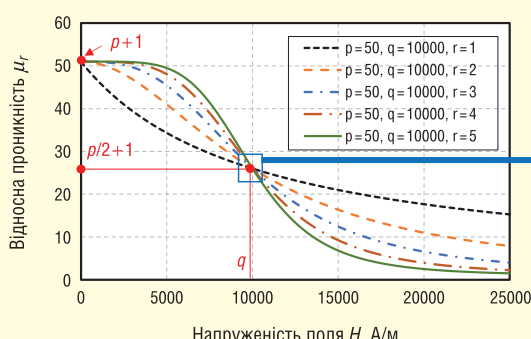
$$\frac{d\mu_r}{dH} = -\frac{pr}{4q}.$$

Чим більше значення  $r$ , тим швидше зменшується відносна проникність  $\mu_r$  зі зростанням напруженості поля. Усього три коефіцієнти, фізичний зміст яких інтуїтивно зрозумілий, дають змогу з незначною похибкою описувати DCB-характеристики різних магнітно-м'яких матеріалів. Рівняння (13) є адаптованою функцією розподілу Фермі-Дірака, графік якої досить точно відповідає графіку зміни відносної проникності матеріалу осердя залежно від напруженості поля.

Використовуючи (13),  $\mu_r$  осердя А і В визначається таким чином:

$$\mu_{rA}(H) = 1 + \frac{p_A}{1 + \left(\frac{|H|}{q_A}\right)^r} = 1 + \frac{57.8}{1 + \left(\frac{|H|}{12500}\right)^r}, \quad (15)$$

$$\mu_{rB}(H) = 1 + \frac{p_B}{1 + \left(\frac{|H|}{q_B}\right)^r} = 1 + \frac{59.1}{1 + \left(\frac{|H|}{8200}\right)^r}. \quad (16)$$



Отримані з використовуванням В-Н вимірювача (позначені трикутниками та квадратами) і розраховані (позначені як суцільні лінії) за допомогою (15) і (16) значення  $\mu_r$  наведено на рисунку 43. Емпіричні значення майже повністю збігаються зі змодельованими.

На рисунку 44 наведено схему магнітної моделі гібридного осердя, складеного з двох однорідних осердь з магнітними властивостями, що відрізняються одне від одного.  $Nl$  — магнітторушійна сила,  $R_{mA}$  і  $R_{mB}$  — перемінні магнітні опори осердь А і В,  $\phi_A$  та  $\phi_B$  — магнітні потоки в осердях А і В. Магнітний потік, що створюється струмом в обмотці, розділяється між осердями відповідно до магнітного опору кожного з них. Із наведеної на рисунку 42 схеми та рівняння (10), індуктивність дроселя може бути розрахована за формулою:

$$L = N^2 \frac{R_{mA} + R_{mB}}{R_{mA} R_{mB}} = N^2 \mu_0 \left( \frac{\mu_{rA}(H) A_{coreA}}{l_{coreA}} + \frac{\mu_{rB}(H) A_{coreB}}{l_{coreB}} \right). \quad (17)$$

Підставляючи рівняння (14), (15) і (16) у (17) і приймаючи рівність площі поперечного перерізу та середньої довжини магнітної лінії обох осердь ( $A_{coreA} = A_{coreB}$  і  $l_{coreA} = l_{coreB}$ ), отримуємо таке рівняння:

$$L = \frac{N^2 \mu_0 A_{core}}{l_{core}} (\mu_{rA}(H) + \mu_{rB}(H)) = \\ = \frac{N^2 \mu_0 A_{core}}{l_{core}} \left( 2 + \frac{p_A}{1 + \left| \frac{Nl}{l_{coreA} q_A} \right|^{r_A}} + \frac{p_B}{1 + \left| \frac{Nl}{l_{coreB} q_B} \right|^{r_B}} \right). \quad (18)$$

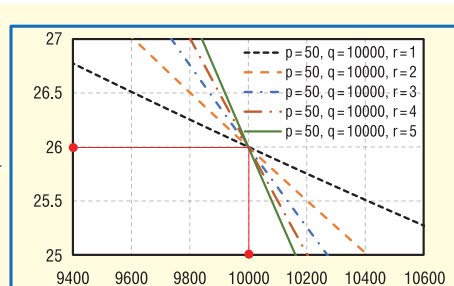
Таким чином, за допомогою (18) можна розрахувати числові витків обмотки  $N$ .

Виробники осердь з МПМ для опису DCB-характеристик матеріалів застосовують розширену формулу, яка є модифікацією (13):

$$\% \mu_r = \frac{1}{a + bH^c} + d, \quad (19)$$

де  $\% \mu_r$  — частина початкової проникності (%) за напруженості поля  $H$ , вираженої в Ерстедах;  $a$ ,  $b$ ,  $c$  і  $d$  — коефіцієнти. Якщо вважати, що  $\% \mu_r = 100\% (\mu_r / \mu_i)$ , то (19) можна подати у вигляді:

$$\mu_r(H) = \frac{\mu_r}{100(a + bH^c)} + \frac{d}{100}. \quad (20)$$



**Рис. 42.** Зміна відносної проникності  $\mu_r$  в залежності від коефіцієнта  $r$  [194]

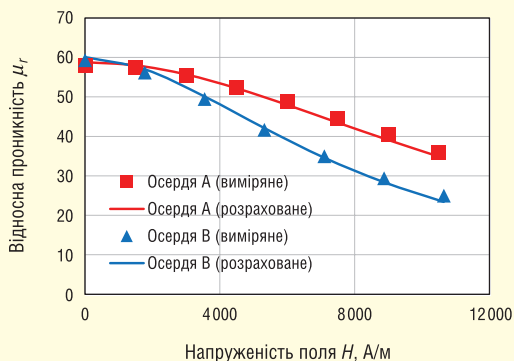


Рис. 43. Вимірюні та розраховані значення відносної проникності  $\mu_r$  осердя A і B [182]

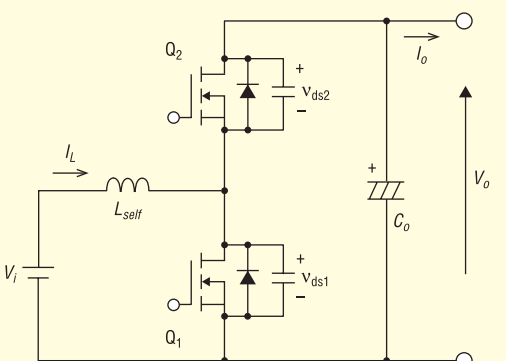


Рис. 45. Конфігурація двонаправленого DC/DC-перетворювача [182]

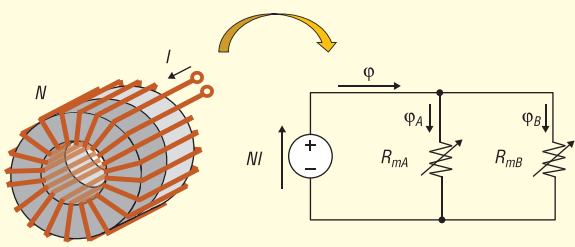


Рис. 44. Еквівалентна магнітна модель гібридного осердя

Значення  $a$ ,  $b$ ,  $c$  і  $d$  для кожного матеріалу наведені в документації виробника:

$$\text{FluxSan}^{\text{TM}} (\mu = 60) \\ a = 1.000\text{E-}02, b = 1.949\text{E-}07, c = 2.099\text{E+}00, d = 0.000\text{E+}00 \quad [188]$$

$$\text{Sendust } (\mu = 60) \\ a = 1.000\text{E-}02, b = 2.151\text{E-}06, c = 1.841\text{E+}00, d = 0.000\text{E+}00 \quad [189]$$

Підставляючи значення коефіцієнтів, наприклад, визначені для матеріалу FluxSan<sup>TM</sup>, у (20), отримуємо:

$$\mu_r(H) = \frac{\mu_i}{(1 + 1.949E^{-05}H^{2.099})}. \quad (21)$$

Вочевидь, коефіцієнти  $r$  у (13) і  $c$  у (19) мають однакові значення і фізичний сенс. Оскільки  $H$  у (13) має розмірність в А/м, а в (19)–(21) — в Ерстедах, коефіцієнти  $b$ ,  $c$  в (20) і  $q$  у (13) пов’язані таким співвідношенням:

$$b = \left( \frac{1000}{4\pi q} \right)^c.$$

### Приклад розрахунку дроселя DC-DC перетворювача

Розглянемо розрахунок накопичувального дроселя, що використовується у двонаправленому DC/DC-перетворювачі. Конфігурацію схеми наведено на рисунку 45, епюри струму в дроселі — на рисунку 46, параметри перетворювача — у таблиці 12.

У підвищувальному режимі амплітуда пульсацій струму становить  $I_{LPP}$  = 3 А за постійної складової  $I_{Love}$  = 8 А. Для забезпечення заданої амплітуди індуктивність дроселя має становити:

$$L_{self} = \frac{V_i}{I_{LPP}} DT_s, \quad (22)$$

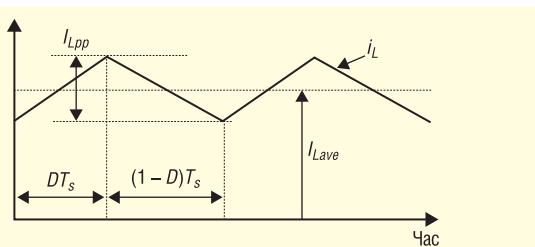


Рис. 46. Епюра струму в обмотці дроселя [194]

Таблиця 12. Параметри двонаправленого DC/DC-перетворювача	
Параметр	Значення
Вхідна напруга $V_i$ , В	75
Вихідна напруга $V_o$ , В	150
Коефіцієнт заповнення $D$	0.5
Вихідна потужність $P_o$ , Вт	675
Частота перемикання $f_{sw}$ , кГц	40

де  $D$  — коефіцієнт заповнення,  $T_s$  — період частоти перемикання. Підставляючи в (22) дані з таблиці 12, отримуємо  $L_{self} = 300$  мкГн.

Визначити перевагу гібридного осердя допоможе порівняння параметрів дроселів, виготовлених на різних поєднаннях матеріалів вихідних осердя:

- Дросель 1. Осердя A + Осердя A FS-106060-2 + FS-106060-2
- Дросель 2. Осердя A + Осердя B FS-106060-2 + MS-106060-2
- Дросель 3. Осердя B + Осердя B MS-106060-2 + MS-106060-2

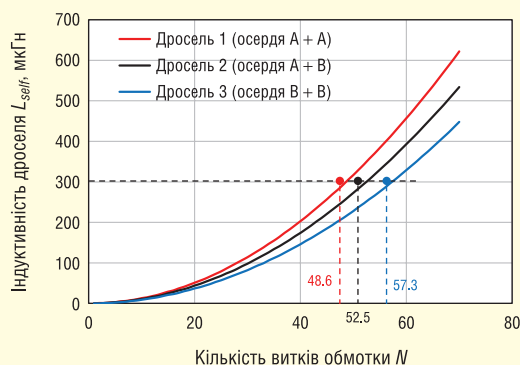
### Порівняльний аналіз параметрів дроселів

Кількість витків, необхідних для забезпечення  $L_{self} \geq 300$  мкГн, може бути визначена за допомогою (18) і (20). На рисунку 47 показана залежність  $L_{self}$  трьох варіантів дроселів від кількості витків обмотки  $N$  за постійної складової струму  $I_{Love} = 8$  А.

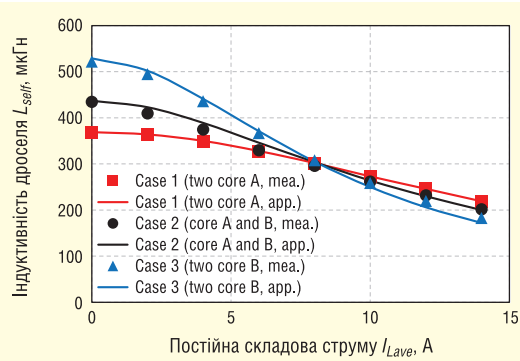
Осердя Дроселя 1 (A + A) має найбільшу індукцію насичення, тому для отримання 300 мкГн, згідно з розрахунком, достатньо лише 48.6 витків. Комбінації осердя Дроселя 2 (A + B) і Дроселя 3 (B + B) потребують 52.5 і 57.3 витків. Округляючи до цілого числа, отримуємо  $N = 49$ ,  $N = 53$  і  $N = 58$  відповідно.

На рисунку 48 наведено залежність індуктивності дроселів від постійної складової струму в обмотці.

Суцільні лінії на рисунку 48 утворені апроксимацією розрахованих значень, тоді як емпірично отримані значення позначені фігурами: квадрат, коло та трикутник. Вочевидь, що за  $I_{Love} < 8$  А пульсації струму  $I_{LPP}$  в обмотці Дроселя 2 будуть меншими, ніж у Дроселя 1, через вищу індуктивність



**Рис. 47.** Залежність індуктивності від числа витків обмотки за постійної складової струму 8 А [182]

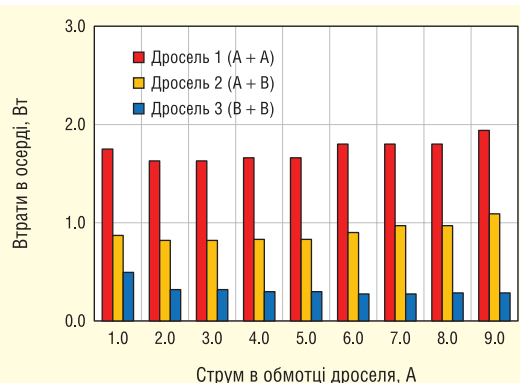


**Рис. 48.** Залежність індуктивності дроселя від постійної складової струму [182]

Дроселя 2. За струму  $I_{Lave} > 8$  А втрати в обмотці Дроселя 2 будуть меншими, ніж у Дроселя 3, завдяки меншій кількості витків. Таким чином, Дросель 2 є найбільш збалансованим у широкому діапазоні струмів навантаження.

Втрати в дроселі складаються з втрат в осерді та втрат в обмотці, які, зі свого боку, складаються з втрат за постійним струмом і втрат за змінним струмом. Для виключення впливу проникності осердя, опір обмотки змінному струму вимірюється на немагнітному осерді, водночас враховуються тільки непарні гармоніки з 1-ї до 5-ї. Сума сигналів 1-ї, 3-ї та 5-ї гармонік дає сигнал, близький за формою до трикутного. Втрати в обмотці визначаються за формулою:

$$P_{cu} = R_{dc} I_{dc}^2 + \sum_{n=1}^5 R_{acn} I_{acn}^2, \quad (23)$$



**Рис. 49.** Залежність втрат в осердях від струму в обмотці

**Таблиця 13. Параметри обмоток дроселів**

Параметр	Дросель 1	Дросель 2	Дросель 3
Кількість витків обмотки $N$	49	53	58
Діаметр дроту $\varnothing$ , мм	1.0	1.0	1.0
Опір постійному струму $R_{dc}$ , мОм	72	78	90
Опір змінному струму $R_{ac1}$ ( $n=1$ ), мОм	223	267	340
Опір змінному струму $R_{ac3}$ ( $n=3$ ), мОм	442	531	679
Опір змінному струму $R_{ac5}$ ( $n=5$ ), мОм	587	705	897

де  $R_{dc}$  — опір постійному струму,  $R_{acn}$  — опір змінному струму на кожній гармоніці,  $I_{dc}$  — постійний струм,  $I_{acn}$  струм кожної з гармонік. Виміряні значення опорів для всіх трьох зразків наведено в таблиці 13. Оскільки в розглянутому прикладі коефіцієнт заповнення дорівнює 0.5, у струмі присутні тільки непарні гармоніки, відповідно, 2-а та 4-та гармоніки не враховуються.

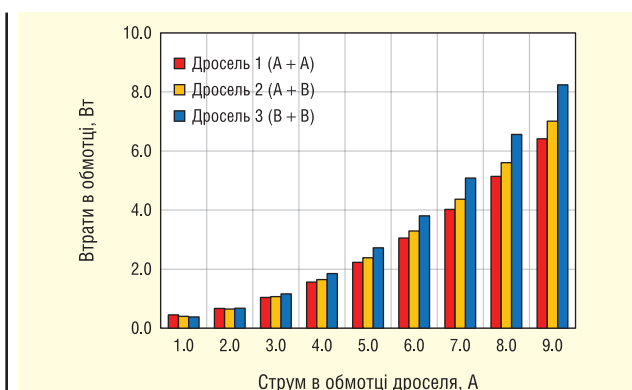
Втрати в осердях А і В, зокрема за наявності підмагнічування, можуть бути визначені за допомогою рисунку 38 і модернізованих рівнянь Штейнмеца [186–187]. Оскільки гіbridний варіант (Дросель 2) складається з двох осердь із різними характеристиками, втрати кожного з них визначаються окремо. Для гіbridного осердя (рис. 39) втрати обчислюються за формулою:

$$P_{core} = P_{coreA} V_{coreA} + P_{coreB} V_{coreB}, \quad (24)$$

де  $P_{coreA}$ ,  $P_{coreB}$  — питомі втрати в осердях А і В,  $mW/cm^3$ ,  $V_{coreA}$  і  $V_{coreB}$  — об'єми осердь А і В,  $cm^3$ .

На рисунках 49, 50 наведено значення складових втрат Дроселів 1, 2 і 3. Найбільші втрати має Дросель 1, осердя якого складається з двох Fe-Si осердь. Зі збільшенням постійної складової струму  $I_{Lave}$  ці втрати незначно зростають. Дросель 3, виготовлений на осерді з двох сендастових кілець, має мінімальні втрати, які незначно знижуються зі зростанням  $I_{Lave}$ . Однак, втрати в обмотці Дроселя 3 є найвищими, що знижує ККД перетворювача. З іншого боку, осердя Дроселя 2, що складається з Fe-Si та Fe-Si-Al кілець, забезпечує найбільш збалансовані втрати. За слабких струмів, низькі втрати в осерді В забезпечують незначні втрати гіbridного осердя. При великому навантаженні висока індукція насичення і DCB-характеристика осердя А сприяють зменшенню втрат в обмотці. Таким чином, гіbridне осердя забезпечує найкращі параметри дроселя під час роботи в широкому діапазоні значень коефіцієнта навантаження.

Виміряний розмах пульсацій  $I_{lpp}$  в обмотках Дроселів 1, 2 і 3 становив 2.6, 2.3 і 2.0 А за слабкого навантажен-



**Рис. 50.** Втрати в обмотці дроселів залежно від струму

**Таблиця 14. Розрахункові параметри дроселів**

$I_{Lave}$	Параметр	Дросель 1	Дросель 2	Дросель 3
2.0 A	Індуктивність $L_{self}$ , мкГн	364	423	495
	Розмах пульсацій $I_{pp}$ , A	2.6	2.2	1.9
8.0 A	Індуктивність $L_{self}$ , мкГн	302	304	305
	Розмах пульсацій $I_{pp}$ , A	3.0	3.0	3.0

ня ( $I_{Lave} = 2.0$  A) і 3.0, 3.1 і 3.1 A за сильного навантаження ( $I_{Lave} = 8.0$  A). Емпіричні значення майже збігаються з розрахунками, наведеними в таблиці 14.

### Ефективність перетворювача

Для визначення впливу параметрів дроселя на ККД перетворювача досліджувані зразки Дроселів 1, 2 і 3 були протестовані в схемі двонаправленого перетворювача, зображеній на рисунку 43. Вимірюні залежності ККД від потужності навантаження в діапазоні 75...675 Вт подано на рисунку 51. Зміну ККД у діапазоні 400...675 Вт відображенено на рисунку 52.

Як видно з рисунку 51, ефективність перетворювача з Дроселем 1 різко знижується за малих навантажень, що пояснюється високими втратами в осердях з Fe-Si. Зі збільшенням струму втрати в обмотці зростають, тому за високих навантажень дросель із меншим числом витків забезпечує вищий ККД. З цієї причини відносна зміна ефективності перетворювача з Дроселем 1 під час збільшення навантаження виявилася найменшою (рис. 52).

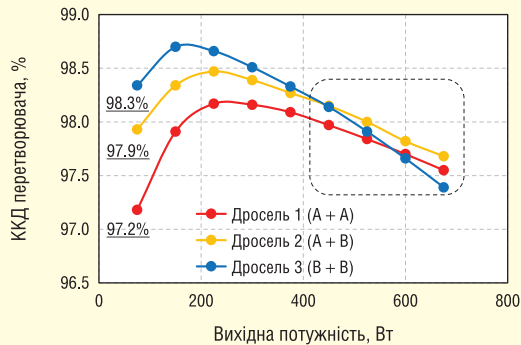
При використанні Дроселя 3 найбільший ККД відзначається за невеликих навантажень через мінімальні сумарні втрати сендастових осердь і невеликий розмах індукції  $\Delta B$ . Застосування таких дроселів доцільне тоді, коли перетворювач повинен мати максимальну ефективність за коефіцієнтів навантаження <50%. Однак ККД перетворювача з дроселем 3 швидко знижується за великих навантажень через втрати в обмотці, що різко зростають.

Дросель 2 на гібридному осерді забезпечує рівнішу залежність ККД від потужності навантаження, ніж Дросель 1 і Дросель 3 на однорідних осердях. За вихідної потужності  $P_o = 75$  Вт ККД перетворювача з Дроселем 1 і Дроселем 2 становить 97,2% і 97,9% відповідно. За максимальної потужності  $P_o = 675$  Вт значення ККД становлять 97.7% і 97.4% відповідно за використання Дроселя 2 і Дроселя 3. Таким чином, застосування Дроселя 2 з гібридним осердям дало змогу зменшити залежність ККД перетворювача від потужності навантаження і досягти найбільшої ефективності за максимальної потужності.

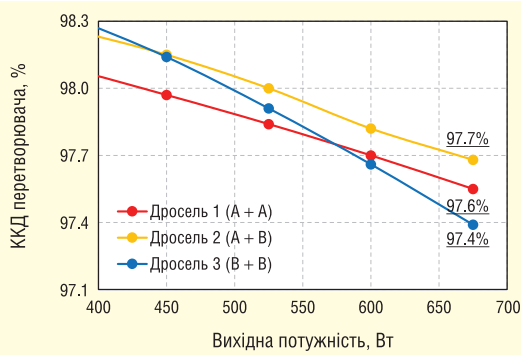
Наведений вище метод дозволяє спроектувати та виготовити дросель з оптимальними характеристиками, використовуючи різні поєднання матеріалів та/або значень проникності складових гібридного осердя.

### ЛІНІЙНІ ЧИ НЕЛІЙНІ?

Висока індукція насичення МПМ дає змогу значно зменшити габарити дроселя порівняно з еквівалентним за потужністю варіантом на феритовому осерді з дискретним зазором [195]. Нелійність характеристик дроселів на осердях з МПМ надає розробнику додаткові можливості, на відміну від так званих лінійних дроселів на осердях з дискретними зазорами. Наприклад, у пасивних коректорах коефіцієнта потужності (ККП), дроселі на осердях з МПМ запобігають



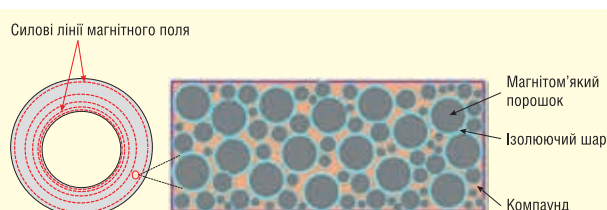
**Рис. 51. Ефективність перетворювача при потужності навантаження від 75 до 675 Вт [182]**



**Рис. 52. Ефективність перетворювача при потужності навантаження від 400 до 675 Вт [182]**

появі гармонійних спотворень у струмі, який споживає пристрій від мережі живлення. Як було показано раніше (CHIP NEWS, № 5 (230), 2024), нелійність індуктивності дроселя дає змогу зменшити амплітуду пульсацій струму під час слабких навантажень, розширяючи тим самим робочий діапазон перетворювача. У пристрії, описаному в [196], нелійність дроселя полегшує ефективне узгодження фотоелектричної батареї з навантаженням за різних рівнів освітленості.

Причина нелійної зміни проникності порошкових осердь залежно від напруженості поля полягає в наступному. Проникність більшості комерційних МПМ не перевищує 200; іншими словами, ці матеріали мають високий магнітний опір. Довжина магнітної лінії, що проходить уздовж зовнішнього радіуса, більша за довжину лінії, що проходить уздовж внутрішнього радіуса, тому магнітний опір поблизу зовнішнього радіуса однорідного осерда більший за опір поблизу внутрішнього радіуса (рис. 53). Магнітний потік, що створюється обмоткою, вибирає шлях із найменшим магнітним опором, тому напруженість поля поблизу внутрішнього радіуса завжди вища. Зі збільшенням струму в обмотці починається поступове насичення осердя в напрямку від внутрішнього радіуса до зовнішнього. Інакше кажучи, чим більша частина осердя,



**Рис. 53. Розподілення магнітного поля в осерді з МПМ [194]**

що опинилася в стані насичення, тим більший його магнітний опір. Значний вплив на характеристику насичення мають властивості й товщина шару діелектрика ([197–198], CHIP NEWS, № 2–3 (227–228), 2024).

Нерівномірний розподіл магнітного потоку в об'ємі осердя обмежує питому енергоємність дроселя. Гібридні осердя, виготовлені згідно з описаним вище методом, покращують деякі характеристики дроселя, однак це не усуває проблему нерівномірного розподілу магнітного потоку в об'ємі осердя. Один зі способів її розв'язання буде описано далі.

### Далі буде

**Більш детальну інформацію щодо застосування осердь із МПМ та їх придання можна отримати, звернувшись до компанії ТОВ «НВП АСТЕРА»:**

**61072, Україна, м. Харків,  
вул. Тобольська, 42, оф. 222,  
факс: (+38) 057-728-1808,  
тел.: (+38) 057-757-2859,  
(+38) 050-323-3763,  
(+38) 067-575-4440,  
(+38) 068-616-7777,  
e-mail: ferrite@ukr.net,  
www.ferrite.com.ua**

Література:

173. C. Wei, H. Jiannong and H. Tianding. Design considerations of inductor for 500kVA PV inverter based on Euro efficiency. in Proc. IEEE 5th International Symposium on Power Electronics for Distributed Generation Systems (PEDG), Galway, Ireland, pp. xx-xx, 2014.
174. Y. Iwafune, T. Kawai. Data analysis and estimation of the conversion efficiency of bidirectional EV chargers using home energy management systems data. *Smart Energy* 15 (2024) 100145.
175. H. N. Le and J. Itoh. Wide-load-range efficiency improvement for high-frequency SiC-based boost converter with hybrid discontinuous current mode. *IEEE Trans. on Power Electronics*, vol. 33, no. 2, pp. 1843–1854, 2018.
176. A. Syed, T. K. Sandipamu and F. T. K. Suan. High-efficiency neutral-point-clamped transformerless MOSFET inverter for photovoltaic applications. *IET Power Electronics*, vol. 11, no. 2, pp. 246–252, 2018.
177. A. Taylor, J. Lu, et al. Comparison of SiC MOSFET-based and GaN HEMT-based high-efficiency high-power-density 7.2 kW EV battery chargers. *IET Power Electronics*, vol. 11, no. 11, pp. 1849–1857, 2018.
178. J. Xu, Q. Wu and Y. Wang. Magnetising-current-assisted wide ZVS range push-pull DC/DC converter with reduced circulating energy. *IET Power Electronics*, vol. 11, no. 2, pp. 272–279, 2018.
179. M. S. Rylko, K. J. Hartnett, et al. Magnetic material selection for high power high-frequency inductors in DC-DC Converters. in Proc. Applied Power Electronics Conference and Exposition (APEC), Washington, DC, USA, pp. 2043–2049, 2009.
180. A. J. Hanson, J. A. Belk, et al. Measurement and performance factor comparisons of magnetic materials at high frequency. *IEEE Trans. on Power Electronics*, vol. 31, no. 11, pp. 7909–7925, 2016.
181. R. S. Yang, A. J. Hanson, et al. A low-loss inductor structure and design guidelines for high-frequency applicati-
- ons. *IEEE Trans. on Power Electronics*, vol. 34, no. 10, pp. 9993–10005, 2019.
182. Y. Ishikura, J. Imaoka, M. Noah, T. Aoki, K. Ito and M. Yamamoto. Magnetic Design Method for Multi-Material Inductor to Flatten Efficiency Curve of Power Converters Within Wide Load Ranges. vol. 56, no. 10, pp. 1–8, Oct. 2020, Art no. 8400208.
183. I. Sefa, N. Altin, S. Ozdemir, S. Balci, M. B. Bayram and H. Kelebek. Design and loss analysis of LCL filter inductors for two-level and three-level inverters. in 2017 International Conference on Applied Electronics (AE), 2017, pp. 1–5.
184. J. Imaoka, Y. Ishikura, et al. Magnetic design method for multi-material powder core inductor to improve efficiency of bidirectional DC-DC converter within wide load range. in Proc. 10th International Power Electronics Conference (ICPE-2019-ECEE Asia), Busan, Korea (South), pp. xx-xx, 2019.
185. C. P. Steinmetz. On the law of hysteresis. in Proc. IEEE, vol. 72, no. 2, pp. 197–221, Feb. 1984.
186. K. Venkatachalam, C. R. Sullivan, et al. Accurate prediction of ferrite core loss with nonsinusoidal waveforms using only Steinmetz parameters. in Proc. IEEE Workshop Computers in Power Electronics, IEEE Workshop on, Mayaguez, Puerto Rico, pp. 36–41, 2002.
187. J. Muhlethaler, J. Biela, et al. Core losses under the DC bias condition based on Steinmetz parameters. *IEEE Trans. on Power Electronics*, vol. 27, no. 2, pp. 953–963, 2012.
188. <https://www.ferrite.com.ua/doc/CN/fs-060-datasheet.pdf>
189. <https://www.ferrite.com.ua/doc/CN/ms-060-datasheet.pdf>
190. J. R. Brauer. Simple equations for the magnetization and reluctivity curves of steel. *IEEE Trans. Magn.*, Vol. 11, No. 1, pp. 81, Jan 1975.
191. J. Marcos Alonso, G. Martinez, M. Perdigao, M. Rafael Cosetin, and Ricardo N. do Prado. A Systematic Approach to Modeling Complex Magnetic Devices Using SPICE: Application to Variable Inductors. *IEEE Trans. on Power Electron.*, Vol. 31, No. 11 pp. 7735–7746, Nov. 2016.
192. Q. Li, and F. C. Lee. High Inductance Density Low-Profile Inductor Structure for Integrated Point-of-Load Converter. Proc. IEEE Applied Power Electronics Conference and Exposition (APEC), Feb. 2009, pp. 1011–1017.
193. E. Cardelli, E. Della Torre and E. Pinzaglia. Identifying the Preisach Function for Soft Magnetic Materials. *IEEE Trans. on Magnetics*, Vol. 39, No. 3, pp. 1341–1334, May. 2003.
194. J. Imaoka, K. Okamoto, et al. Modeling, magnetic design, simulation methods, and experimental evaluation of various powder cores used in power converters considering their DC superimposition characteristics. *IEEE Trans. on Power Electronics*, vol. 34, no. 9, pp. 9033–9051, 2019.
195. W. H. Wölflé and W. G. Hurley. Quasi-Active Power Factor Correction With a Variable Inductive Filter: Theory, Design and Practice. *IEEE Trans. on Power Electron.*, Vol. 18, No. 1, pp. 248–255, Jan. 2018.
196. L. Zhang, W. G. Hurley, and W. Hugo Wolfle. A New Approach to Achieve Maximum Power Point Tracking for PV System With a Variable Inductor. *IEEE Trans. on Power Electron.*, Vol. 26, No. 4, pp. 1031–1037, Jan. 2018.
197. K. Kabeya, S. Yanase, Y. Okazaki and K. Yun. Magnetic Property of Iron-Dust Cores With Mixture of Ferromagnetic Ferrite Powder and Alumina Powder. *IEEE Trans. on Mag.*, Vol. 50, No. 4, Article Sequence Number: 2800504, Apr. 2014.
198. K. Shiroki, K. Kawano, H. Matsuura and H. Kishi. New Type Metal Composite Material for SMD Power Inductor. *Journal of Jpn. Soc. Powder and Powder Metallurgy*, Vol. 61, No. S1. pp. S242–S244, May. 2014.

# Осердя, фурнітура, моточні вироби вимірювальні трансформатори струму



**ТОВ «НВП АСТЕРА»**

e-mail: ferrite@ukr.net  
www.ferrite.com.ua

61072, Україна, м. Харків, вул. Тобольська, 42, оф. 222,

факс: (+38) 057-728-1808,  
тел.: (+38) 057-757-2859, (+38) 050-323-3763,  
(+38) 067-575-4440, (+38) 068-616-7777

# Вимірювання сили струму навантаження за допомогою ІС цифрового керування електротривленням по шині PMBus

## Частина 2

**Міхаель Пітерс (Michael Peters)**

**У другій частині статті описуються методи вимірювання сили струму в лініях живлення під високою або від'ємною напругою та налаштування регістрів конфігурації для методу вимірювання через вивід IMON. У цій публікації розглянуто питання точності вимірювання струму та надано вказівки щодо програмування ІС за допомогою ПЗ LTpowerPlay. Перша частина циклу була присвячена загальним питанням вимірювання струму, зокрема різним методам і топологіям схем.**

### ПЕРЕХОДИМО МЕЖІ

Для ІС сімейства LTC297x задано гранично допустимі рівні напруги, що подається на вимірювальні входи — як  $V_{SENSE}$ , так і  $I_{SENSE}$ . Більша частина подальшого обговорення стосується майже всіх ІС сімейства LTC297x, для яких гранично допустима напруга на вимірювальних входах становить 6 В, за винятком мікросхеми LTC2971, у якої ця напруга становить  $\pm 60$  В. Для ліній живлення під напругою вище 6 В або під від'ємною напругою необхідно придумати особливий метод вимірювання падіння напруги на опорі обмотки дроселя або вимірювальному резисторі.

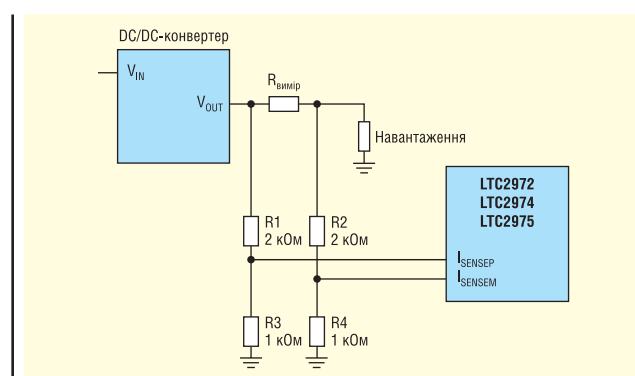
### ЗАСТОСУВАННЯ РЕЗИСТИВНОГО ДІЛЬНИКА НАПРУГИ

У разі напруг живлення, що перевищують гранично допустиму для входів  $I_{SENSE}$ , може виникнути ідея застосувати два дільники напруги. Це здається розумною ідеєю до того моменту, поки ви не обчислите похибку, яку дільники вносять у сигнал. До кожного полюса струмовимірювального елемента під'єднано дільник напруги. Вихідний сигнал береться з обох дільників і подається на вимірювальні виводи ІС LTC297x. Якщо відношення опорів резисторів верхнього і нижнього плеча у двох дільників відповідають один одному, то вдається знизити високовольтну синфазну складову, без

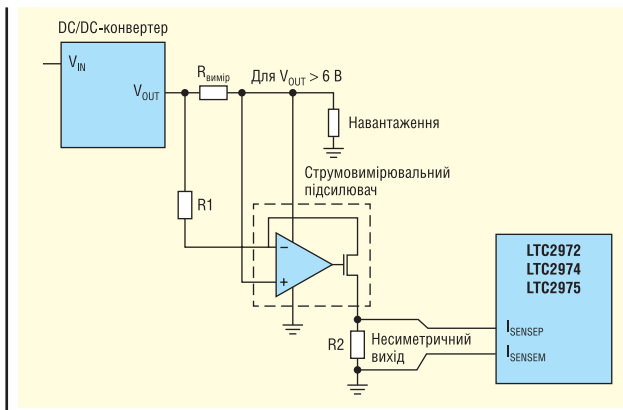
впливу на корисний сигнал. Напруга лінії живлення знижена настільки, щоб на входах ІС напруга залишалася в допустимих межах, а між виходами дільників створювалася пропорційна струму навантаження напруга, яка може бути виміряна мікросхемою. Однак необхідний допуск резисторів робить цей підхід непрактичним. Ба більше, що сильно знижується синфазна напруга, то вища похибка. Наприклад, якщо опір тільки одного з резисторів має відхилення 0.1%, результатом стане похибка від постійного зміщення нуля. Внесок похибки коефіцієнта передачі схеми (*Gain Error*) дуже незначний, і домінує похибка зміщення нуля (*Offset Error*).

Припустимо, потрібно виміряти струм на виході джерела з напругою 12 В. Джерело розраховане на струм 2 А, а в колі навантаження встановлено шунт 10 мОм ( $R_{вимір}$ ). На шунті буде розвиватися сигнал у 20 мВ за номінального навантаження. Відповідним варіантом стане схема з дільниками на 3, а номінали резисторів верхніх і нижніх плеч обрано рівними 2 і 1 кОм відповідно. Тим самим встановлюється синфазна напруга на виводах  $I_{SENSE}$ , що дорівнює 4 В. Застосовуючи резистори з відносно низькими опорами, домагаються низького внутрішнього опору джерела сигналу, що еквівалентний цій схемі за теоремою Тевеніна (ще відомою, як теорема про еквівалентний генератор напруги) і «видно» входу ІС, для зменшення похибок, викликаних струмами витоку з вимірювальних входів ІС (рис. 1).

Припустимо, що схема працює в режимі холостого ходу, а всі резистори ідеальні. Напруга на середній точці кожного діль-



**Рис. 1. Резистивний дільник напруги для вимірювання струму вносить велику похибку**



**Рис. 2. Струмовимірювальний підсилювач виключає синфазну напругу на шунті**

ника буде 4 В, а різниця цих напруг  $\Delta V$  дорівнює нулю. Отже, значення READ\_IOUT, що зчитується з IC, становитиме 0 А. Однак якщо відхилення опору 2 кОм одного з плечей дорівнює  $+0.1\%$  (тобто фактичний опір 2002 Ом), то  $\Delta V$  складе 2.665 мВ. Але врахуйте, що повна шкала сигналу, приведена до входу  $I_{SENSE}$ , становить  $20/3 = 6.667$  мВ. Відлік у 2.665 мВ відповідає струму навантаження 0.4 А. Це 40% від очікуваного значення повної шкали! Як згадувалося раніше, внесена похибка є похибкою зміщення нуля, а не коефіцієнта передачі. Проте це велика похибка. Цей метод отримання сигналу занадто чутливий до допуску резисторів, і ми повинні шукати інше рішення.

### СТРУМОВИМІРЮВАЛЬНИЙ ПІДСИЛЮВАЧ, УВІМКНЕНІЙ МІЖ ДЖ і НАВАНТАЖЕННЯМ

Оскільки гранично допустима напруга на виводах  $I_{SENSE}$  для IC LTC2972/LTC2974/LTC2975 дорівнює 6 В, розв'язати проблему можна застосуванням спеціального струмовимірювального підсилювача, ввімкненого між джерелом живлення та навантаженням, щоб унеможливити синфазну напругу. Підсилювачі LT6100/LTC6101 користуються популярністю завдяки фіксованому або такому, що обирається користувачем, коефіцієнту підсилення. Точність набагато вища, ніж у разі застосування резистивних дільників (рис. 2).

Наведемо відповідні рівняння та умови:

$$V_{\text{вих підс}} = I_{\text{нов}} \times R_{\text{вимір}} (R2/R1).$$

Задаємо параметр  $IOUT\_CAL\_GAIN = R_{\text{вимір}} \times (R2/R1)$ , тоді допустима напруга  $V_{\text{ISENSEP}} < \pm 170$  мВ.

### ВИМІРЮВАННЯ СИЛИ СТРУМУ У ВИСОКОВОЛЬТНИХ ЛІНІЯХ ЖИВЛЕННЯ ЗА ДОПОМОГОЮ LTC2971

Для високовольтних ліній слід використовувати LTC2971 (2-канальна IC цифрового керування живленням) для вимірювання струму та напруг до 60 В (табл. 1). Є чотири різні типономінали мікросхеми LTC2971. IC LTC2971-1 підтримує вимірювання напруги 60 В в одному каналі та -60 В в іншому каналі. IC LTC2971-2 підтримує вимірювання -60 В в обох каналах, а IC LTC2971-3 підтримує 60 В в одному каналі та 1.8 В в іншому. Мікросхема LTC2971 підтримує вимірювання напруги 60 В в обох каналах. Пряме під'єднання шунта до виводів  $IOUT\_SNS$  дає змогу уникнути додаткових струмовимірю-

**Таблиця 1. Модифікації LTC2971 – основні відмінності**

Модифікація	Вимірювання напруги (канал 1), В	Вимірювання напруги (канал 2), В
LTC2971	0–60	
LTC2971-1	0–60	від -60 до 0
LTC2971-2		від -60 до 0
LTC2971-3	0–60	0–1.8

вальних підсилювачів, що підвищило б вартість і займану на платі площину, а також внесло б похибку. Похибка вимірювання струму за допомогою LTC2971 — 0.6% відліку READ\_IOUT.

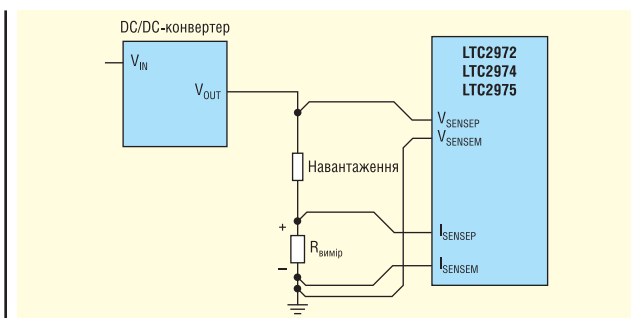
### ВИМІРЮВАННЯ СТРУМУ ЗА ДОПОМОГОЮ «ЗАЗЕМЛЕННОГО» ШУНТА

У деяких випадках може підійти метод вимірювання струму за допомогою «заземленого» шунта (*Low-Side Sensing*; один із полюсів шунта «заземлений»). Вимірювальний резистор (шунт) можна розмістити між «землею» і полюсом навантаження, а виводи  $I_{\text{SENSE}}$  під'єднати до полюса резистора. Завдяки цьому синфазна напруга на виводах  $I_{\text{SENSE}}$  майже нульова. Метод може бути корисним у тому разі, якщо напруга живлення навантаження вища за 6 В. Це хороше рішення для вимірювання струму практично в будь-яких лініях живлення, в тому числі високовольтних. Вибір опору шунта  $R_{\text{вимір}}$  — компроміс між отриманням досить великого сигналу для хорошої точності та досить малими втратами, коли немає відчутного падіння напруги на шунті, що знижує вихідну напругу (на навантаженні), тобто погіршує стабілізацію. На рисунку 3 показано, як «заземлений» шунт з'єднано з входом  $I_{\text{SENSE}}$  підключеннем Кельвіна. «Підключення Кельвіна» — термін, що застосовується до таких з'єднань з вимірювальним елементом, які не враховують сторонні падіння напруги.

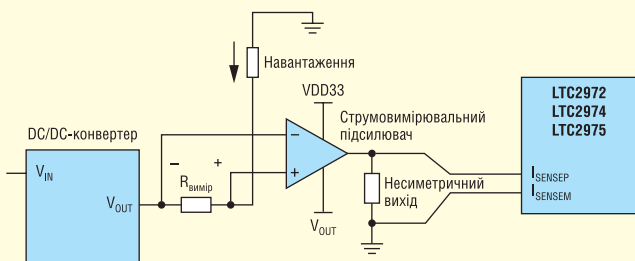
Зверніть увагу, як проходить зворотний шлях струму навантаження через вимірювальний резистор. Багато плат з високою щільністю монтажу мають безліч шарів із заливою «землі», що дає змогу зворотному струму протікати кількома шляхами. Шунт за такого методу надає можливість спрямувати зворотний струм через нього, завдяки чому виводи  $I_{\text{SENSE}}$  мікросхеми керування живленням можна з'єднати з шунтом підключеним Кельвіна.

### ВИМІРЮВАННЯ СТРУМУ В ВІД'ЄМНІЙ ЛІНІЇ ЖИВЛЕННЯ

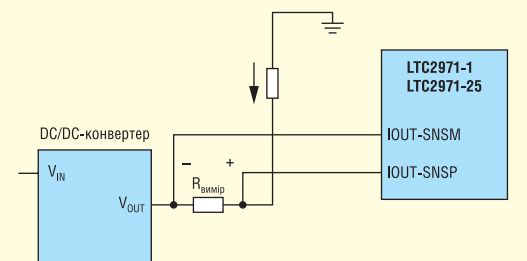
Існує кілька способів вимірювання струму на вихіді джерела живлення з від'ємною напругою. Найпростіше рі-



**Рис. 3. Метод «заземленого» шунта розв'язує задачу вимірювання струму у високовольтному навантаженні, але має і недоліки**



**Рис. 4.** Вимірювання струму (у від'ємній лінії) за допомогою струмовимірювального підсилювача (LTC6105)



**Рис. 5.** Вимірювання струму в від'ємній лінії живлення без допоміжних компонентів

шення — застосування спеціального струмовимірювального підсилювача сигналу із «заземленого» шунта, такого як LTC6105. На рисунку 4 показано такий підсилювач, входи якого під'єднано до шунта, а сам він отримує живлення від виходу VDD33 IC і власне від'ємної лінії живлення. Сигнал з несиметричного виходу підсилювача можна подати на будь-який вимірювальний вхід ( $I_{\text{SENSE}}$  або  $V_{\text{SENSE}}$ ) IC керування живленням.

Якщо струмовимірювальний підсилювач під'єднано до входу  $I_{\text{SENSE}}$ , то задаємо параметр (МОм):

$$\text{IOUT\_CAL\_GAIN} = R_{\text{вимір}} \times K_{\text{підс}}$$

де  $K_{\text{підс}}$  — коефіцієнт підсилення струмовимірювального підсилювача. Наприклад, якщо опір шунта 10 мОм, а коефіцієнт підсилення  $K_{\text{підс}} = 10$ , то задаємо параметр  $\text{IOUT\_CAL\_GAIN} = 100$  мОм.

Використання IC LTC2971-1 або LTC2971-2 є найпростішим рішенням для вимірювання сили струму в від'ємній лінії живлення (рис. 5). Це двоканальні IC керування живленням, а у LTC2971-2 обидва канали від самого початку можуть вимірювати струм у лінії живлення під напругою до -60 В. IC LTC2971-1 здатна вимірювати струм у від'ємній лінії живлення тільки в каналі 1 (рис. 6).

**Примітка.** У IC LTC2971 результат  $\text{READ\_VOUT}$  подано у форматі L16 без знака. Для від'ємних ліній живлення цей результат відображається в графічному інтерфейсі ПЗ зі зворотним знаком.

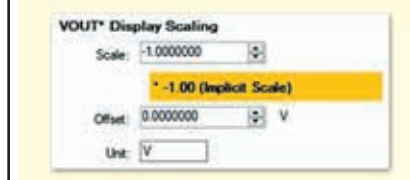
### ПРИКЛАДИ ВИМІРЮВАННЯ СИЛИ СТРУМУ НАВАНТАЖЕННЯ ЧЕРЕЗ ВИХІД $I_{\text{MON}}$

Струмовий вихід  $I_{\text{MON}}$  дає змогу обирати опір навісного резистора, який задає коефіцієнт передавання (відношення напруги сигналу  $I_{\text{MON}}$  до  $I_{\text{нав}}$ ) для вимірювання струму навантаження та напруги повної шкали сигналу. IC керування живленням вимірює різницеву напругу між виводами  $I_{\text{SENSE}}$  і  $I_{\text{SENSEM}}$ , а через  $\text{IOUT\_CAL\_GAIN}$  потрібно задати загальний коефіцієнт передавання (відношення  $\text{READ\_IOUT}$  до  $I_{\text{нав}}$ ), що схоже з принципом вимірювання за допомогою шунта.

LDO-стабілізатор LT3081 має вихід  $I_{\text{MON}}$ , його можна розглянути як приклад (рис. 7). У LT3081 сила струму з виходу  $I_{\text{MON}}$  — це сила струму навантаження, поділена на 5000. Припустимо, до нього під'єднано навісний резистор 2 кОм. Напруга на виводі  $I_{\text{MON}}$ , що відповідає 1 А струму навантаження, становить:

$$V_{\text{IMON}} = (I_{\text{нав}} / 5000) \times 2000 \Omega = 0.4 \text{ В}/\text{A}$$

Якщо струм навантаження дорівнює 2 А, напруга на виводі  $I_{\text{MON}}$  становитиме 0.8 В. З цього рівняння ми бачимо, що напругу на виводі  $I_{\text{MON}}$  можна зробити більш «чутливу» до струму навантаження (тобто підвищити коефіцієнт передачі схеми), просто збільшивши опір навісного резистора. Якщо ми це зробимо, то напруга повної шкали (за нормального навантаження) цілком може перевищувати 1 В. Вхід  $I_{\text{SENSE}}$  IC керуван-



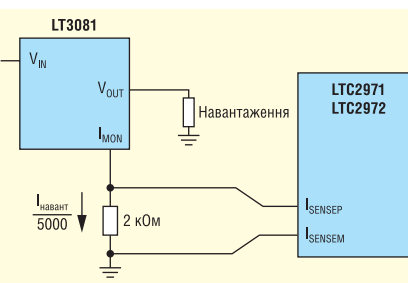
**Рис. 6.** Вкладка налаштування в LTpowerPlay для 1-го каналу LTC2971-1 і обох каналів LTC2971-2

ня живленням потрібно узгодити з таким великим розмахом сигналу. Для IC LTC2974/LTC2975 цей розмах перевершує допустиму диференціальну вхідну напругу, обмежену  $\pm 170$  мВ. На щастя, мікросхеми LTC2971 і LTC2972 мають біт конфігурації  $\text{imon\_sense}$  (рис. 8), який переводить внутрішні кола вимірювання струму IC у режим, що дає змогу вимірювати несиметричну напругу сигналу до 6 В.

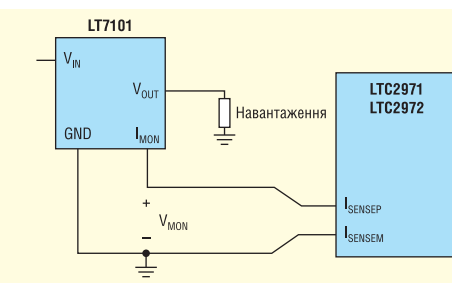
Параметри конфігурації потрібно задати відповідно до обраної нами апаратної частини. У цьому прикладі параметр  $\text{IOUT\_CAL\_GAIN}$  має дорівнювати 400 мОм (0.4 В/А). Решту параметрів, що стосуються вимірювання струму, можна залишити за замовчу-

<input type="checkbox"/> MFR_CONFIG_LTC2972 (0x0180) Expand for details...	<input type="checkbox"/> track_en	<input type="checkbox"/> 0x0 (Channel is not a slave)
<input type="checkbox"/> cascade_on	<input type="checkbox"/> 0x0 (This channel's control)	<input type="checkbox"/> 0x0 (CONTROL0 is selected)
<input type="checkbox"/> controln_sel	<input type="checkbox"/> 0x1 (CONTROL1 is selected)	<input type="checkbox"/> 0x1 (CONTROL0 is selected)
<input type="checkbox"/> fast_servo_off	<input type="checkbox"/> 0x0 (fast-servo enabled)	<input type="checkbox"/> 0x0 (fast-servo enabled)
<input type="checkbox"/> supervisor_reso...	<input type="checkbox"/> 0x0 (Supervisor is HI-RES)	<input type="checkbox"/> 0x0 (Supervisor is HI-RES)
<input type="checkbox"/> reserved	<input type="checkbox"/> 0x0 (Reserved)	<input checked="" type="checkbox"/> 0x1 (Reserved)
<input checked="" type="checkbox"/> imon_sense	<input checked="" type="checkbox"/> 0x1 (imon buffered current)	<input checked="" type="checkbox"/> 0x1 (imon buffered current)
<input type="checkbox"/> enable_low_vmon	<input type="checkbox"/> 0x0 (enable low vmon)	<input type="checkbox"/> 0x0 (enable low vmon)

**Рис. 8.** Біт  $\text{imon\_sense}$  у реєстрі MFR\_CONFIG



**Рис. 7.** Використання виходу  $I_{\text{MON}}$  стабілізатора LT3081



**Рис. 9.** Використання виходу  $I_{\text{MON}}$  стабілізатора LT7101

ванням, якщо це не температурний коефіцієнт або теплова постійна часу, які можуть вплинути на значення READ\_IOUT. Значення за замовчуванням для MFR\_IOUT\_CAL\_GAIN\_TC, MFR\_IOUT\_CAL\_GAIN\_TAU\_INV і MFR\_IOUT\_CAL\_GAIN\_THETA дорівнюють нулю.

Вихід  $I_{MON}$  понижувального стабілізатора LT7101 є прикладом виходу за напругою. На виході також присутня напруга зміщення. Тобто в режимі холостого ходу стабілізатора напруга на виході  $I_{MON}$  перебуває на рівні 0.4 В. Спочатку це може здатися проблематичним, оскільки допустима межа диференціальної напруги на вході IC керування живленням становить  $\pm 170$  мВ. Однак IC LTC2972/LTC2971 можуть працювати з виходом  $I_{MON}$  такого типу та допускають набагато більший диференційний сигнал між своїми виводами  $I_{SENSE}$ . Розглянемо це на реальному прикладі (рис. 9).

Мікросхеми LTC2971/LTC2972 можна під'єднати до LT7101, з'єднавши їхній вивід  $I_{SENSE}$  із виходом  $I_{MON}$ , а вивід  $I_{SENSE}$  із «землею». Значення параметрів розраховують таким чином:

- Починаємо з рівняння для значення READ\_IOUT:

$$\text{READ\_IOUT} =$$

$$= \frac{V_{IOUT\_SNSP} - V_{IOUT\_SNSM}}{IOUT\_CAL\_GAIN \times T_{CORRECTION}} + IOUT\_CAL\_OFFSET.$$

- Виразимо з цього параметр IOUT\_CAL\_GAIN, вважаючи  $T_{CORRECTION} = 1$ :

$$IOUT\_CAL\_GAIN = \frac{V_{IOUT\_SNSP} - V_{IOUT\_SNSM}}{\text{READ\_IOUT} - IOUT\_CAL\_OFFSET}.$$

- У технічному описі стабілізатора LT7101, що можна знайти на сайті, виробника, наводяться рівні сигналу  $I_{MON}$  для струмів навантаження 1 і 0.25 A, це 1.21 і 0.603 В відповідно. Отже, IOUT\_CAL\_GAIN становить:

$$IOUT\_CAL\_GAIN = (1.21 - 0.603)/(1 - 0.25) = 810 \text{ мОм.}$$

- Значення IOUT\_CAL\_OFFSET становить:

$$IOUT\_CAL\_OFFSET = (0.603/0.81) - 0.25 = -0.494 \text{ A.}$$

Параметр IOUT\_CAL\_OFFSET від'ємний, тому що нам потрібно зменшити результат вимірювання READ\_IOUT. Ви можете виявити, що обчислені значення параметрів необхідно змінити для кращої збіжності вимірюваної сили струму навантаження зі значенням READ\_IOUT. Звідси випливає необхідність у кроці калібрування. За відомого струму навантаження значення READ\_IOUT порівнюється з очікуваним, потім у реєстри записується скориговане значення IOUT\_CAL\_GAIN і/або IOUT\_CAL\_OFFSET.

Загалом точність сигналу  $I_{MON}$  у багатьох стабілізаторів пріора, ніж допуск вимірювальних резисторів, але калібрування самих стабілізаторів значно покращує точність вимірювання.

## Далі буде

### Література:

1. Пітерс М. Вимірювання сили струму навантаження за допомогою IC цифрового керування електроживленням по шині PMBus. Частина 1 // CHIP NEWS. 2024. № 8 (223). CN

**Філаменти для 3D-друку**

<https://altwaylab.com/>

# Схеми для усунення брязкоту контактів механічних перемикачів

**Александр Шайє (Alexandre Chaillet), Евелін Хуанг (Evelyn Huang)**

**Попри широке поширення напівпровідникової комутаторів, механічні перемикачі, як і раніше, використовують в багатьох випадках. Як би не вдосконалювалася їхня технологія, від брязкоту контактів позбутися не вдається. У статті розглядаються способи звести ці проблеми до мінімуму за допомогою зовнішніх компонентів.**

## ВСТУП

Компанія Würth Elektronik пропонує широкий асортимент механічних перемикачів (рис. 1). Ці вироби застосовуються в багатьох випадках для розмикання та замикання електронних кіл.

Функція переважно механічна, але багато перемикачів працюють як аналогово-цифровий інтерфейс у сучасних електронних схемах із чітко визначеними рівнями напруги для логічного нуля та логічної одиниці. Будь-який розробник пристрою, де використовуються тактові або детекторні кнопки з електронною схемою, що швидко реагує, може поставити собі питання, чому вона функціонує некоректно. Причина може полягати в так званому брязкоті (вібрації) контактів. У статті розглянуто схему, що дає змогу розв'язати цю поширену проблему.

## БРЯЗКІТ КОНТАКТИВ

### Механізм перемикання

Зазвичай вважається, що контакт у перемикачі є надійним і спрацьовує миттєво (рис. 2). Однак на практиці все дещо інакше (рис. 3). У кожному положенні перемикача контакт між струмопровідними ділянками встановлюється або переривається за допомогою рухомих механічних елементів (рис. 4).

Зазвичай пружинні компоненти застосовують як засіб для переведення контакту з одного стану в інший у вигляді об

металевої пластини, або гвинтової пружини, яка має деяку масу, а отже, момент інерції. У той момент, коли ці невеликі компоненти приводяться в рух, вони з прискоренням переміщаються в потрібне положення. Після спрацьовування деякий час відбуваються багаторазові неконтрольовані замикання і розмикання контактів завдяки пружності пружини і деталей контактної системи; при цьому електричне коло розмикается і замикається, поки рух повністю не припиниться.

Оскільки коефіцієнт загасання великий, а момент інерції малій, тривалість цього ефекту зазвичай становить лише кілька мікросекунд. Силові кола від нього не страждають, чого не можна сказати про цифровий вхід. При зміні стану електронний сигнал має нестабільний або, точніше, невизначений статус, тоді як логічний IC потребує чіткий сигнал певного рівня. Мікроконтролер може пропустити стан порту, що змінився, якщо зчитує дані в невідповідний момент. Таким чином, потрібно забезпечити генерацію чіткого вихідного сигналу перемикача. Ми розглянемо

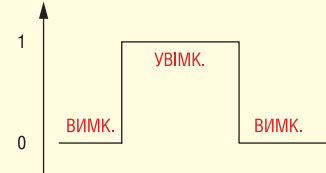


Рис. 2. Ідеалізований графік сигналу, що комутується

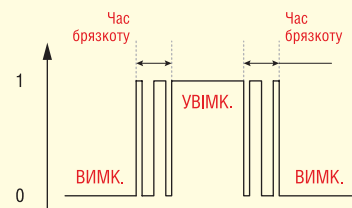
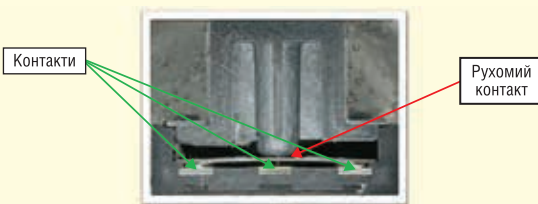


Рис. 3. Ідеалізований графік «реального» сигналу, що комутується



Механічна конструкція перемикача для електричних кіл між двома контактами. Рухомий контакт створює ефект брязкоту

Рис. 4. Конструкція тактового перемикача

Таблиця 1. Компоненти для перемикання та захисту від брязкуту		
Компоненти	Час брязкуту	
Тактовий перемикач		10 мс
Кнопковий перемикач		
Детектор		
Механічний енкодер		

схему, що дає змогу усунути його брязкіт, щоб розв'язати цю проблему.

### Компоненти, що використовуються

Час захисту від брязкуту вказано в паспорті виробу. Компанія Würth Elektronik визначає цей параметр як час між механічним перемиканням компонента і повним електричним перемиканням. У таблиці 1 перераховано компоненти, які використовуються для перемикання і захисту від брязкуту.

### СХЕМА УСУНЕННЯ БРЯЗКУТОУ

Ми додамо деякі компоненти для створення фільтра нижніх частот (ФНЧ), щоб оцінити його вплив на вихідний сигнал.

#### Додавання фільтра

Схема базового перемикача без компенсації брязкуту показана на рисунку 5. Типові значення резистора  $R_1$ :  $1^{-10}$  кОм;  $V_{CC} = 5$  В.

Після натискання перемикача виникає сигнал, який дає змогу відстежити ефект брязкуту контактів (рис. 6).

Щоб усунути брязкіт у вихідному сигналі, пропонується одна з найдешевших

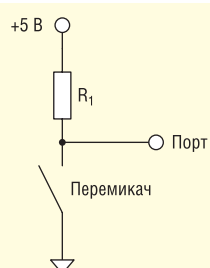


Рис. 5. Схема перемикача без захисту від брязкуту

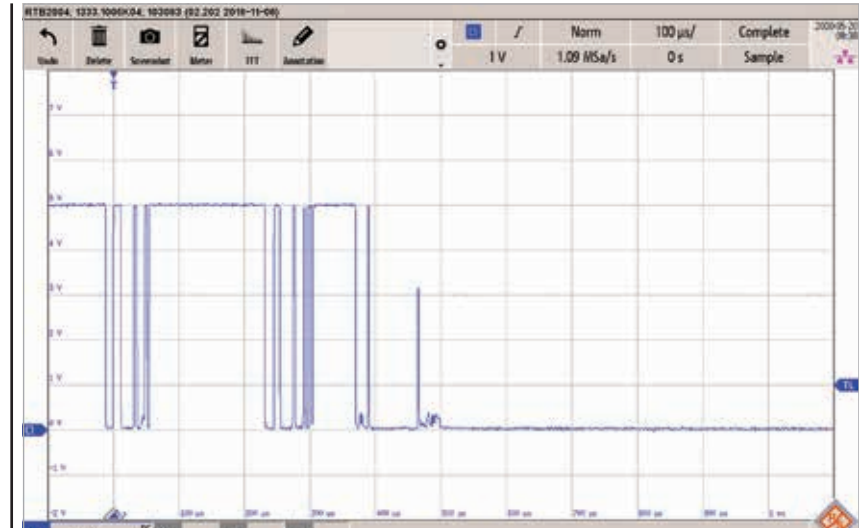


Рис. 6. Вихідний сигнал за відсутності схеми захисту від брязкуту під час переходу з високого на низький рівень

і найпростіших у реалізації електронних схем, у якій використовується RC-фільтр (рис. 7). Коли перемикач розімкнений, конденсатор заряджається через коло  $R_1 + R_2$ , що уповільнює зростання напруги. Коли перемикач замкнутий, конденсатор розряджається через  $R_2$  з контролюваною швидкістю.

Якщо компоненти були обрані коректно, брязкіт перемикача поглинається в процесі заряджання або розряджання, завдяки чому забезпечується плавний перехід з одного стану в інший. Для розрахунку номіналу конденсатора і резисторів застосовується формула (1), що дає змогу визначити постійну часу схеми:

$$T = (R_1 + R_2) \cdot C_1, \quad (1)$$

де  $T$  — постійна часу, с;  $R$  — величина опору, Ом;  $C$  — величина ємності, Ф.

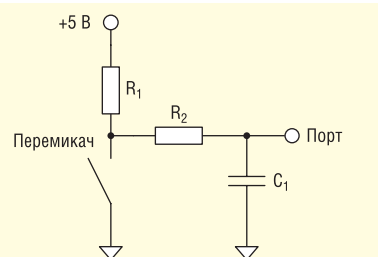


Рис. 7. Перемикач із базовою схемою захисту від брязкуту

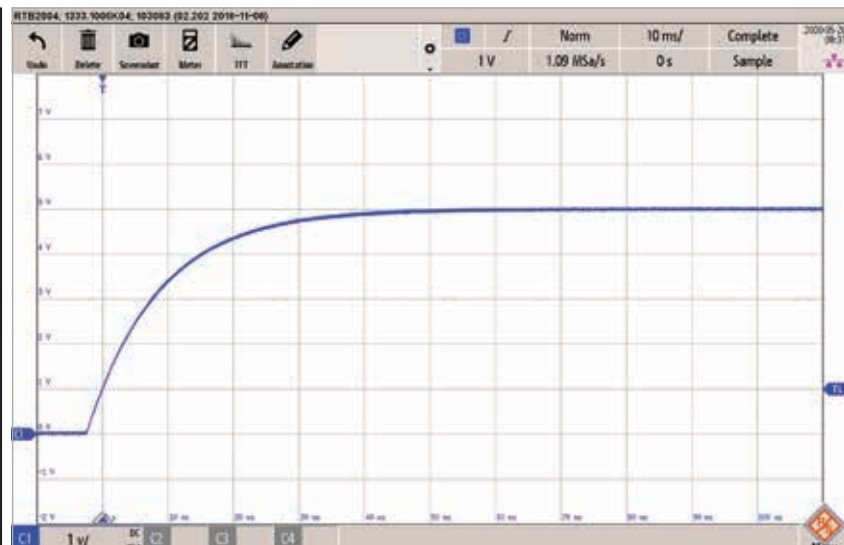
Постійна часу вибирається як певне компромісне значення, що дає змогу усунути брязкіт перемикача та забезпечити необхідний час відгуку схеми. За одну постійну часу напруга підвищується до 63% від свого кінцевого значення або впаде до 37% від цього значення. В обох випадках вона підви-

### РАДІОМОДУЛЬ ДЛЯ ЗВ'ЯЗКУ LORAWAN®

Компанія **Würth Elektronik** випустила на ринок *Daphnis-I* — тонкий радіомодуль з наднізьким енергоспоживанням і великим радіусом дії для використання в IoT. Трансивер, побудований на базі мікросхеми STM32WLE5CCU6, працює з протоколом LoRaWAN® (Long Range Wide Area Network) 1.0.4. Цей бездротовий протокол IoT в діапазоні частот EU868 дозволяє зв'язуватися з пристроями, віддаленими від шлюзу більш ніж на десять кілометрів. Модуль *Daphnis-I* розміром всього  $15 \times 16 \times 3$  мм також підходить для застосувань IoT з обмеженими габаритами. *Daphnis-I* вирізняється надзвичайно низьким енергоспоживанням — всього 63.9 мА в сплячому режимі, що робить його ідеальним рішенням для застосувань IoT з живленням від батареї. Компанія Würth Elektronik пропонує розробникам пристройів спеціальний набір для тестування, а також Smart Commander — зручне програмне забезпечення для налаштування з графічним інтерфейсом користувача.

*Daphnis-I* підтримує LoRaWAN® класу A, B і C, що означає, що модуль може отримувати дані у відповідь на свої передачі, як з контролем часу, так і з постійно відкритим вікном завантаження-приймання. Керування модулем здійснюється через інтерфейс UART за допомогою простого у використанні набору AT-команд.

[www.we-online.com](http://www.we-online.com)



**Рис. 8.** Вихідний сигнал під час використання схеми усунення брязкуту та переходу з низького на високий рівень

щується або спадає на 99% після п'яти постійних часу.

#### Приклад розрахунку

Задані умови:

- час брязкуту в специфікаціях: 10 мс;
- типове значення опору  $R_1$  для обмеження струму: 1 кОм;
- $R_2$ : обираються два стандартних значення для усунення брязкуту: 10 і 47 кОм;
- напруга живлення: 5 В DC.

Таким чином, розрахунок дає два значення ємності:

$$C_1 = \tau / (R_1 + R_2). \quad (2)$$

Пропонуються два ряди значень для цієї схеми:

- рішення 1:  $R_1 = 1$  кОм;  $R_2 = 10$  кОм;  $C_1 = 1$  мкФ;
- рішення 2:  $R_1 = 1$  кОм;  $R_2 = 47$  кОм;  $C_1 = 220$  нФ.

Зауважимо, що значення опору і ємності можуть відрізнятися залежно від конструкції схеми замовника.

Для обох схем отримуємо характеристику, показану на рисунку 8.

Значення  $U_{\text{OUT}}$  залежно від часу визначається такою формулою:

$$U_{\text{OUT}} = U_{\text{IN}}(1 - e^{-t/\tau}). \quad (3)$$

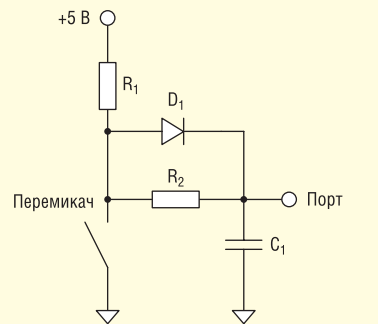
З неї випливає, що при  $t = \tau$  величина вихідної напруги  $U_{\text{OUT}}$  становить близько 63% відносно  $U_{\text{IN}}$ . У нашому прикладі величина  $U_{\text{OUT}} = 63\%$  (3.15 В) від свого кінцевого значення (5.0 В) через 10 мс.

#### Додавання діода

Щоб контролювати час заряду і час розряду окремо, до наведеної вище схеми додається діод (рис. 9). У результаті скорочується час перемикання для зарядження конденсатора за допомогою  $R_1$  і  $D_1$ , і стає іншим час розрядження, коли використовується тільки  $R_2$ , оскільки в цьому випадку діод блокується.

#### Додавання буфера

Як відомо, нуль у цифровій логіці визначається за рівнем нижче деякої напруги (наприклад, 0.8 В), а одиниця — вище (наприклад, 2.5 В). Значення між ними не визначені. Якщо додаток



**Рис. 9.** Додавання діода в схему

не в змозі підтримати невизначені значення, може знадобитися буфер із тригером Шмідта з гістерезисом. Схему з різним часом увімкнення і вимкнення та додатковим гістерезисом показано на рисунку 10. Час відгуку схеми, можливо, доведеться узгодити з часом вибірки мікроконтролера.

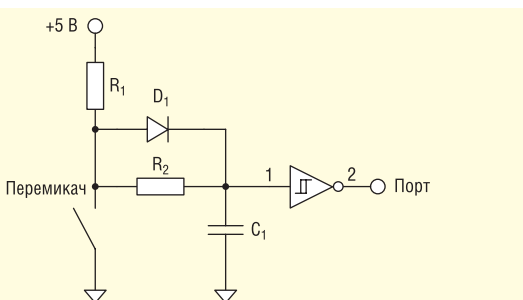
#### Захист від перехідних процесів

Якщо перемикач розташований далеко або на кінці довгого дроту, ймовірно, буде потрібен захист від перенапруги, електростатичного розряду або інших перехідних процесів. Як захисні компоненти застосовується феритова намистина і TVS-діод, встановлені перед входним колом (рис. 11).

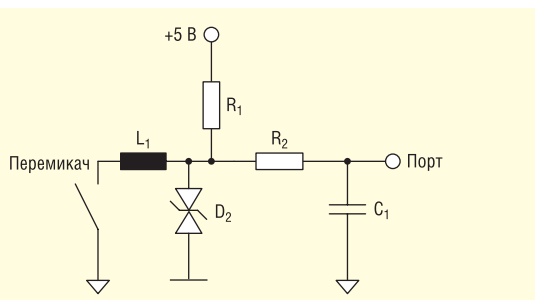
#### ВИСНОВКИ

Під час використання механічних перемикачів сигналів з'являється ефект брязкуту, що характеризується короткими періодами нестабільного сигналу в електронній схемі. Час брязкуту перемикачів Würth Elektronik досягає 10 мс, що слід враховувати під час проєктування. Запропонований RC-фільтр дає змогу зменшити це явище. Фільтр можна вдосконалити, встановивши додаткові компоненти для точнішого формування сигналу та захисту від перенапруги.

CN



**Рис. 10.** Тригер Шмідта забезпечує стабільні та визначені значення напруги



**Рис. 11.** Додавання феритової намистини і TVS-діода для захисту від перенапруги



**EUROCOM  
COMPONENTS**

[www.eurocom-c.com](http://www.eurocom-c.com)  
[info@eurocom-c.com](mailto:info@eurocom-c.com)  
044 33 44 575

**Партнерство  
з нами – успіх  
Вашого бізнесу!**



# Дискретні операційні підсилювачі

## Чому вони кращі за інтегральні мікросхеми

**Переклад та редактування: Олексій Панфьоров, інженер, «Філур Електрик, лтд»**  
**E-mail: panfiorov@filur.net**

**Вибираючи підсилювач аудіо класу, дехто віддає перевагу пристроям з високим коефіцієнтом підсилення, оскільки добре відомо, що високий коефіцієнт підсилення робить підсилювач точнішим і має нижчий коефіцієнт загального звукового спотворення (THD, Total Harmonic Distortion). Інші засуджують використання пристройів з високим коефіцієнтом підсилення, стверджуючи, що високий коефіцієнт підсилення має звукові ефекти, і жоден з них не є бажаним. Треті хочуть високої швидкодії у вигляді швидкості наростання сигналу (Slew Rate) та широкої смуги пропускання, слідуючи старій приказці «чим швидше, тим краще».**

**У цій статті розглядаються компроміси, відмінності та нерозривний зв'язок між деякими з цих характеристик. Будуть досліджені методи компенсації операційних підсилювачів та їх вплив на швидкість, коефіцієнт підсилення і пропускну здатність. Будуть виявлені недоліки й пастки. Буде досягнуто 9-го рівня. Нарешті, буде розкрита набагато краща альтернатива монолітному (IC) операційному підсилювачу.**

### ІСТОРІЯ ПИТАННЯ

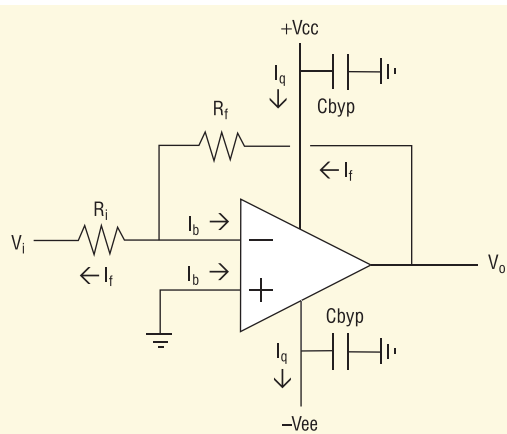
Скажу річ, яка пов'язує між собою коефіцієнт підсилення, швидкість наростання сигналу і смугу пропускання, і ця річ — компенсація операційного підсилювача. Всі операційні підсилювачі мають компенсацію, а ті, які її не мають, — це осцилятори (генератори). Для того, щоб повністю зрозуміти компенсацію, ми повинні надати деяку інформацію про неї.

Операційні підсилювачі завжди працюють з певним зовнішнім зворотним зв'язком, коли частина вихідного сигналу подається назад на вхід. Якщо ми почнемо розглядати схеми операційних підсилювачів, то побачимо, як це робиться за допомогою резистора зворотного зв'язку  $R_f$ .

На рисунку 1 показана типова інвертувальна схема операційного підсилювача, коефіцієнт підсилення якого визначається співвідношенням  $R_f/R_i$ . Мета зворотного зв'язку — встановити коефіцієнт підсилення замкненого контуру і надати операційному підсилювачу можливість «спостерігати за власним виходом», щоб його вихід був дзеркальним відображен-

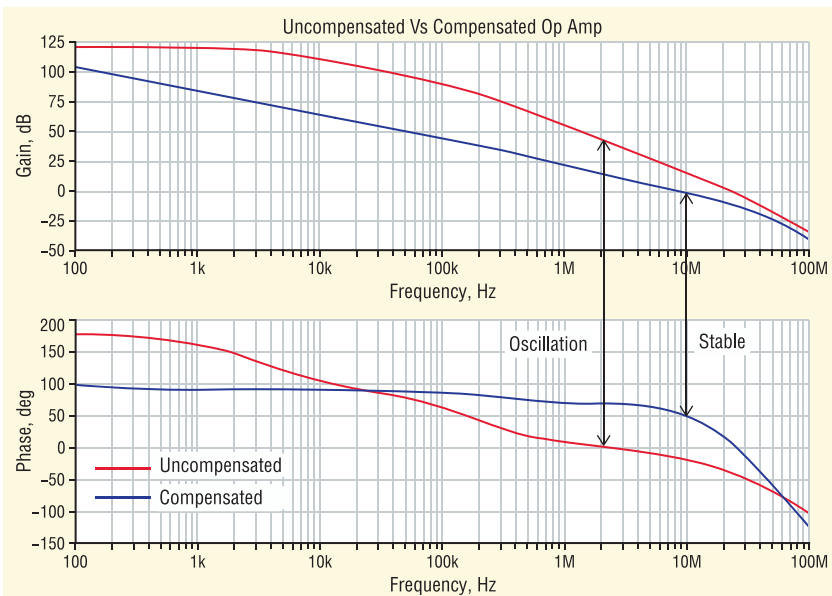
ням вхідного сигналу, помноженого на коефіцієнт підсилення замкненого контуру. Дію зворотного зв'язку часто описують як спосіб для операційного підсилювача «вправити себе», коли вихідний сигнал не є дзеркальним відображенням вхідного, проте це дещо спотворює дію зворотного зв'язку, оскільки помилково припускає, що вихід операційного підсилювача відхилився від того, де він повинен був бути. Насправді це не так, оскільки коефіцієнт підсилення операційного підсилювача в розімкнутому стані запобігає таким відхиленням. Кращий спосіб описати дію зворотного зв'язку полягає в тому, що він використовується для утримання на виході операційного підсилювача дзеркального відображення вхідного сигналу, помноженого на коефіцієнт підсилення замкненого контуру. Наскільки точно він його утримує, визначається коефіцієнтом підсилення у відкритому контурі.

При використанні зворотного зв'язку ми повинні бути обережними з фазовою затримкою (фазовим зсувом, або часовим запізненням), яку має операційний підсилювач. Він не може утримувати свій вихід на рівні копії входу, якщо між ними є часова затримка. На жаль, усі операційні підсилювачі мають певну фазову затримку через паразитні ємності, притаманні транзисторам, з яких виготовлено пристрій. Ці паразитні ємності накопичуються, викликаючи швидкий фазовий зсув на сотні градусів на частотах переходу внутрішніх транзисторів операційного підсилювача. Якщо фазова затримка є надто значною, підсилювач почне ге-



Typical Inverting Mode Circuit  
 $\text{Gain} = R_f/R_i$

Рис. 1. Типова інвертувальна схема операційного підсилювача



**Рис. 2. Некомпенсований підсилювач і підсилювач з компенсацією**

нерувати осциляції, оскільки затриманий сигнал зворотного зв’язку викликає «гянняння за власним хвостом».

Щоб запобігти цьому стану та підтримувати стабільність, операційний підсилювач не повинен мати більше ніж півперіод або  $180^\circ$  фазового зсуву в точці, де коефіцієнт підсилення контуру впав до 0 дБ. Ця умова називається критерієм стабільності Найквіста, і для її забезпечення використовується частотна компенсація. Компенсація працює завдяки використанню одного домінантного полюса в пристрої, який з’являється першим, і з’являється задовго до того, як фазові затримки, викликані внутрішніми паразитними ємностями, почнуть впливати на нього. Цей єдиний полюс буде систематично спалювати (або зменшувати) коефіцієнт підсилення, і штовхати його нижче нуля до того, як наступні полюси почнуть діяти, і стабільність буде збережена. Це те, що робить компенсацію. Вона гарантує, що не буде фазового зсуву більше ніж на  $180^\circ$ , поки операційний підсилювач все ще має коефіцієнт підсилення у відкритому контурі. На рисунку 2 показано некомпенсований підсилювач і підсилювач з компенсацією.

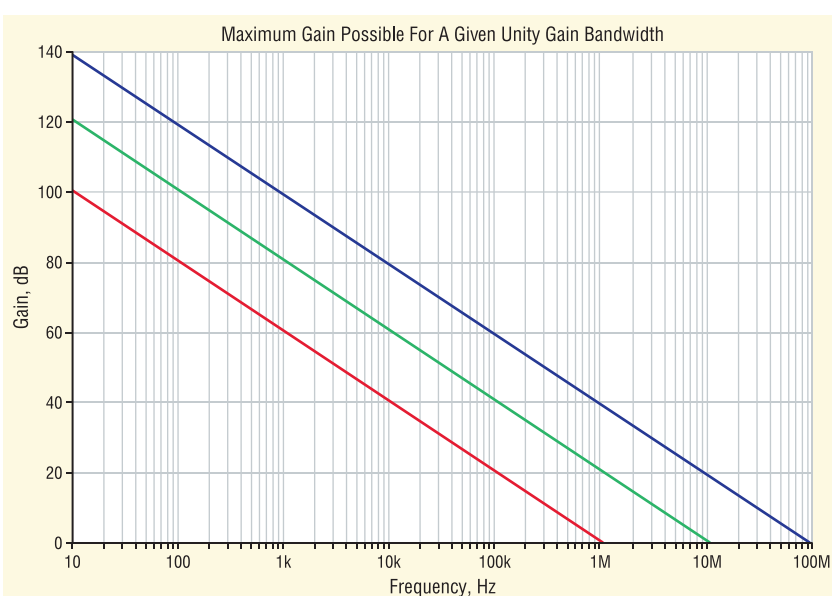
Як бачимо, некомпенсований підсилювач (позначений червоним кольором) накопичив понад  $180^\circ$  фазового зсуву (від  $180^\circ$  до  $0^\circ$ ), хоча він все ще має близько 40 дБ коефіцієнта підсилення в розімкнутому колі. Коли коефіцієнт підсилення нарешті перетинає 0 дБ, фазовий зсув становить близько  $230^\circ$ . Ця точка на графіку позначена як «коливання», і підсилювач, що розглядається тут, безсумнівно, буде робити саме це.

Вона створюється одним конденсатором, спеціально розміщеним усередині пристроя, щоб зменшити коефіцієнт підсилення до нуля до того, як полюси паразитних конденсаторів, що знаходяться всередині операційного підсилювача, вступають в дію. Це має той самий ефект, що й однополюсний фільтр низьких частот, і в певному сенсі це саме те, чим він і є. Кожен операційний підсилювач, який коли-небудь був створений, використовує цю техніку для підтримки стабільності. Вони використовують однополюсну схему компенсації, і всі вони матимуть графік коефіцієнта підсилення петлі, який завжди падає на рівні 6 дБ/октаву.

## РЕАЛІЗАЦІЯ

Скільки інтегральні операційні підсилювачі використовують однополюсну компенсацію і, отже, мають спад коефіцієнта підсилення 6 дБ/октаву, можна побудувати графік максимального теоретичного коефіцієнта підсилення, який може існувати на будь-якій частоті, знаючи лише смугу пропускання. Ми просто проводимо лінію вгору від точки одиничної смуги пропускання з нахилом 6 дБ/октаву, і відразу ж бачимо, який коефіцієнт підсилення петлі можливий на будь-якій частоті. Приклад наведено на рисунку 3.

На ньому представлено три гіпотетичні підсилювачі з частотами одниничного посилення 1, 10 і 100 МГц. Цей графік показує максимальний теоретичний коефіцієнт підсилення, який



**Рис. 3. Приклад залежності коефіцієнта підсилення від частоти**

може мати будь-який з них на будь-якій частоті. Майте на увазі, що на цьому графіку показано МАКСИМАЛЬНО можливий коефіцієнт підсилення контуру. Реальний пристрій може мати нижче підсилення в області низьких частот (10–100 Гц), де зазвичай досягається максимальний коефіцієнт підсилення зі зворотним зв'язком.

Суть полягає в тому, щоб проілюструвати, як частота однічного підсилення встановлює обмеження на коефіцієнт підсилення, який можливий при однополюсній схемі компенсації. Наприклад, неможливо знайти однополюсний операційний підсилювач з частотою однічного посилення 10 МГц з коефіцієнтом підсилення 80 дБ на частоті 10 КГц. Характер схеми компенсації обмежить такий підсилювач приблизно до 60 дБ підсилення на цій частоті. Майте також на увазі, що коли в специфікації підсилювача вказується коефіцієнт підсилення, то вказується МАКСИМУМ, який зазвичай досягається на частоті ~100 Гц або нижче, і він зазвичай вказується при постійному струмі. Той факт, що коефіцієнт підсилення падає на 6 дБ на октаву, вважається відомим читачеві, і часто не згадується автором специфікації пристроя. Річ у тім, що 10-мегагерцовий операційний підсилювач із зазначенням у специфікації коефіцієнтом підсилення 100 дБ все одно матиме лише 80 дБ при 1 кГц, 60 дБ при 10 кГц і так далі, незалежно від того, зазначено це в специфікації чи ні.

## ЦЕ НЕ ТА ПРОПУСКАНА ЗДАТНІСТЬ, ЯКУ ВИ ШУКАЄТЕ

Так чому б нам просто не вибрали пристрій з максимально можливою пропускною здатністю, знаючи, що ми одночасно максимізуємо коефіцієнт підсилення в аудіодіапазоні? Тому що пристрій з високою пропускною здатністю — вибагливі «штучки». Причинно-наслідковий аналіз показує, що нам не потрібен 100-мегагерцовий операційний підсилювач для посилення аудіосигналів в діапазоні 10 або навіть 100 кГц. І це правда, нам він не потрібен. Звичайно, приємно підняти коефіцієнт підсилення, який нерозривно пов'язаний зі смugoю пропускання, але сама по собі висока смуга пропускання не потрібна, і насправді стає проблематичною, чим вище вона стає.

Якщо ви почитаєте специфікації високошвидкісних пристрій, то почнете помічати всілякі додаткові речі

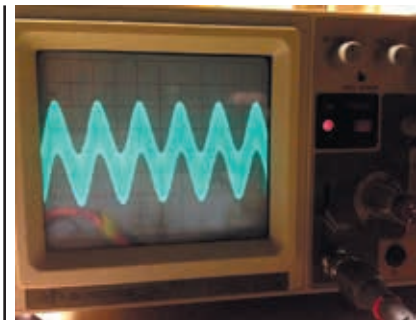
та особливі застереження, на які потрібно звертати увагу, щоб успішно використовувати їх у своїх схемах без осциляцій. Наприклад, вони зазвичай вимагають додаткових шунтувальних конденсаторів на виводах живлення. Деякі виробники рекомендують використовувати набір з танталу, кераміки з нульовим температурним коефіцієнтом ємності (TKЕ) для високочастотної розв'язки. Жоден з цих високошвидкісних пристрій не рекомендуються використовувати в DIP-розв'язках, оскільки індуктивності розв'язку достатньо, щоб порушити делікатний баланс, який необхідно підтримувати для забезпечення стабільності. Більшість з цих високошвидкісних пристрій вказують максимальне значення резистора зворотного зв'язку, яке можна використовувати, і зазвичай воно не перевищує 1 кОм. Це пов'язано з тим, що резистор зворотного зв'язку утворює додатковий полюс (і додає додатковий фазовий зсув) з вхідною ємністю пристроя. Також слід враховувати паразитні ефекти розведення плати. Деякі десятих пФ паразитної ємності на вхідних виводах достатньо, щоб вивести з рівноваги 100-мегагерцовий операційний підсилювач. І якщо ви плануєте керувати ЧИМОСЬ, що навіть віддалено нагадує ємнісне навантаження, забудьте про це. Одним словом, пристрій з високою пропускною здатністю не дуже добре вписуються в аудіосхеми з DIP-розв'язками.

## ЩО ВІДБУВАЄТЬСЯ ПРИ СПРОБІ ВИКОРИСТАННЯ ТАКИХ ПРИСТРОЇВ?

У більшості випадків пристрій демонструє осциляції на частотах у МГц, хоча при цьому може відтворювати аудіосигнали. Проблема в тому, що такий сигнал супроводжується високочастотними завадами («шумом»), через що звук буде поганим.

На осцилографі це виглядає так: ми бачимо аудіосигнал, поверх якого накладається високочастотний «шум» осциляції. Щоб побачити, як цей стан виглядає на осцилографі, подивіться на рисунок 4.

На ньому ми бачимо аудіосигнал з купою високочастотного «шуму» (осциляції), який накладається на нього. Ось чому пристрій з високим коефіцієнтом підсилення отримують мінімальну похвалу в деяких аудіо колах. Справа зовсім не в підсиленні, а в широкій смузі



**Рис. 4. Приклад модуляції основного сигналу високою частотою**

пропускання і пов'язаному з нею температурному характері таких пристрій. Ці пристрої часто коливаються в області МГц при використанні з DIP-розв'язками, резисторами зворотного зв'язку в декілька кілоом, вивідними шунтувальними конденсаторами та друкованими платами без площин заземлення. Коливання від високої смуги пропускання — це те, що викликає жахливий звук. Це не має нічого спільного з коефіцієнтом підсилення. Якщо у вас немає осцилографа з достатньою смugoю пропускання, ви можете навіть не помітити, що коливання взагалі відбуваються. Хоча коефіцієнт підсилення та смуга пропускання нерозривно пов'язані між собою, в такому випадку винна смуга пропускання, а не коефіцієнт підсилення.

## ЦЕ ТАКОЖ НЕ ШВІДКІСТЬ НАРОСТАННЯ

Швидкість наростання (*Slew Rate*) є ще одним важливим параметром, що є досить популярним серед аудіофілів. Зазвичай швидкі операційні підсилювачі з високою швидкістю наростання пов'язують із широкосмуговими пристроями. Для визначення необхідної швидкості наростання існує формула, яка враховує максимальну частоту та пікову амплітуду сигналу:

$$\text{Необхідна швидкість наростання (у В/мкс)} = 2\pi F V_{pk} / 1000000.$$

Ділимо на 1 мільйон, щоб отримати відповідь у вольтах/мікросекундах. Якщо ми опустимо ділення на 1 мільйон, наш результат буде у вольтах на секунду. Швидкість наростання зазвичай вказується у вольтах на мікросекунду, тому ми розділимо на один мільйон, щоб отримати результат у цих одиницях.

Тож давайте трохи порахуємо і подивимося, що у нас вийде. Більшість операційних підсилювачів у схемах лінійного рівня обробляють амплітуду

сигналу з піком у кілька вольт. Зазвичай ці операційні підсилювачі живляться від  $\pm 15$  В, тому вони не можуть обробляти сигнали, що перевищують 10 або 12 В, через обмеження шини живлення. Верхня межа звукових частот, як правило, становить близько 20 КГц, але давайте не будемо зловживати цим і назовемо її 160 КГц, що на 3 октави вище, ніж вважається чутним людським вухом. Отже, яка швидкість розгортки потрібна операційному підсилювачу для відтворення пікового сигналу 10 В на частоті 160 КГц? Виявляється, 10 В/мкс. Досить повільно, чи не так? Якщо бути більш розважливими то розрахувати необхідну швидкодію для відтворення 5 В пікового сигналу на частоті 50 КГц, то для цього нам знадобиться лише мізерна швидкодія 1,5 В/мкс.

З погляду математики, видається, що надмірна швидкодія, так само як і надмірна смуга пропускання, не потрібна для підсилення звукового сигналу. Причина, чому так багато аудіофілів обирають ці пристрої та вважають, що вони добре звучать, полягає у пов'язаному з ними коефіцієнту підсилення, оскільки було продемонстровано, що високі швидкості та смуги пропускання насправді нічого не дають. Що вони отримують, що їм подобається, так це вищий коефіцієнт підсилення в аудіодіапазоні.

## ТОЖ, КУДИ МИ ЙДЕМО ДАЛІ?

**З**дається, ми застрягли, чи не так? Якщо вам потрібен високий коефіці-

єнт підсилення, ви отримаєте його тільки з високою смugoю пропускання і швидкістю обертання, і нам просто доведеться змиритися з примхливим характером таких пристройів. Якщо ж вам потрібен низький коефіцієнт підсилення і висока швидкість, то ви потрапили в халепу подвійно. Чи можемо ми мати все це? Чи можемо ми отримати радикально високий коефіцієнт підсилення контуру з розумною смugoю пропускання? Чи можемо ми компенсувати наш операційний підсилювач, щоб він мав крутіший спад, ніж 6 дБ/октаву?

## ДВОПОЛЮСНА КОМПЕНСАЦІЯ

**Я**кби ми могли компенсувати наш операційний підсилювач за допомогою двополюсника, а не однополюсника, ми могли б подвоїти нахил графіка коефіцієнта підсилення до 12 дБ/октаву. Несподівано, на будь-якій частоті теоретично можна було б отримати на багато більший коефіцієнт підсилення, що дуже приємно, адже саме цього ми й прагнемо. Отже, як би виглядало?

На графіку коефіцієнта підсилення на рисунку 5 показано 6 гіпотетичних операційних підсилювачів зі смугами пропускання 1, 10 і 100 МГц, скомпенсованих за допомогою однополюсної та двополюсної схем кожен. Видно, що для заданої смуги пропускання пристрій має набагато більший коефіцієнт підсилення, ніж теоретично можливий при двополюсній компенсації, завдяки крутішому спаду коефіцієнта підсилен-

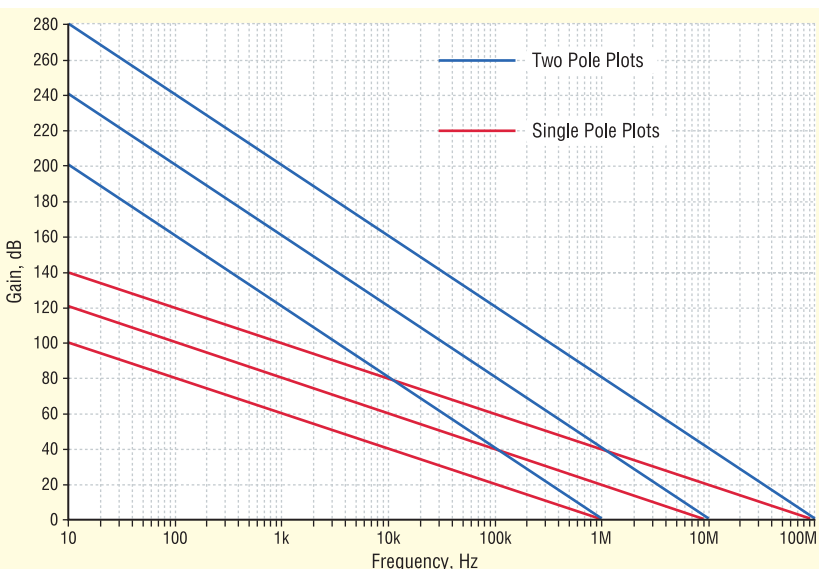
## ДВІ НОВІ СЕРІЇ МІКРОКОНТРОЛЕРІВ РЕАЛЬНОГО ЧАСУ

Компанія **Texas Instruments** представила дві нові серії мікроконтролерів реального часу, які допоможуть інженерам досягти більш інтелектуальної та безпечної обробки даних в автомобільній та промисловій галузі. Серія TMS320F28P55x мікроконтролерів TI C2000™ є першою в галузі лінійкою мікроконтролерів реального часу з інтегрованим нейронним процесором (Neural Processing Unit, NPU), що дозволяє виявляти несправності з високою точністю та низькою затримкою. Серія F28H85x побудована на новому 64-бітному ядрі цифрового сигналного процесора TI C29 і пропонує вдосконалену архітектуру з інтегрованими функціями захисту та безпеки.

Сьогодні перед інженерами стоять завдання розробляти системи, які можуть приймати точні, інтелектуальні рішення в режимі реального часу для виконання таких функцій, як виявлення дугового замикання в сонячних системах і системах зберігання енергії, а також виявлення несправностей підшипників електродвигунів для прогнозованого технічного обслуговування. Як перші в галузі мікроконтролери реального часу з інтегрованим нейронним процесором, нові мікроконтролери TI серії C2000™ TMS320F28P55x відповідають обом цим завданням, забезпечуючи стабільну продуктивність при обробці даних в реальному часі.

NPU в серії TMS320F28P55x розвантажує виконання нейромережевої моделі від центрального процесора, досягаючи в п'ять-десять разів меншої затримки порівняно з програмними реалізаціями, що дозволяє швидше і точніше приймати рішення. Крім того, модель, яка працює на інтегрованому NPU, навчається та адаптується до різних середовищ за допомогою тренувань, допомагаючи системам досягти більш ніж 99% точності виявлення несправностей, що дозволяє приймати більш обґрунтовані рішення на периферії. Повний інструментарій TI для ШІ, який містить моделі, оптимізовані та протестовані для конкретних застосувань, допомагає інженерам з будь-яким рівнем досвіду легко завершити процес розробки ШІ-моделі.

[www.ti.com](http://www.ti.com)



**Рис. 5.** Шість гіпотетичних операційних підсилювачів зі смугами пропускання 1, 10 і 100 МГц, скомпенсованих за допомогою однополюсної та двополюсної схем кожен

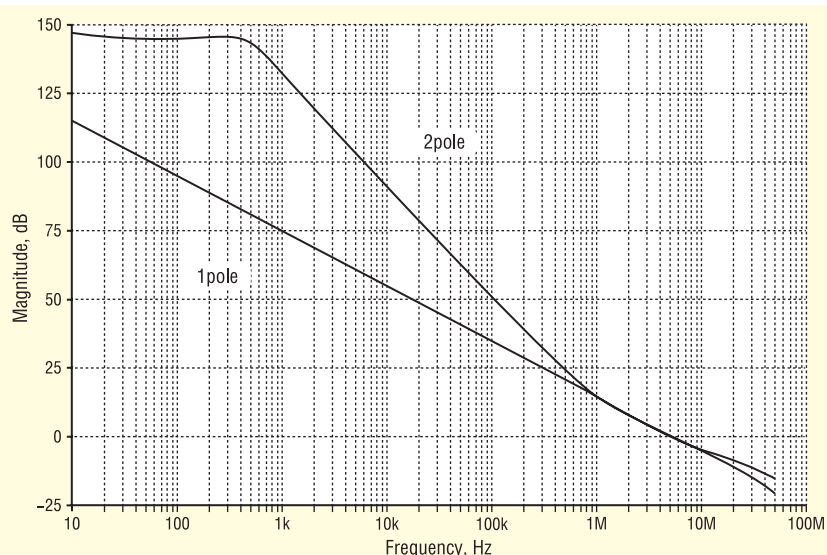
ня. Несподівано, 1 МГц операційний підсилювач з двополюсною компенсацією матиме такий самий коефіцієнт підсилення на частоті 10 КГц, як і 100 МГц пристрій з однополюсною компенсацією. Нижче 10 кГц двополюсник все ще має більший коефіцієнт підсилення, ніж його однополюсник з компенсацією.

Тож чи можемо ми це зробити? Чи можемо ми отримати операційний підсилювач з 2-полюсною компенсацією, з величезним коефіцієнтом підсилення і розумною смugoю пропускання? Так, можемо, але ви не знайдете цього в монолітній мікросхемі.

Майже всі монолітні IC використовують однополюсну компенсацію, оскільки конденсатор, необхідний для її реалізації, невеликий і потрібен лише один. Розміщення конденсаторів всередині мікросхем є складною справою, оскільки конденсатор займає велику кількість простору всередині мікросхеми. Його ємність повинна бути невеликою, щоб він помістився. Двополюсну компенсацію практично неможливо реалізувати в мікросхемі, оскільки для цього потрібно щонайменше два конденсатори, а значення ємності, як правило, більше, ніж значення, необхідне для однополюсної компенсації. Единий шанс отримати двополюсний компенсований операційний підсилювач — це зібрати його самостійно з дискретних компонентів. Такі пристрой існують, вони виготовляються з крихітних компонентів для поверхневого монтажу і фізично сумісні з популярними корпусами IC, такими як DIP8. Такі пристрой можна знайти на сайті компанії Філур:

- [SS3601 Single](#);
- [SS3602 Dual](#).

Якого типу підсилення контуру і загальної продуктивності можна досягти, використовуючи двополюсну компенсацію в порівнянні з однополюсною? На рисунку 6 наведені графіки коефіцієнта підсилення підсилювача з однополюсною компенсацією для порівняння з тим же підсилювачем, але з двополюсною схемою компенсації. Зрозуміло, що двополюсна схема дозволяє отримати радикально вищий коефіцієнт підсилення. Майте також на увазі, що логарифмічна природа дБ така, що кожні 6 дБ збільшення означає подвоєння коефіцієнта підсилення. Так, наприклад, на частоті 1 кГц двополюсник має приблизно на 60 дБ більший коефіцієнт підсилення, ніж однополюсник, що означає більш ніж 1000-кратне підсилення в «не в дБ» числах. До речі, значення THD пов'язане з коефіцієнтом підсилення, і можна



**Рис. 6. Графіки коефіцієнта підсилення підсилювача з однополюсною компенсацією для порівняння з тим же підсилювачем, але з двополюсною схемою компенсації**

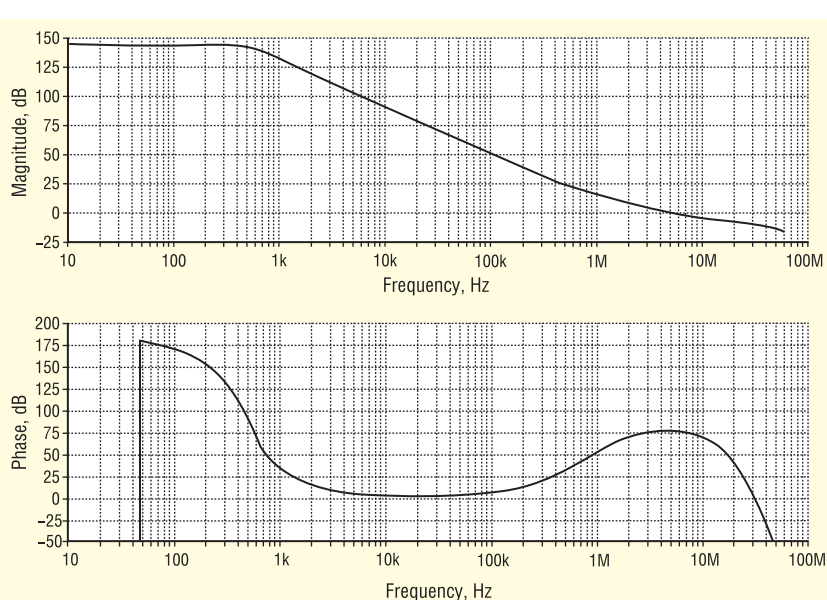
очікувати відповідного 1000-кратного зменшення THD.

Крутко, правда?

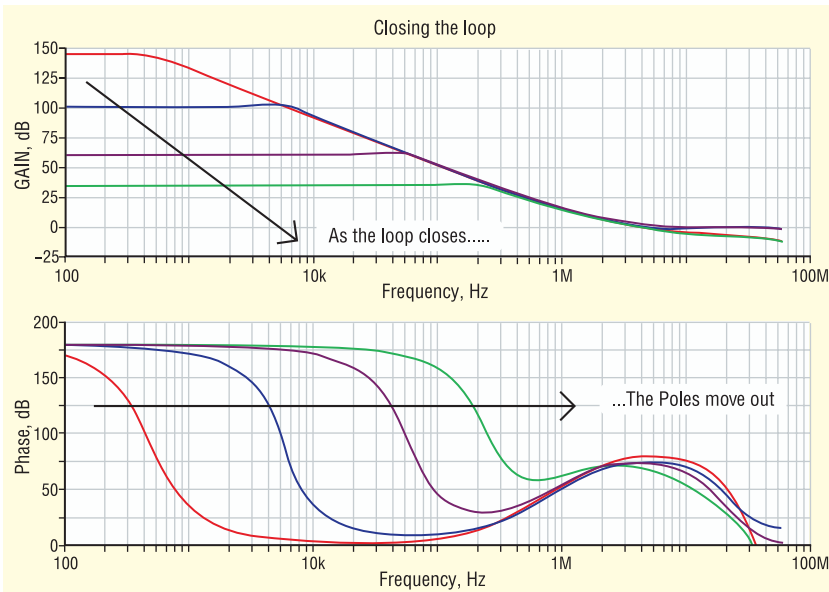
До цього часу проникливий читач, можливо, зрозумів, що двополюсний зсув матиме два зсуви фаз на 90° (по одному з кожного полюса), що приведе до максимально допустимого зсуву фаз на 180°, який є допустимим для стабільності. Червоні пропорці можуть спливати в голові. Секрет успішної реалізації 2-полюсної схеми компенсації полягає в тому, щоб вона повернулася до однополюсного режиму з фазовим зсувом лише на 90° безпосередньо перед тим, як коефіцієнт підсилення кон-

туру перетне 0 дБ. Якщо цього вдасться досягти, то критерій стабільності Найквіста все одно буде виконано. Це відбувається, і на попередньому рисунку видно, як графік двополюсного підсилення перекриває графік однополюсного підсилення, починаючи приблизно з області кривої 1 МГц. Це гарантує, що буде достатній запас по фазі для забезпечення стабільності. Щоб побачити графік двополюсної фазової компенсації, погляньте на рисунок 7.

Видно, що близько 1 МГц двополюсник переходить назад до однополюсника, і фаза зсувается назад до 90°. Цей пристрій все ще має запас по фазі 75°



**Рис. 7. Графік двополюсної фазової компенсації**



**Рис. 8.** Залежність зсуву фази від частоти

на кросовері з одиничним коефіцієнтом підсилення, і стабільність буде збережена. Внутрішньосмуговий зсув фази на  $180^\circ$  також не є проблемою, оскільки при замиканні кола операційного підсилювача полюси розсувуються, і пов'язаний з цим фазовий зсув відбувається пізніше по частоті. Це означає, що для будь-якого замкненого контуру (а операційні підсилювачі завжди працюють в замкненому контурі) не буде ніякого фазового зсуву в межах смуги пропускання замкненого контуру. Це можна побачити на графіках, наведених на рисунку 8, які ілюструють, що відбувається при замиканні контуру.

З цих графіків видно, що коли контур замикається за допомогою зовнішнього зворотного зв'язку, полюси зміщуються назовні. Ця маленька перлина істини часто залишається неусвідомленою, що є причиною багатьох побоювань, пов'язаних зі зворотним зв'язком і високим коефіцієнтом підсилення контуру. Люди, як правило, лякаються, коли чують про внутрішньосмуговий зсув фази на  $180^\circ$  у розімкнутому контурі, не розуміючи, що коли контур замикається, цей зсув фази не відбувається в межах смуги пропускання замкнутого контуру.

## ВИСНОВОК

Якщо ви шукаєте ідеальний пристрій серед операційних підсилювачів, ось декілька речей, про які слід пам'ятати:

- Смуга пропускання і коефіцієнт підсилення в розімкнутому контурі пов'язані між собою за допомогою

компенсації. Вищий коефіцієнт підсилення завжди відповідає вищій смузі пропускання.

- Коефіцієнт підсилення в розімкнутому контурі, як правило, задається при постійному струмі й завжди падає зі швидкістю 6 дБ/октаву в однополюсних пристроях з компенсацією.
- Швидкість наростання, що перевищує  $\sim 10$  В/мкс, не потрібна для високоякісного звуку. Так само як і смуга пропускання 50 МГц.
- Висока смуга пропускання і пов'язані з нею проблеми стабільності — це те, що створило пристроям з високим коефіцієнтом підсилення погану репутацію в деяких аудіо спільнотах.
- Двополюсна компенсація є найкращою технікою для максимізації коефіцієнта підсилення у відкритому контурі та має приємний побічний ефект у вигляді підтримки розумної смуги пропускання.
- Двополюсна компенсація зазвичай досяжна лише в дискретних конструкціях операційних підсилювачів.

**Більш детальну інформацію щодо продукції компанії **Sparkos Labs** можна отримати, звернувшись до її офіційного дистрибутора на території України — компанії «Філур Електрик, ЛТД»:**

**02100, м. Київ,  
вул. Гетьмана П. Полуботка,  
22/14, 1-й пов.,  
тел.: +38 (044) 495-75-75,  
+38 (068) 496-75-75,  
e-mail: office@filur.net,  
www.filur.net**

## НОВЕ СІМЕЙСТВО ПРИКЛАДНИХ ПРОЦЕСОРІВ I.MX 94

Компанія **NXP Semiconductors** оголосила про вихід сімейства i.MX 94, найновішого доповнення до серії прикладних процесорів i.MX 9, призначених для промислового керування, програмованих логічних контролерів (ПЛК), телематики, промислових та автомобільних шлюзів, а також для керування будівлями та енергоспоживанням.

Інтегруючи функції зв'язку, безпеки та керування в реальному часі в одній мікросхемі, сімейство i.MX 94 допомагає розробникам орієнтуватися в цій складній ситуації, забезпечуючи оптимізовану комплексну продуктивність при координації зв'язку та дій в реальному часі. Вбудований комутатор 2.5 Гбіт/с Ethernet TSN забезпечує висококонфігуркований, безпечний зв'язок з широкою підтримкою протоколів як для промислових, так і для автомобільних застосувань.

Багатоядерні 64-розрядні процесори i.MX 94 мають до чотирьох ядер Arm® Cortex®-A55, здатних працювати під керуванням Linux, а також два ядра Cortex-M33 і два ядра Cortex-M7, що забезпечує підвищену продуктивність обробки даних у реальному часі. Програмна платформа NXP Real-Time Edge дозволяє розробникам реалізовувати проекти з оптимальним поєднанням завдань реального часу і завдань прикладного рівня, що виконуються на будь-якому з цих ядер. Крім того, для використання обчислювальних можливостей доступні різноманітні спеціалізовані комерційні операційні системи сторонніх виробників, такі як QNX Neutrino і Green Hills Integrity. Він також має інтегрований функціональний остров безпеки разом з конфігуркованим розділом безпеки, що підтримує відповідність стандартам IEC61508 SIL2 та ISO26262 ASIL-B.

Сімейство i.MX 94 — це перший прикладний процесор NXP, який підтримує пост-квантову криптографію з відкритим ключем, що дозволяє йому протистояти атакам квантових комп'ютерів і керувати безпекою обладнання протягом тривалого життєвого циклу. Інтегрований EdgeLock Secure Enclave (розширеній профіль) дозволяє налаштовувати обладнання та відновлювати його до безпечної стану в будь-який час і забезпечує розширені можливості безпеки.

[www.nxp.com](http://www.nxp.com)

CN

# Підсилювачі з автоматичним встановленням нуля

У статті докладно розглядається підсилювач ISL28134 з автоматичним встановленням нуля виробництва компанії Renesas. Наводяться розрахункові співвідношення і схеми застосування. Подібні підсилювачі є чудовим вибором для трактів підсилення, в яких потрібне високе підсилення сигналів датчиків.

## ПІДСИЛЮВАЧ З АВТОМАТИЧНИМ ОБНУЛЕННЯМ

Багато підсилювачів сигналів датчиків призначені для нормування дуже низьких вхідних сигналів. Підсилення сигналу до високого рівня вимагає, щоб шлях проходження сигналу мав вкрай малу напругу зсуву і його низький дрейф за часом і температурою, а також високу точність підсилення. Для дотримання цих вимог під час використан-

ня стандартних лінійних компонентів потрібне автоматичне калібрування на системному рівні та багатоступеневі підсилювачі. Однак це ускладнює проектування апаратного і програмного забезпечення, збільшує вартість проектування і термін виведення нових виробів на ринок.

Альтернативою такому підходу є використання компонентів із низьким зсувом і дрейфом, а також із високим коефіцієнтом підсилення (КП) розімкненого

кола ( $A_{OL}$ ) для забезпечення високої точності КП. Підсилювачем із безсумнівно найвищим  $A_{OL}$  і найменшим зсувом є підсилювач з автоматичним обнуленням, наприклад ISL28134 від Renesas (рис. 1). Цей підсилювач забезпечує високу точність за постійним струмом завдяки механізму калібрування, що безперервно працює і реалізований внутрішньосхемно. За типових значень вхідного зсуву 0.2 мкВ і дрейфу зсуву за температурою 0.5 нВ/°C підсилювач ISL28134 задовільняє навіть найвищі вимоги до точності за постійним струмом.

У цій статті пояснюється методика калібрування з автоматичним обнуленням, і порівнюється спектр шумів ISL28134 зі спектром шумів стандартного КМОН операційного підсилювача. Завершується стаття чотирма прикладами застосування, що демонструють використання ISL28134 як підсилювача для термопар, а також як каліброваного підсилювача під час використання для постійного струму і широкосмугового підсилювача змінного струму.

На рисунку 1 показано принципову схему підсилювача з автоматичним обнуленням. У ній основний широкосмуговий підсилювач ( $A_M$ ) коригується за зсувом паралельним обнулювальним підсилювачем ( $A_N$ ). Корекція зсуву всього підсилювача відбувається в одному циклі тактової частоти автоматичного обнулення ( $f_{AZ}$ ), який поділено на два режими роботи: фази автоматичного обнулення і підсилення.

Генератор (OSC), що генерує частоту  $f_{AZ}$ , запускає фазу автоматичного обнулення шляхом переміщення обох перемикачів у положення 1. Входи обнулювального підсилювача, що складається з низки каскадів, закорочують між собою, а вихід під'єднують до конденсатора  $C_1$ . У такій конфігурації  $A_N$  вимірює власну вхідну напругу зсуву і зберігає її на  $C_1$ . Математично напругу на  $C_1$  можна виразити як  $V_{C1} = G_B(A_{IN}V_{OSN} - A_ZV_{C1})$  і шляхом простої перестановки представити її як рівняння (1):

$$V_{C1} = V_{OSN} \frac{G_B A_{IN}}{1 + G_B A_Z}. \quad (1)$$

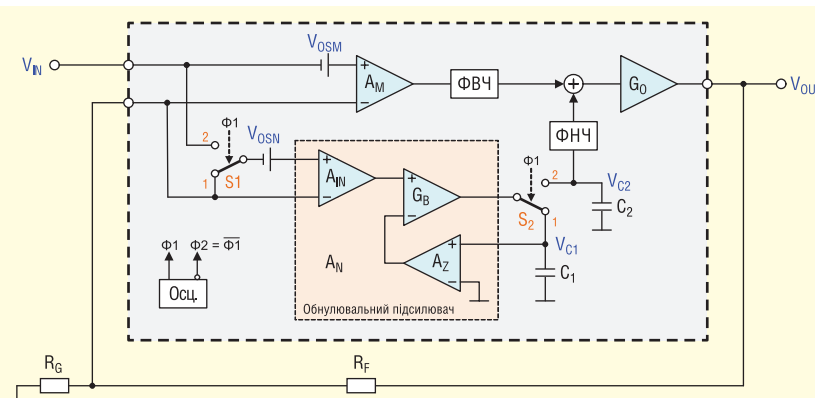


Рис. 1. ISL28134: фаза автоматичного обнулення

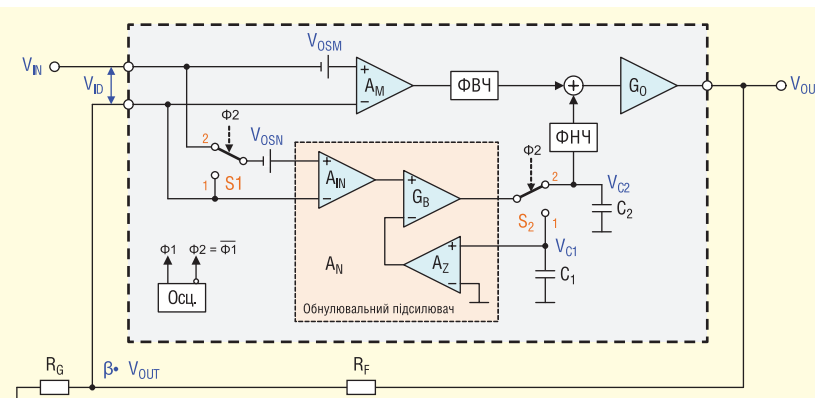


Рис. 2. ISL28134: фаза підсилення

У фазі підсилення OSC переводить обидва перемикачі в положення 2 (рис. 2). У цій конфігурації  $A_N$  підсилює  $V_{C1}$  на множник  $A_Z$ , віднімає його від підсиленого диференціального вхідного сигналу ( $A_{IN}(V_{OSN} + V_{ID})$ ) і заряджає конденсатор  $C_2$  на підсилену різницю до  $V_{C2} = G_B[A_{IN}(V_{OSN} + V_{ID}) - A_Z V_{C1}]$ . Замінюючи  $V_{C1}$  рівнянням (1) і розв'язуючи його для  $V_{C2}$ , отримуємо рівняння (2):

$$V_{C2} = G_B A_{IN} V_{ID} + V_{OSN} \frac{G_B A_{IN}}{1 + G_B A_Z}. \quad (2)$$

Водночас основний підсилювач підсилює напругу на своєму диференціальному вході, щоб на виході вийшла напруга  $A_M(V_{ID} + V_{OSN})$ . Суму обох напруг потім підсилює каскад вихідного підсилення ( $G_O$ ) для формування кінцевої вихідної напруги:

$$V_{OUT} = G_O [V_{C2} + A_M (V_{ID} + V_{OSN})].$$

Замінюючи  $V_{C2}$  рівнянням (2), отримуємо рівняння (3):

$$V_{OUT} = G_O (G_B A_{IN} + A_M) V_{ID} + G_O A_M V_{OSN} + \frac{G_O G_B A_{IN}}{1 + G_B A_Z} V_{OSN}. \quad (3)$$

Оптимізуючи архітектуру автоматичного обнулення так, щоб  $A_M = A_{IN}$  і на всіх етапах підсилення було набагато більше 1, спрошуємо рівняння (3):

$$V_{OUT} = G_O A_{IN} G_B V_{ID} + G_O A_M V_{OSN} + \frac{G_O A_{IN}}{A_Z} V_{OSN}.$$

Далі, виносячи за дужки коефіцієнт підсилення  $G_O A_{IN} G_B$  напруги  $V_{ID}$  в отриманому рівнянні, представимо  $V_{OUT}$  у вигляді рівняння типового підсилювача:

$$V_{OUT} = G_O A_{IN} G_B \left( V_{ID} + \frac{V_{OSN} + V_{OSN}/A_Z}{G_B} \right). \quad (4)$$

Рівняння (5) для типового підсилювача на рисунку 3:

$$V_{OUT} = A_{OL} (V_{ID} + V_{OS-EFF}), \quad (5)$$

де  $A_{OL}$  — коефіцієнт підсилення розімкнутого кола підсилювача, а  $V_{OS-EFF}$  — його ефективна напруга зсуву.

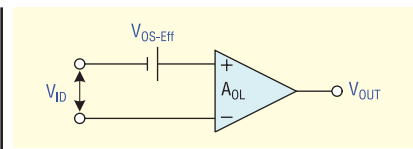
Порівняння рівнянь (4) і (5) показує, що ефективне підсилення розімкнутого кола підсилювача з автоматичним обнуленням  $\epsilon A_{OL} = G_O A_{IN} G_B$ , а його ефективний зсув визначається таким чином:

$$V_{OS-EFF} = \frac{V_{OSN} + V_{OSN}/A_Z}{G_B}.$$

Таким чином, напруга зсуву головного підсилювача зменшується в  $G_B$  разів, а зсув обнулювального підсилювача, — в  $G_B \cdot A_Z$  разів. Якщо ми приймаємо коефіцієнти підсилення розімкненого кола різних каскадів підсилення в межах 10 000 або вище, стає очевидним, що навіть власна напруга зсуву в кілька мілівольт для всього підсилювача з автоматичним обнуленням знижується до ефективної вихідної напруги зсуву, що дорівнює мікровольтам.

## ПРИДУШЕННЯ ШУМІВ У СМУЗІ ЧАСТОТ

Конструкції підсилювачів на рисунках 1–2 є фільтром низьких частот (ФНЧ), прозорим для процесу автоматичного обнулення, але з необхідністю фільтрації високочастотних складових, що створюються процесом перемикання під час автоматичного обнулення.



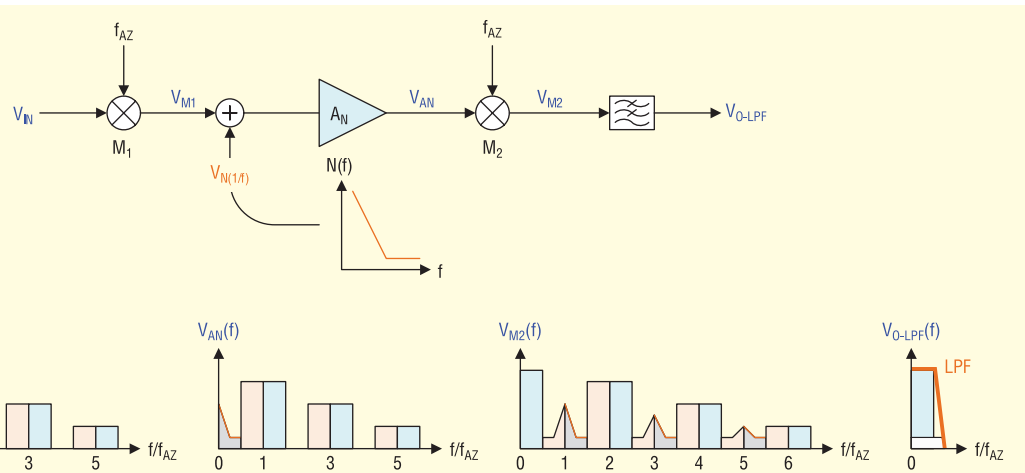
**Рис. 3. Типовий підсилювач з ефективним зсувом**

Оскільки підсилювач з автоматичним обнуленням є системою з дискретизацією відліків, процес дискретизації генерує частоти, які складаються із суми та різниці частот вхідного сигналу ( $f_{IN}$ ) і тактової частоти автоматичного обнулення ( $f_{AZ}$ ).

На рисунку 4 представлено процес придушення шумів із демонстрацією ефектів дискретизації в смузі частот. Дискретизація вхідного сигналу є модуляцією; при цьому  $f_{AZ}$  виступає як носійна частота, а  $V_{IN}$  (або  $f_{IN}$ ) — як модулювальний сигнал. Обидва перемикачі  $S_1$  і  $S_2$  замінені модуляторами  $M_1$  і  $M_2$ .  $V_{M1}(f)$  на рисунку 4 показує, що перша модуляція  $V_{IN}$  призводить до появи бічних смуг  $f_{IN}$  на обох сторонах непарних гармонік  $f_{AZ}$ .

Амплітуди бічних смуг знижуються згідно з функцією  $1/n$ , де  $n$  — порядок гармоніки. Шум  $1/f$  від  $A_N$ , присутній в основній смузі частот, додається до модульованого вхідного сигналу після першої стадії модуляції (див.  $V_{AN}(f)$ ). Комбінований сигнал підсилюється  $A_N$  і подається в демодулятор  $M_2$ . Шум  $1/f$ , проходячи першу демодуляцію через  $M_2$ , додає бічні смуги по обидва боки непарних гармонік  $f_{AZ}$ . Однак для вже модульованого вхідного сигналу ( $V_{M1}$ )  $M_2$  є 2-ю стадією модуляції.

На цій стадії  $f_{IN}$  перетворюється на ще вищі частоти, створюючи бічні смуги навколо парних гармонік  $f_{AZ}$ , а також навколо нульової точки. Таким чином,



**Рис. 4. Автоматичне обнулення в смузі частот**

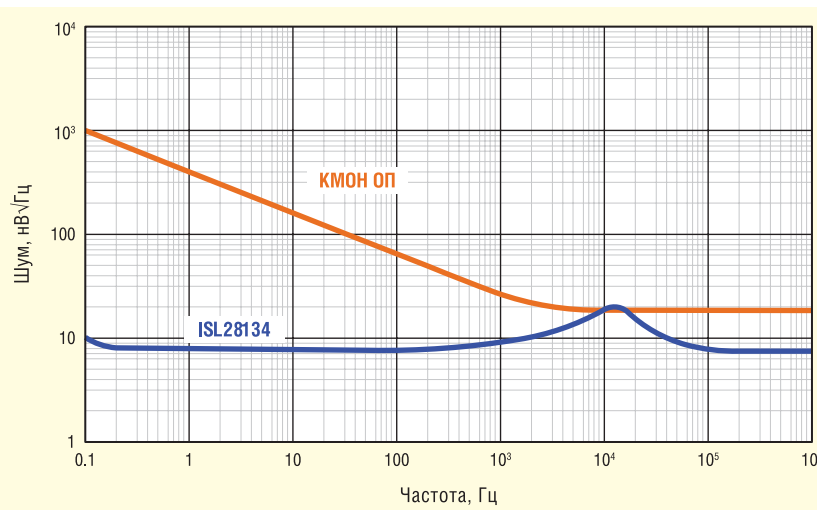


Рис. 5. Спектральна густина шуму

вхідний сигнал знову виникає в основній смузі частот. Отже, 2-а модуляція є демодуляцією  $f_{IN}$ . Застосування фільтра нижніх частот вищого порядку, чий різкий спад обмежує основну смугу частот до частот значно нижчих за  $f_{AZ}$ , також дуже сильно зменшує шум.

На рисунку 5 показано графік спектральної густини шуму підсилювача ISL28134 і прецизійного КМОН операційного підсилювача. Шум є, по суті, білим по всьому діапазону частот, за винятком вузькосмугових шумів у районі 10 кГц.

## ОБЛАСТІ ЗАСТОСУВАННЯ

### Підсилювач термопар

Схема вимірювання температури на рисунку 6 є прикладом низькочастотного застосування, яке дає змогу вмикати ISL28134 прямо в коло проходження сигналу. Прецизійна опорна напруга (ISL21010-41) забезпечує живлення моста напругою 4.096 В. Пряма напруга діода  $D_1$  має негативний температурний коефіцієнт  $-2 \text{ мВ/}^{\circ}\text{C}$  і забезпечує компенсацію холодного спаю за допомогою резисторного кола  $R_1-R_3$ .

Корекція нуля для певної мінімальної температури досягається за допомогою  $R_6$ , тоді як  $R_7$  і  $R_8$  визначають підсилення вихідного підсилювача. Цей підсилювач з однією напругою живлення забезпечує підсилення розімкненого кола 174 дБ і точність 16 біт або вище за високого підсилення в низьковольтних варіантах застосування. Автоматичне обнулення видає шуми  $1/f$ , забезпечує типові значення вхідного зсуву 0.2 мкВ і дрейф напруги зсуву за температурою 0.5 нВ/ $^{\circ}\text{C}$ . Отже, підсилювачі з автоматичним обнуленням ідеально підходять

для прецизійних застосувань з однополярним живленням, де обов'язковою вимогою є висока точність, низький зсув і малий шум.

### Активний фільтр низьких частот

Фільтр низьких частот 3-го порядку на рисунку 7 має частоту зрізу 200 Гц, що вдвічі перевищує тактову частоту автоматичного обнулення. Шуми від накладення спектрів та інтермодуляційні шуми сильно послаблюються, що дає змогу вхідному сигналу працювати в усій ширині смуги підсилення. Крім того, вихід підсилювача забезпечує електророзширення з повним розмахом

напруги, завдяки чому досягається високе відношення «сигнал/шум» за низьких напруг живлення.

### Широкосмуговий підсилювач

У широкосмугових застосуваннях із шириною смуги в десятки МГц ISL28134 забезпечує широкосмуговому підсилювачу точність у ділянці постійного струму. На рисунку 8 показано необхідну конфігурацію у вигляді складеної схеми підсилювача.

ISL28134 працює як інтегрувальний елемент у колі зсуву широкосмугового підсилювача. Шлях проходження сигналу, як зазвичай, проходить від напруги  $V_{IN}$  через  $R_G$  і  $R_F$  до  $V_{OUT}$ . Інтегрувальний елемент має дві функції. За низьких частот він забезпечує високе підсилення контуру придушення зсуву, зменшуючи вхідний зсув широкосмугового підсилювача до вхідного зсуву підсилювача з автоматичним обнуленням. За високих частот коефіцієнт підсилення замкненого кола інтегрувального елемента швидко знижується завдяки великій постійній часу ( $R_{INT}C_{INT}$ ), що запобігає передачі сигналу на неінвертувальний вхід широкосмугового підсилювача.

Оскільки вхідний шум підсилювача підсилюється неінвертувальним підсилювачем кола зворотного зв'язку інтегрувального елемента, за високих частот ISL28134 працює як повторювач напруги ( $KY = 1$ ), передаючи його вхід-

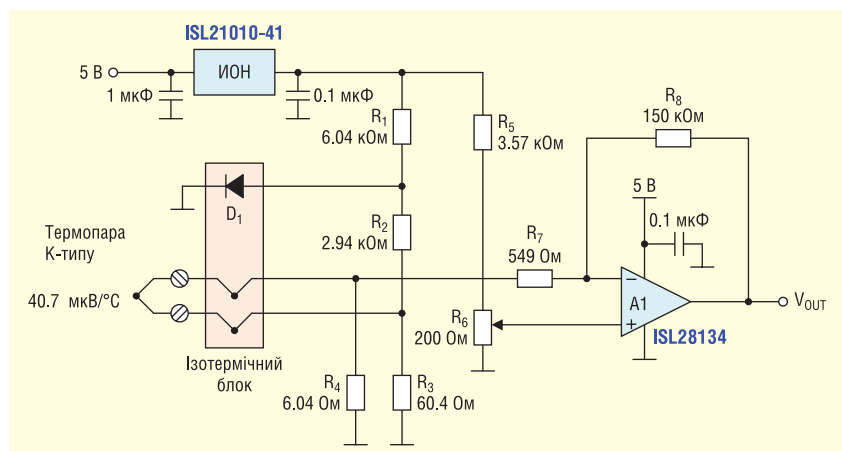


Рис. 6. Вимірювання температури за допомогою термопари

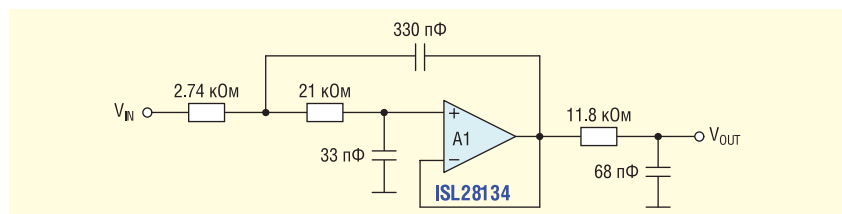
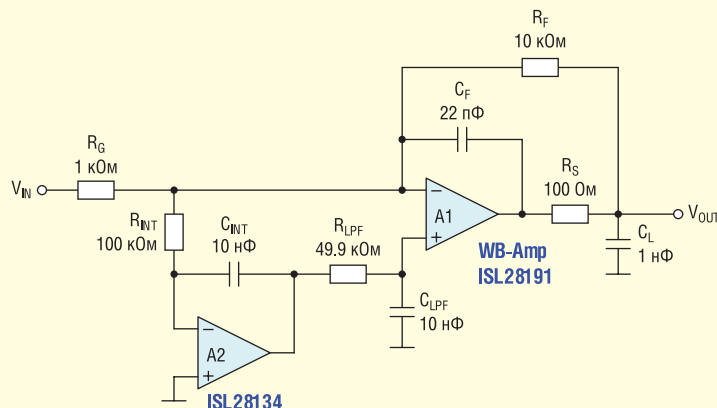
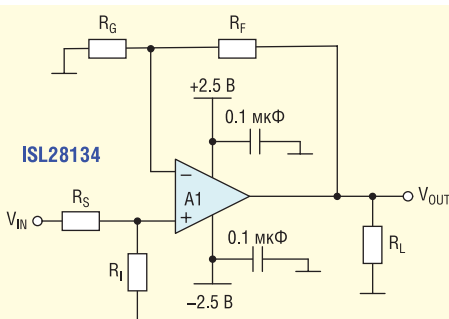


Рис. 7. Фільтр низьких частот 3-го порядку 200 кГц



**Рис. 8.** Широкосмуговий підсилювач, що автоматично обнулюється



**Рис. 9.** Умова  $R_s \parallel R_l = R_f \parallel R_g$  призводить до зниження вхідної напруги зсуву через струми зсуву

ний шум у широкосмуговий підсилювач. Для усунення цього шуму на вихід ISL28134 встановлюють ФНЧ (RLPF, CLPF) з низькою частотою зризу.

У цьому варіанті застосування A1 працює на велике ємнісне навантаження ( $C_L$ ), що взаємодіє з вихідним імпедансом A1 ( $R_O$ ). Для збереження стабільності застосовується резистор  $R_S$  для розділення  $C_L$  і A1. Вихід ( $V_{OUT}$ ) результуючого ФНЧ має зріз  $-3$  дБ при  $f_{-3\text{ dB}} = 1/[2\pi(R_O + R_S)C_L]$ . Однак фазова корекція через  $R_S$  працює тільки за низьких частот. Для високочастотної стабільності реалізують 2-й контур зворотного зв'язку з використанням  $C_F$ , який компенсує відставання за фазою ФНЧ на вихіді A1. Значення  $R_S$  і  $C_F$  розраховуються таким чином:

$$R_S = R_O \cdot \frac{R_F}{R_G}$$

$$C_F = C_L \left( \frac{R_O + R_S}{R_F} \right) \cdot \left( 1 + \frac{R_G}{R_F} \right)$$

#### Підсилювач із високим коефіцієнтом підсилення

Під час проєктування підсилювача з високим коефіцієнтом підсилення (рис. 9) необхідно підтримати вхідний імпеданс нижче певного значення. Вхідний каскад підсилювачів з автоматичним обнуленням (AZA) поводиться не так, як вхідні каскади традиційних підсилювачів. У каскаді AZA використовуються перемикачі на вході підсилювача, які безперервно дискретизують

вхідний сигнал із частотою 100 кГц для зниження вхідної напруги зсуву до міковольт. Динамічні характеристики перемикачів викликають інжекційні струми на вхідних колах підсилювача. Ці струми замикаються за постійним струмом на «землю» через опір на входах підсилювача.

Таким чином, вхідні імпеданси, вищі за 10 кОм, спричиняють значне збільшення струмів зсуву. Для зведення цього ефекту до мінімуму рекомендується, щоб вхідний опір не перевищував 10 кОм.

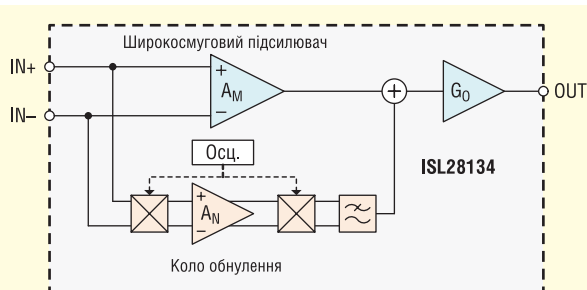
Крім того, слід вирівняти вхідний імпеданс між клемами IN+ і IN- для зведення до мінімуму вхідної напруги зсуву, що виникає через струм зсуву. Цей струм викликає додаткову вхідну напругу зсуву,  $I_{OS} \cdot R_{IN}$ .

Для підсилювача з підсиленням 10000 В/В (80 дБ), що використовує резистор 1 МОм у колі зворотного зв'язку, загальний вхідний струм зсуву 500 пА генерує додаткову вихідну напругу зсуву 0.5 мВ. При підтримці вхідного імпедансу низьким і збалансованим на входах підсилювача цей струм підтримується на рівні нижче за 100 пА, а пов'язаний з ним зсув зменшується до  $\leq 0.1$  мВ.

#### ВИСНОВКИ

Підсилювач ISL28134 ідеально підходить для підсилення сигналів датчиків аналогових вхідних пристройів, включно з датчиками тиску, температури, медичними датчиками, тензометрами та інерціальними датчиками (акселерометрами) з міковольтовими рівнями сигналів. Мікросхему ISL28134 можна використовувати як стандартний підсилювач із високою стабільністю в усьому промисловому діапазоні температури  $-40\ldots125$  °C. На рисунку 10 показано структурну схему пристроя, і перераховано його основні характеристики.

CN



**Рис. 10.** Фільтр низьких частот 3-го порядку 200 кГц

Низька вхідна напруга зсуву	0.2 мВ
Низький дрейф напруги зсуву	0.5 нВ/°C
Широка смуга пропускання	3.5 МГц
Малі електричні шуми	0.8 нВ/√Гц
Широкий діапазон напруги живлення	2.2–5.5 В
Малий струм споживання	675 мА
Розміх напруги	R-R/I/O
Широкий діапазон температур	-40...125 °C

# Semikron Danfoss: компактні та ефективні перетворювачі для електроприводів на основі модулів з карбідом кремнію

**Carsten Schreiter (Карстен Шрайтер), Semikron Danfoss**

**Переклад та редактування: Сергій Поліщук, к.т.н., с.н.с., Інститут електродинаміки (ІЕД) НАН України**

E-mail: sp.tsdrive@gmail.com

**Стаття написана на основі вебінару, проведеного компанією Semikron Danfoss у жовтні цього року, який був присвячений впровадженню SiC модулів в перетворювачах для електроприводів. В ній наведено три приклади використання модулів на основі карбіду кремнію, де показано переваги застосування цих модулів та в яких випадках їх впровадження доцільно в першу чергу, навіть з врахуванням їхньої вищої вартості.**

**Матеріал статті структуровано таким чином: в першій частині розглянуто застосування модулів на основі карбіду кремнію у вхідній ланці перетворювачів, а саме в якості активного вимірювача, в другій частині — класичний інверторний привід.**

**Зауважимо також, що порівняння вартості на рівні окремого модуля (модулів) не має сенсу. Оцінка вартості повинна бути проведена в комплексі. В такому випадку використання в перетворювачах SiC модулів здатне досягти бажаного результату завдяки своїм перевагам в порівнянні з IGBT модулями.**

З моменту першої появи силових напівпровідникових модулів на основі карбіду кремнію доцільність їх застосування в перетворювачах для електроприводів викликала чимало дискусій. Висока ціна, швидке перемикання, відсутність можливості витримувати коротке замикання ставали на заваді для їх впровадження. Сьогодні настав час змінити таку точку зору. Об'єднавши найсучасніші технології збірки модулів з останніми поколіннями чипів SiC MOSFET, компанія Semikron Danfoss забезпечує абсолютно новий ступінь свободи при розробленні перетворювачів для електроприводів.

Силові напівпровідники на основі карбіду кремнію не є абсолютно нови-

ми. Вже сьогодні, вони знаходять широке застосування в багатьох сферах, таких як сонячна енергетика, потужні накопичувачі та зарядні станції для електромобілів, що вимагають великої густини потужності та мінімальних розмірів (рис. 1). Додаткові переваги полягають у мінімізації втрат та зменшенні розмірів пасивних елементів перетворювачів завдяки переходу на вищі частоти перемикання. Однак у перетворювачах для керування електроприводом перспективне використання SiC MOSFET практично не просувається і, в першу чергу, це пов'язано з певними стереотипами, такими як:

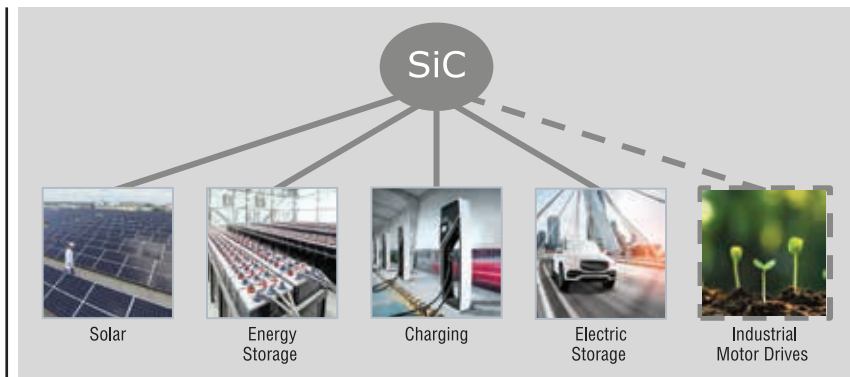
- ціна, яка ніколи не окупиться в електроприводі;

- SiC MOSFET має сенс лише для високих частот, а не для двигунів;
- висока швидкість перемикання призводить до критичних  $du/dt$ ;
- неможливість здійснити захист від коротких замикань — є ключовою завадою;
- традиційно не використовується для приводів двигунів.

Все це призвело до парадигми про неможливість використання SiC модулів в перетворювачах для електропривода. Проте такий підхід не зовсім справедливий та не відповідає реаліям сьогодення.

Розглянемо, чому ж використання модулів на основі карбіду кремнію в перетворювачах для електроприводів має сенс:

1. Пряме падіння напруги. Якщо порівняти IGBT і SiC модулі, що видно з діаграми падіння напруги від навантаження, то для карбіду кремнію це пряма лінія, тоді як IGBT має кривизну (рис. 2). В результаті, наприклад, при однаковому заданому струмі падіння напруги на SiC 1 В, а на IGBT 1.5 В. І це зменшення прямого падіння напруги зменшує фактичні втрати провідності, особливо, коли ми знаходимося в зоні нижче номінального навантаження (заштрихована область на рис. 2).
2. Інтегрований в загальну структуру модуля зворотній діод з низьким значенням  $Q_{rr}$  зменшує втрати на перемикання, а також зменшує коливання температури в структурі модуля,



**Рис. 1. Сфери застосування напівпровідникових приладів на основі карбіду кремнію**

що забезпечує вищу здатність сприймати циклічність навантаження.

3. Набагато швидше перемикання в порівнянні з IGBT.
4. У 2–3 рази краща теплопровідність, що дозволяє розподілити тепло без «гарячих точок».
5. Для нових чипів існує здатність витримувати коротке замикання до 2 мкс.

Таким чином, вище наведені аргументи впливають на термін служби та підвищують здатність до циклічних навантажень. Також, завжди існує можливість перемикання на високих частотах ШІМ (широтно-імпульсна модуляція), хоч це і не завжди обов'язково. Сам матеріал карбіду кремнію має кращу теплопровідність, що означає більш рівномірний розподіл тепла всередині чипа в порівнянні з IGBT.

Останній, не менш важливий фактор, полягає в тому, що найновіші чипи MOSFET з карбіду кремнію, що використовує Semikron Danfoss, забезпечують можливість витримувати к.з., чого бракувало попереднім поколінням модулів. Саме тому це робить придатними до використання SiC модулі в перетворювачах для електроприводів, особливо в тих випадках, де переваги їх використання доволі суттєві.

### ПЕРЕТВОРЮВАЧІ З АКТИВНИМ ВХОДОМ

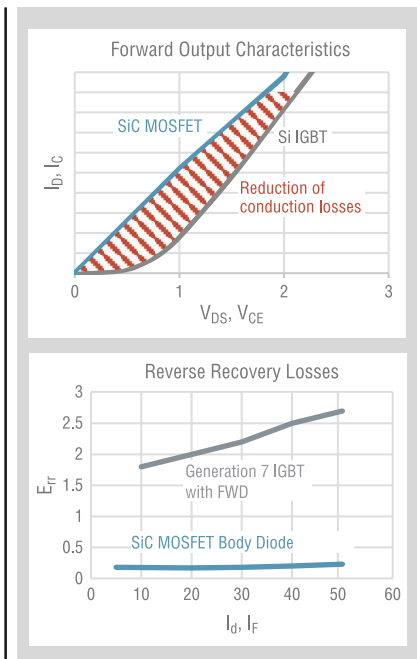
Одним із перспективних напрямків впровадження SiC модулів в електропривід можуть стати перетворювачі з активним входним випрямлячем (*Active Front End Drive*) (рис. 3).

Зазвичай структура таких перетворювачів, що забезпечують низький вміст гармонік у вхідному струмі, містить вхідний керований випрямляч (трифазна мостова схема IGBT) з частотою комутації 5–6 кГц, доволі великий LCL

фільтр, що вимагає використання певної кількості заліза та міді. Фільтр може бути виконаний окремо, чи інтегрованим в перетворювач та відповідати вимогам певних стандартів в залежності від призначення (IEEE 519 у США, EN811 для ліфтів у ЄС тощо).

Стандартний трифазний інвертор з  $dU/dt$  вихідної напруги в межах 5–10 кВ/мкс, щоб уникнути перенапруг на двигуні, особливо з довгим вихідним кабелем, зазвичай обмеженою частотою ШІМ 4–6 кГц, здійснює керування приводом і повинен забезпечити малі розміри та низькі втрати.

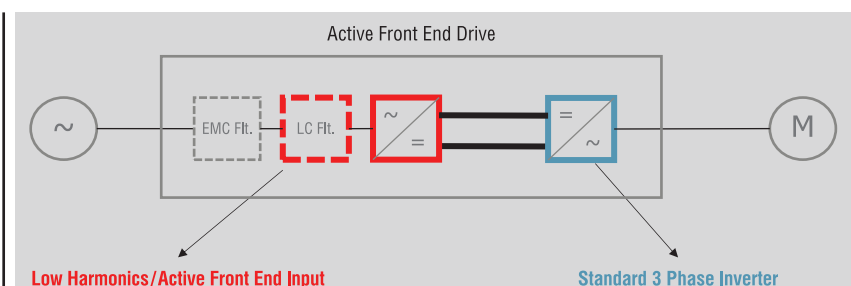
Перетворювачі з активним входом все частіше зустрічаються, або стають все більш популярними. І причина, звичайно, в тому що вміст гармонік струму у класичних перетворювачів доволі високий. У таких перетворювачів вхід реалізовано на основі повністю керо-



**Рис. 2. Діаграма падіння напруги від навантаження**

ваного трифазного випрямляча з IGBT модулів з доволі низькою частотою комутації. При цьому завжди є потреба у використанні LCL для фільтрації гармонік струму високої частоти.

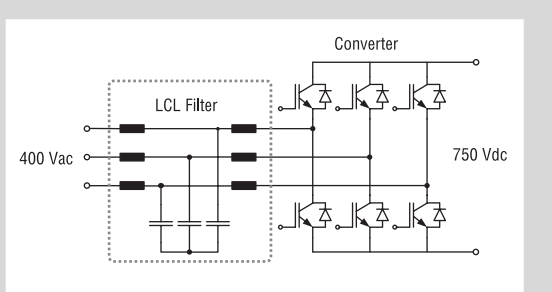
Проілюструємо можливість використання модулів на основі карбіду кремнію в наведений схемі вхідного активного випрямляча (рис. 4) провівши порівняльний аналіз, замінивши в схемі IGBT модулі 7-го покоління на останнє покоління SiC MOSFET — 50 А, одно-



**Рис. 3. Застосування SiC MOSFET в електроприводі (*Active Front End Drive*)**

### Operating Conditions:

- $V_{DC} : 750 \text{ V}$
- $V_{grid} : 400 \text{ V}$
- $I_{Phase} : 30 \text{ A}$
- $\cos \phi : 0.98$
- $f_{grid} : 50 \text{ Hz}$



**Рис. 4. Схема вхідного активного випрямляча**

	Watt Losses	Filter Volume	Filter Weight
Si IGBT		8225 cm³	19.4 kg
SiC MOSFET	Total: 466W 34 % More Efficient	2448 cm³ 70 % Smaller	10.2 kg 47 % Lighter

**Рис. 5. Результати порівняння використання модулів на основі карбіду кремнію з IGBT модулями 7-го покоління**

часно піднявши частоту ШІМ SiC так, щоб отримати аналогічну температуру радіатора при роботі IGBT (до 20 кГц). Для аналізу використано моделювання в програмі *Semikron Danfoss SemiSell*, яку можна безкоштовно використовувати на веб-сайті для проведення теплового моделювання силових схем.

Одночасно проведено порівняння для відповідних фільтрів, до зміни якого привело збільшення частоти ШІМ. Результати порівняння представлено на рисунку 5.

Для стандартного перетворювача (верхній рядок) втрати становлять майже 250 та 466 Вт у фільтрі, що загалом становить 730 Вт при струмі 30 А.

Коли використовували модулі карбіду кремнію, то втрати в перетворювачі зменшилися до 175 Вт, а у

фільтрі — до 291 Вт, що загалом становило 466 Вт.

А це означає, що тільки у вхідному перетворювачі та фільтрі втрати стали на 34% менші, лише від переходу на карбід кремнію, при цьому було дещо збільшено частоту комутації. І це ще не весь виграш.

Об'єм фільтра зменшився на 70%, а його вага — на 47%, що дає можливість інтегрувати перетворювач та фільтр в єдине ціле. Одночасно зменшується звуковий шум, відповідно знижується вартість.

Безумовно, якщо провести просту заміну модулів та порівняти ціни, виграшу ви не отримаєте. Тут необхідний комплексний підхід до всієї системи, тоді отримані переваги можуть легко переважити вартість. Загалом в даному

наведеному конкретному прикладі в результаті можливо отримати:

- більш компактну конструкцію всього перетворювача чи його складової;
- зменшення частотного шуму;
- сукупну економію коштів (*Total Cost of Ownership, TCO*);
- зменшення вартості зберігання та транспортування і в результаті викидів CO<sub>2</sub>;
- менші витрати на монтаж, подальша оптимізація по частоті ШІМ та, як результат, більш компактний та ефективний перетворювач для електропривода.

## Далі буде

**Більш детальну інформацію щодо продукції Semikron Danfoss можна отримати, звернувшись до офіційного дистрибутора в Україні — ТОВ НВП «Техносервис-привід»:**

**03057, м. Київ,  
пр-т Берестейський, 56,  
офіс 335,  
тел.: +38 (044) 458-47-66,  
+38 (067) 463-46-62,  
+38 (095) 284-96-62,  
e-mail: sp.tsdrive@gmail.com,  
semikron@ukr.net,  
service\_danfoss@ukr.net  
[www.tsdrive.com.ua](http://www.tsdrive.com.ua),  
[www.semismart.com.ua](http://www.semismart.com.ua)**

CN

## Video Series: Motor Drive Myths



- [SiC Never Pays Back!](#)
- [SiC is too Expensive!](#)
- [SiC Must Be Fast!](#)
- [SiC Is Not Robust!](#)
- [SiC Is Too Complicated!](#)

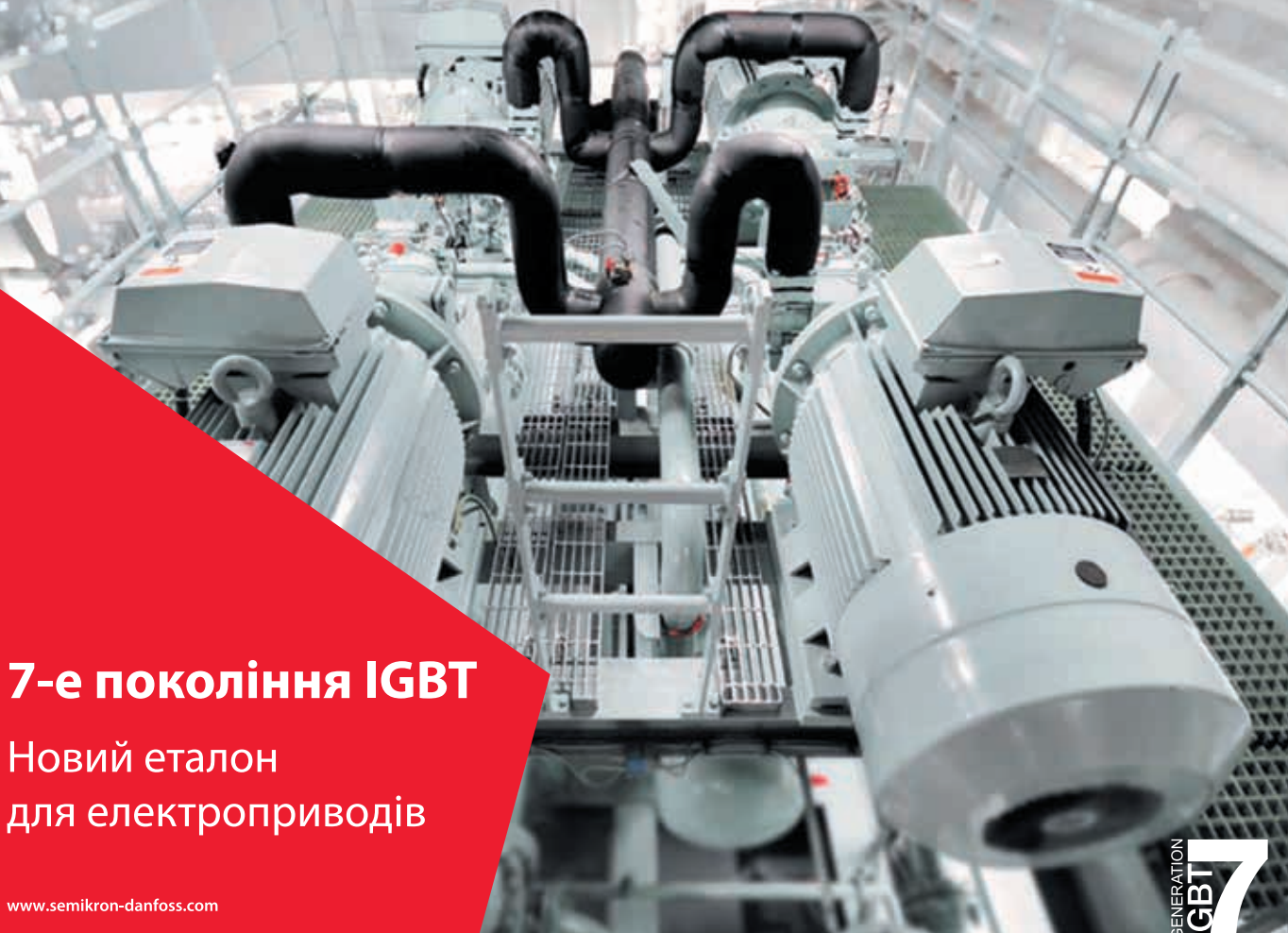
# НВП «ТЕХНОСЕРВІСПРИВІД»

Авторизований сервіс-партнер Danfoss Drives в Україні

[www.semismart.com.ua](http://www.semismart.com.ua), [semikron@ukr.net](mailto:semikron@ukr.net), [\(044\) 458 47 66, \(067\) 463 46 62, \(095\) 284 96 62](mailto:service_danfoss@ukr.net)



Офіційний представник в Україні



## 7-е покоління IGBT

Новий еталон  
для електроприводів

[www.semikron-danfoss.com](http://www.semikron-danfoss.com)

GENERATION  
IGBT 7

Компанія Semikron Danfoss пропонує вам IGBT-транзистори 7-го покоління, розроблені спеціально для потреб електроприводів.

Вища питома потужність, нижча загальна вартість системи та більша ефективність – переваги говорять самі за себе.

### Особливості

Нижча напруга насиження  $V_{ce,sat}$

Підвищена здатність витримувати перевантаження до 175 °C

Втрати на комутацію і dv/dt оптимізовані для електроприводів

На 35% менший розмір корпусу, вища густина потужності в існуючих корпусах

До 20% більша вихідна потужність або на 20% менші втрати потужності



Приводи з низьким енергоспоживанням  
SEMITOP E1/E2: 0.37–30 кВт



Приводи малої та середньої потужності  
MiniSKiiP: 0.37–110 кВт, SEMiX 6 Press-Fit: 15–75 кВт



Приводи середньої та великої потужності  
SEMiX 3 Press-Fit: 55–250 кВт

# Огляд силових промислових запобіжників компанії Littelfuse

**Запобіжники класу G** відповідають вимогам стандартів UL 248-5 і CSA C22.2 № 106 (класифікований як HRCI-Misc.). У цьому класі є одна серія запобіжників SLC [20] (рис. 24), які не взаємозамінні із запобіжниками інших класів. Тимчасова затримка становить мінімум 12 с за струмом, що дорівнює 200% від номінального значення.

Запобіжники серії SLC мають такі параметри:

- номінальний струм: 0.5–60 А, при замовленні вказується його фактичне значення з великого асортименту в пропонованому ряду;



Рис. 24. Запобіжники серії SLC

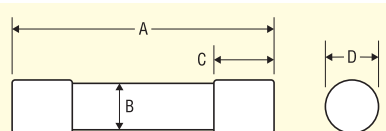


Рис. 25. Корпус, у якому виготовляють запобіжники серії SLC

Таблиця 7. Габаритні розміри запобіжників серії SLC

Струм, А	Розмір, дюйм (мм)			
	A	B	C	D
1/2–15	15/16 (33.3)			
20	1 13/32 (35.7)	3/8 (9.5)	3/8 (9.5)	13/32 (10.3)
25.30	1 5/8 (41.3)			
35–60	2 1/4 (57.2)		1/2 (12.7)	

\* Закінчення. Початок див. CHIP NEWS, № 7, 8, 2024.

- номінальна напруга змінного струму: 600 В для запобіжників з номінальними струмами 0.5–20 А і 480 В для запобіжників з номінальними струмами 25–60 А; постійного струму 170 В;
- вимикальна здатність: для змінного струму 100 кА; для постійного струму 10 кА.

Для встановлення запобіжників рекомендовані тримачі серій: LFG60 для запобіжників зі струмом 0.5–20 А і LFG48 для запобіжників зі струмом 25–60 А.

Корпус, у якому виготовляють запобіжники серії SLC, показано на рисунку 25, а їхні габаритні розміри — у таблиці 7.

**Запобіжники класу K** відповідають вимогам стандарту UL 248-9. У цьому класі є класи K1 і K5.

**Запобіжники класу K1** характеризуються таким самим ступенем обмеження струму та економічністю, як і розглянуті вище запобіжники класу RK1. Середньоквадратичне значення симетричного показника змінного струму для запобіжників цього класу становить 50 або 100 кА.

Клас містить серії швидкодіючих запобіжників KLRN, KLSR і серії запобіжників із тимчасовою затримкою LLNRK, LLSRK, параметри яких збігаються з параметрами запобіжників класу RK1.

**Запобіжники класу K5** мають такий самий ступінь обмеження струму за того самого середньоквадратичного значення симетричного показника змінного струму, як і розглянуті вище запобіжники класу RK5.

У цьому класі є серії NLN, NLS [21, 22] (рис. 26), які забезпечують недорогий захист фідерів і паралельних кіл загального призначення за доступних струмів короткого замикання менше ніж 50 кА.

Запобіжники серій NLN, NLS мають такі параметри:

- номінальний струм: 1–600 А, при замовленні вказується його фактичне значення з великого асортименту в пропонованому ряду;
- номінальна напруга змінного струму: 250 В для запобіжників NLN і 600 В для запобіжників NLS; постійного струму: 250 В (NLN), 400 В (NLS

з номінальними струмами 35–60 А), 500 В (NLS з номінальними струмами 8–30 А і 225–600 А), 600 В (NLS з номінальними струмами 1–7 А і 70–200 А);

- вимикальна здатність: для змінного струму 50 кА; для постійного струму 20 кА (з номінальними струмами 1–60 А), 50 кА (з номінальними струмами 70–600 А).

Для встановлення цих запобіжників рекомендовані тримачі серій LFH60 і LFH25.

Корпуси, у яких виготовляють запобіжники серій NLN, NLS, показано на рисунку 27, а їхні габаритні розміри — у таблиці 8.

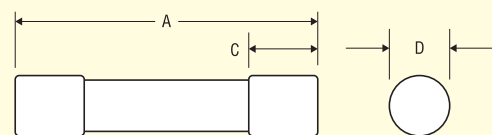
**Мініатюрні запобіжники класу Midget 10 × 38 mm Fuses** призначенні для захисту кіл від перевантаження, відповідають вимогам стандартів UL 248-14, UL 248-19 і CSA C22.2 № 59-1 і розраховані на змінний та/або постійний струм. До цього класу входять серії: BLF, BLN, BLS, FLA, FLM, FLQ, FLU, KLK, KLQ, KLKD, SPF.

Стандарти поділяють цей клас запобіжників на мікрозапобіжники, мініатюрні запобіжники (стандарт CSA класифікує їх як додаткові запобіжники) і картриджні запобіжники, які мають такі характеристики:

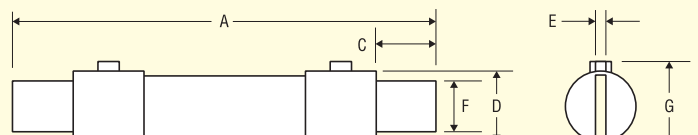
- мікрозапобіжники:
  - номінальний струм: 10 А (за стандартом UL) і 60 А (за стандартом CSA),



Рис. 26. Запобіжники серій NLN, NLS



Фіг. 1



Фіг. 2

Рис. 27. Корпуси, у яких виготовляють запобіжники серій NLN, NLS

Таблиця 8. Габаритні розміри запобіжників серій NLN, NLS

Струм, A	Фіг. № на рис. 27	Серія	Розмір, дюйм (мм)								
			A	B	C	D	E	F			
1-30	1	NLN	2 (50.8)	1/2 (12.7)	1/2 (12.7)	9/16 (14.3)	—	—			
		NLS	5 (127.0)	3/4 (19.1)	5/8 (15.9)	13/16 (20.6)					
		NLN	3 (76.2)	1 (25.4)		1 1/16 (27.0)					
		NLS	5 1/2 (139.7)								
35-60	1	NLN	5 7/8 (149.2)	1 (25.4)	1 (25.4)	1 1/8 (3.2)	3/4 (19.1)	1 5/16 (33.3)			
		NLS	7 7/8 (200.0)					1 9/16 (39.7)			
	2	NLN	7 1/8 (181.0)	1 1/4 (31.8)	1 3/8 (39.7)	1 9/16 (39.7)	3/16 (4.8)	1 7/8 (47.6)			
		NLS	9 5/8 (244.5)					2 3/32 (53.2)			
70-100	2	NLN	8 5/8 (219.1)	2 (50.8)	1 7/8 (47.6)	2 3/32 (53.2)	1/4 (6.4)	2 13/32 (61.1)			
		NLS	11 5/8 (295.3)	2 1/2 (63.5)				2 7/8 (73.0)			
		NLN	10 3/8 (263.5)	2 1/4 (57.2)	3 3/32 (78.6)	2 (50.8)	3 7/16 (87.3)				
		NLS	13 3/8 (339.7)	3 (76.2)							

- номінальна напруга: 125 В (за стандартом UL) і 250 В (за стандартом CSA);
- вимикальна здатність для змінного струму: 50 А;
- мініатюрні запобіжники:
  - номінальний струм: 30 А (за стандартом UL) і 60 А (за стандартом CSA),
  - номінальна напруга: 125 або 250 В (за стандартом UL) і 600 В (за стандартом CSA), вимикальна здатність для змінного струму: 10 кА;
- картриджні запобіжники:
  - номінальний струм: 30 А (за стандартом UL) і 60 А (за стандартом CSA),
  - номінальна напруга: 125-1 000 В (за стандартом UL) і до 100 В (за стандартом CSA), вимикальна здатність для змінного струму: 10, 50 і 100 кА.

Тимчасова затримка при струмі, що дорівнює 200% від номінального значення, становить щонайменше 10 с для запобіжників з номінальним струмом 3 А і щонайменше 12 с — для запобіжників з номінальним струмом понад 3 А.

Як приклад розглянемо швидкодіючі запобіжники серії KLKD класу Midget 10 × 38 mm Fuses [23] (рис. 28). Ця серія запобіжників знаходить застосування в суматорах сонячних батарей і в колах зі струмами короткого замикання постійного струму, що досягають 50 кА. Запобіжники KLKD доступні в стандартній конфігурації (версія Ferrule) і конфігурації для монтажу на пластих (версія PCB).

Запобіжники серії KLKD мають такі параметри:

- номінальний струм: 0.1-30 А, причому при замовленні вказується його фактичне значення з пропонованого ряду;
- номінальна напруга: 600 В як для змінного, так і для постійного струму;

вання в суматорах сонячних батарей і в колах зі струмами короткого замикання постійного струму, що досягають 50 кА. Запобіжники KLKD доступні в стандартній конфігурації (версія Ferrule) і конфігурації для монтажу на пластих (версія PCB).

Запобіжники серії KLKD мають такі параметри:

- номінальний струм: 0.1-30 А, причому при замовленні вказується його фактичне значення з пропонованого ряду;
- номінальна напруга: 600 В як для змінного, так і для постійного струму;

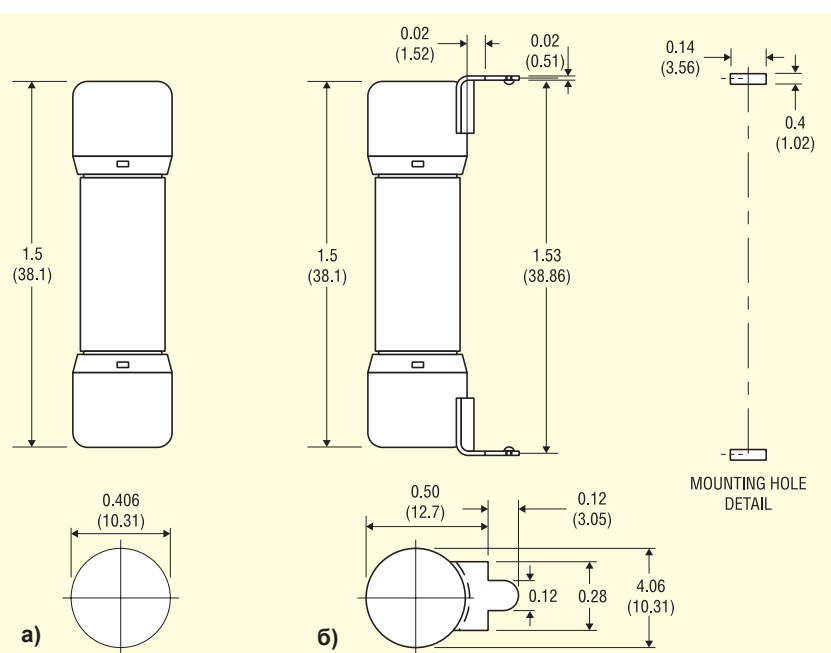


Рис. 29. Корпуси, у яких виготовляються запобіжники серії KLKD: версія Ferrule (а); версія PCB (б). розміри вказано в дюймах, а в дужках — у міліметрах

- вимикальна здатність для змінного струму становить 100 кА; для постійного струму — 10 кА (стандарт UL 248-19) або 50 кА (стандарт UL 248-14).

Для встановлення цих запобіжників рекомендовані тримачі серій LFPSM, LPSM і L60030M.

Корпуси, у яких виготовляють запобіжники серії KLKD, показано на рисунку 29.

**Запобіжники спеціального призначення (Semiconductor)** (стандари UL для цієї категорії запобіжників поки що відсутні) мають особливі характеристики та призначенні для захисту спеціального електричного або електронного обладнання, що містить діоди, транзистори, тиристори, конденсатори, автоматичні вимикачі з вбудованими запобіжниками, паралельні кабелі тощо. Згодом ці запобіжники можуть бути визнані UL для використання як компонент обладнання.

Номінальний струм цих запобіжників досягає 6 кА, номінальна напруга 1000 В як змінного, так і постійного струму, а вимикальна здатність 200 кА.

Ця категорія містить такі серії запобіжників: KLC, LA15QS, LA30QS, LA50QS, LA60QS, LA60X, LA70QS, LA100P, LA120X, LA070URD, LA130URD, L15S, L25S, L50S, L60S, L70S, JLLS.

### Запобіжники з неструмовим обмеженням

**Запобіжники класу H** (відомі також як NEMA Class H, а іноді звані запобіжниками NEC або Code) відповідають стандартам UL 248-6, CSA C22.2 № 59.1.

Запобіжники цього класу фізично взаємозамінні із запобіжниками класів K1 і K5.

У цьому класі спочатку було два типи запобіжників: одноразові (невідновлювані) і поновлювані (самовідновлювані). Невідновлювані запобіжники можуть мати тимчасову затримку, яка становить щонайменше 10 с за струмом, що дорівнює 200% від номінального значення. Відновлювані ж запобіжники наразі знято з виробництва.

**Вставні запобіжники (плавкі вставки)** відповідають вимогам стандартів UL 248-11, CSA C22.2, № 59.1, розраховані на номінальний струм 0-30 А, номінальну напругу 125 В змінного струму і мають вимикальну здатність 10 кА. Номінал відключення на запобіжнику не вказується.

Є два типи таких запобіжників: з цоколями Edison-base і Type S (S Plug).



**Рис. 30. Запобіжники з цоколями Edison-base**

Цоколь першого з них (рис. 30) має металеве різьблення і нагадує цоколь стандартної лампочки. NEC дозволяє використовувати запобіжники з цоколем Edison-base тільки для заміни запобіжників, що вийшли з ладу, і тільки за відсутності ознак втручання або перегорання. Доступні дві серії таких запобіжників: TOO, TLO.

Другий тип має неметалеву основу і не взаємозамінний із запобіжниками Edison-base. Для його використання в гнізді запобіжника Edison-base необхідний переходник (адаптер) серії SAO. Щоб уникнути перезаряджання адAPTERI мають три номінальні струмові діапазони: 10-15, 16-20 і 21-30 А. Доступні дві серії запобіжників Type S (S Plug): SOO, SLO.

Плавкі вставки можуть мати тимчасову затримку, у цьому разі вони повинні утримувати 200% номінального струму протягом мінімум 12 с.

Плавкі вставки можна використовувати, якщо напруга між проводами не перевищує 125 В, а між будь-яким проводом і загальним проводом — не більше 150 В. Це дає змогу використовувати їх у заземлених однофазних колах із напругою 120/240 В.

### РЕКОМЕНДАЦІЇ ЩОДО ЗАСТОСУВАННЯ ЗАПОБІЖНИКІВ

#### Запобіжники з номінальними струмами 0.1–600 А

Якщо струми короткого замикання становлять менше ніж 100 кА і обладнання не потребує струмообмежувальних характеристик запобіжників класу RK1, то використання запобіжників се-

рій FLNR і FLSR\_ID класу RK5 забезпечують цілком пристойні результати за їхньою нижчою вартості, ніж запобіжників класу PK1. Якщо струми короткого замикання перевищують 100 кА, обладнання можуть знадобитися додаткові можливості обмеження струму запобіжниками серій LLNRK, LLSRK і LLSRK\_ID класу RK1.

Швидкодіючі запобіжники серій JLLN і JLLS класу T, що мають малі габарити, кращі для захисту автоматичних вимикачів у литому корпусі, вимірювальних блоків та аналогічних пристрій з обмеженим простором.

Запобіжники серій JTD\_ID і JTD класу J з витримкою часу використовують у вузлах керування двигунами і трансформаторами, що вимагають економії місця.

Запобіжники класу CC/CD застосовуються в колах і панелях керування, де простір обмежений. Так, запобіжники серії CCMR цього класу оптимальні для захисту невеликих двигунів, а запобіжники серії KLDR — для силових трансформаторів і подібних пристрій.

### Запобіжники з номінальними струмами 601–6000 А

Для забезпечення надійного захисту більшості кіл загального призначення і кіл двигунів рекомендуються запобіжники серії KLPC класу L, оскільки мають тимчасову затримку і кращі для таких високих номіналів струму.

Запобіжники, що відповідають вимогам до запобіжників з обмеженням струму, повинні мати маркування «Обмеження струму». На етикетках запобіжників мають бути зазначені клас запобіжника, назва або товарний знак виробника, номінальний струм, номінальна напруга змінного та/або постійного струму, а також номінальне значення вимикальної здатності.

### Тримачі запобіжників і блоки запобіжників

Вибір тримача запобіжника (або блоку запобіжників) для конкретного застосування не менш важливий, ніж вибір самого запобіжника. Під час вибору тримачів необхідно враховувати номінальні струм і напругу запобіжника, вимикальну здатність, фізичні розміри, наявність індикації обриву тощо. Крім того, мають значення такі додаткові параметри: кількість полюсів, монтажна конфігурація і тип роз'єму.

Кількість полюсів кожного комплекту запобіжників визначається характеристиками кола. Більшість серій запобіж-

ників доступні в 1-, 2- або 3-полясних конфігураціях, хоча деякі з них також доступні з чотирма або більше полюсами. Можливість об'єднання окремих блоків запобіжників у довші смуги залежить від доступного простору і типу дротів, що використовуються.

Залежно від конструкції блоку запобіжників слід під час його вибору звернути увагу і на те, як його встановлюють або вставляють у панель. Раніше блоки запобіжників просто угвинчували в задню частину панелі, але тепер у багатьох нових конструкціях забезпечено можливість їхнього монтажу на DIN-рейку, що дає змогу швидко встановлювати та знімати блоки з напрямних.

Для блоків запобіжників доступний вибір із трьох типів приєднання проводів:

- гвинт — для використання з плоскими наконечниками або кільцевими клемами;
- гвинт із притискою пластиною — для використання з твердим або багатожильним проводом без клеми; рекомендується для застосувань, де може мати місце вібрація;
- коробчатий наконечник — найміцніший із трьох варіантів; використо-

вується з усіма типами одножильних проводів, а також багатожильних проводів класу В і С.

Під час вибору тримача запобіжника або блоку запобіжників, необхідних для конкретного застосування, слід враховувати низку додаткових аспектів.

Приклади: блоки класу Н допускають використання запобіжників класу Н, класу K5 і класу R; блоки запобіжників Midget допускають використання запобіжників як M idget, так і класу CC/CD тощо.

Ось ще кілька прикладів: тримачі запобіжників як класу R, так і класу CC/CD мають функцію захисту, що запобігає встановленню запобіжника іншого класу або типу, фізичні розміри запобіжників класів J і T забезпечують те саме, запобігаючи встановленню запобіжників іншого класу.

Тримачі запобіжників класу Н підходять також для запобіжників RK5, RK1 і K1, K5.

**За додатковою інформацією, а також з питань придбання продукції Littelfuse звертайтесь до її офіційного дистрибутора на території України — Компанії CEA:**

тел.: +38 (044) 330-00-88,  
e-mail: [info@sea.com.ua](mailto:info@sea.com.ua),  
[www.sea.com.ua](http://www.sea.com.ua)

#### Література:

1. POWR-CARD Products. Technical Application Guide. Littelfuse.
2. [www.littelfuse.com/klpc](http://www.littelfuse.com/klpc)
3. [www.littelfuse.com/kllu](http://www.littelfuse.com/kllu)
4. [www.littelfuse.com/ldc](http://www.littelfuse.com/ldc)
5. [www.littelfuse.com/klnr](http://www.littelfuse.com/klnr)
6. [www.littelfuse.com/klsr](http://www.littelfuse.com/klsr)
7. [www.littelfuse.com/llnrk](http://www.littelfuse.com/llnrk)
8. [www.littelfuse.com/llsr](http://www.littelfuse.com/llsr)
9. [www.littelfuse.com/lhr](http://www.littelfuse.com/lhr)
10. [www.littelfuse.com/flsr](http://www.littelfuse.com/flsr)
11. [www.littelfuse.com/idsr](http://www.littelfuse.com/idsr)
12. [www.littelfuse.com/jls](http://www.littelfuse.com/jls)
13. [www.littelfuse.com/jtd](http://www.littelfuse.com/jtd)
14. [www.littelfuse.com/ldfj](http://www.littelfuse.com/ldfj)
15. [www.littelfuse.com/klkr](http://www.littelfuse.com/klkr)
16. [www.littelfuse.com/kldr](http://www.littelfuse.com/kldr)
17. [www.littelfuse.com/ccmr](http://www.littelfuse.com/ccmr)
18. [www.littelfuse.com/jlln](http://www.littelfuse.com/jlln)
19. [www.littelfuse.com/jlls](http://www.littelfuse.com/jlls)
20. [www.littelfuse.com/slcl](http://www.littelfuse.com/slcl)
21. [www.littelfuse.com/nlh](http://www.littelfuse.com/nlh)
22. [www.littelfuse.com/nls](http://www.littelfuse.com/nls)
23. [www.littelfuse.com/klkd](http://www.littelfuse.com/klkd)

CN



## Серії NTS/NTU

250-3200 Вт

Нове покоління інверторів  
з чистою синусоїдою



- Витримують пікові навантаження до 200%
- Коефіцієнт гармонійних спотворень (THD) < 3%
- Споживання енергії в режимі холостого ходу < 1.5 Вт
- Інтелектуальний контроль роботи вентиляторів (NTS-450~3200 / NTU-1200~3200)
- Вбудована функція UPS (NTU-1200 ~ 3200)
- До 37% менші габарити у порівнянні з минулими поколіннями TS/TN
- 3 роки гарантії

Компанія CEA — авторизований дистрибутор MEAN WELL на території України



ІННОВАЦІЇ ТА  
ЕФЕКТИВНІСТЬ



Україна, 02094, м. Київ, вул. Krakівська, 13-Б

тел./факс: +38 044 330-00-88

[info@sea.com.ua](mailto:info@sea.com.ua), [www.sea.com.ua](http://www.sea.com.ua)

# Модернізація силових модулів для підвищення густини потужності та терміну служби

**Штефан Бушхорн (Stefan Buschhorn), Infineon Technologies  
Клаус Фогель (Klaus Vogel), Infineon Technologies**

**Покращення теплових характеристик може бути досягнуто завдяки використанню «хвильової» концепції підключення базової плати силового модуля, навіть якщо всі інші елементи залишаються незмінними.**

Електрифікація приводів великовантажних автомобілів створює безліч викликів для виробників силових напівпровідникових приладів. Однією з найскладніших вимог є підвищення стійкості до циклічних навантажень: цей показник багато в чому визначає термін служби силових модулів. «Хвильова» базова плата вдосконаленого корпусу EconoDUAL3 вже добре себе зарекомендувала: така структура заднього боку силового модуля значно покращує теплові характеристики системи охоложення з відкритим рідинним радіатором без зміни інших елементів конструкції модуля. Залежно від радіатора такий підхід дає змогу збільшити вихідний струм більш ніж на 20% або, відповідно, значно підвищити термін служби за заданого профілю навантаження.

лодження з відкритим рідинним радіатором без зміни інших елементів конструкції модуля. Залежно від радіатора такий підхід дає змогу збільшити вихідний струм більш ніж на 20% або, відповідно, значно підвищити термін служби за заданого профілю навантаження.

## ПОРІВНЯННЯ КОНЦЕПЦІЙ РАДІАТОРІВ

Для пасажирських електромобілів і електробусів рідинні радіатори вважаються стандартним рішенням, при цьому існують дві різні конструктивні концепції, показані на рисунку 1. Первій варіант — охолоджувальна плита закритої системи охоложення, в якій силовий модуль з термопастою встановлюється зверху на теплостік.

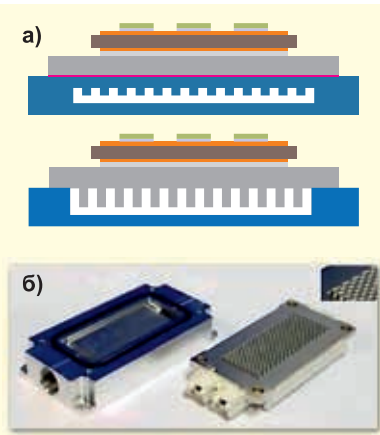
Чітко визначений тепловий інтерфейс «модуль-радіатор» дає змогу окремо легко оптимізувати температуру обох частин, а також використовувати стандартні компоненти системи охоложення. Однак підвищити ефективність відведення тепла можна за допомогою концепції «відкритої» системи, за якої задній бік силового модуля перебуває в безпосередньому контакті з рідиною. В останньому випадку теплові характеристики визначаються як комбінація параметрів тепловідведення і силового модуля, оскільки залежать від властивостей інтерфейсу між базовою платою і радіатором.

На рисунку 1б представлено модуль із «хвильовою» базовою платою. За такої концепції задній бік модуля розміщується у «відкритому» радіаторі. Хвильова структура збільшує площину поверхні та водночас підвищує турбулентність у рідині. Обидва ефекти знижують тепловий опір, що забезпечує зменшення температури напівпровідникових чипів порівняно зі звичайним конструктивом із плоскою базою. На противагу цьому стандартний силовий модуль із нанесеним інтерфейсним шаром термопасти встановлюється на монтажну площину закритого радіатора. До того ж площа поверхні, що охолоджується рідиною, та турбулентність визначаються тільки властивостями радіатора.

## ЕФЕКТИВНІСТЬ ОХОЛОДЖЕННЯ В РІЗНИХ УМОВАХ

Порівняння продуктивності виконано для напівмостового модуля з номінальним струмом 900 А в корпусі EconoDUAL3. Для коректності порівняння обидва варіанти системи тестиються за різних струмів  $I_{rms}$  і частоти перемікання 4 кГц. Вимірювання температури чипів виконано за допомогою тепловізора на спеціально підготовлених відкритих модулях, пофарбованих у чорний колір.

На рисунку 2 показано тепловий профіль відкритого модуля для двох різних концепцій охоложення за однакових умов експлуатації. Стандартний силовий ключ із плоскою базовою платою встановлено на закритому радіаторі, таєм самий елемент із «хвильовою» базою працює на відкритому теплостіці. Перевага другого варіанта, що забезпечує явне зниження температури, очевидна.



**Рис. 1. Дві концепції радіаторів: силовий модуль на закритому (зверху) і відкритому (знизу) рідинному радіаторі (а); хвильова технологія – базова плата силового модуля встановлена на відкритий радіатор (б)**

Середня температура чипів  $T_{jav}$  визначена за тепловим профілем, використовується для подальшого аналізу. На рисунку 3 наведено значення  $T_{jav}$  для різних концепцій охолодження залежно від вихідного струму. Температура води на вході ( $+50^{\circ}\text{C}$ ) показана горизонтальною лінією для індикації максимальних пульсацій  $T_j$  у кожному робочому режимі. І знову варіант із відкритим тепловідведенням і «хвильовою» базою забезпечує набагато менше нагрівання, яке додатково зменшується зі збільшенням об'ємної витрати рідини. За швидкості потоку  $15 \text{ л/хв}$  і  $I_{rms} = 500 \text{ A}$  досягається зниження температури на  $25 \text{ K}$ . Своєю чергою, скорочуватимуться і пульсації  $T_j$  для заданого профілю навантаження.

Отримані результати дуже привабливі для великоважливих автомобілів, де максимальна робоча температура має бути обмежена, щоб уникнути великих градієнтів  $T_j$ , що призводять до зниження терміну служби. Як альтернатива рішення з «хвильовою» базою дозволяє збільшити вихідний струм до  $30\%$ , що також збільшує густину потужності.

Під час розгляду графіків може здатися, що підвищення швидкості потоку є хорошим рішенням, однак це досягається завдяки збільшенню перепаду тиску на тепловідводі. Зрештою необхідний ретельний аналіз системи охолодження, що дає змогу знайти оптимальний баланс між швидкістю потоку, перепадом тиску і тепловими характеристиками системи.

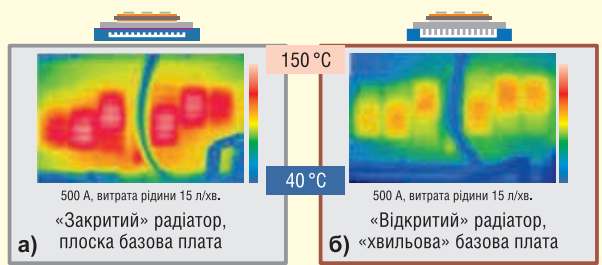
## ПОКРАЩЕННЯ ПОКАЗНИКІВ НАДІЙНОСТІ

**Ц**е один дуже важливий показник для транспортних застосувань — термін служби силових модулів. Насамперед це стосується міського транспорту, для якого характерна велика кількість стартів і зупинок, що вимагає від приводу високої надійності під час впливу циклічних імпульсів потужності (Power Cycling, PC). Характеристики стійкості силових модулів до термоциклиювання надаються виробником, проте слід оцінити використаний метод перевірки, оскільки він може істотно вплинути на результати випробувань.

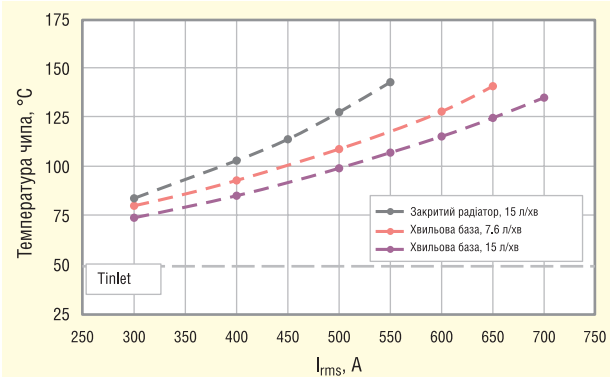
Оскільки концепція «хвильової» бази вимагає доопрацювання тільки нижньої сторони модуля, загальна стійкість до PC у цьому разі така сама, як і у стандартних компонентів. З урахуванням цього покращення теплових характеристики, як описано вище, призводить до зменшення пульсацій температури  $i$ , отже, до збільшення терміну служби для заданого профілю навантаження.

Перше уявлення про переваги нової концепції можна отримати, зробивши просте порівняння: максимальний градієнт температури визначається температурою води на вході системи та нагріванням чипа за заданого струму  $I_{rms}$ . Якщо припустити, що це єдина пульсація температури на одному циклі навантаження, то можлива кількість циклів безпосередньо визначається кривою PC.

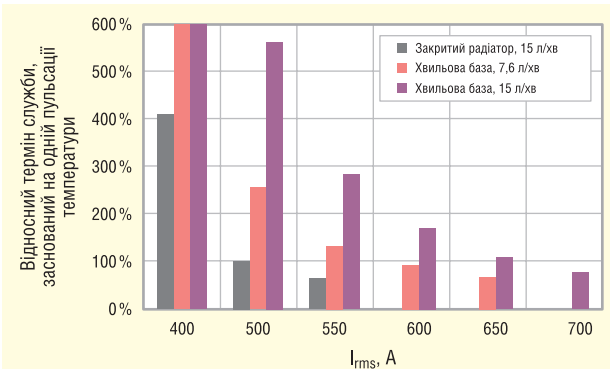
На рисунку 4 показано підсумковий відносний термін служби модулів для різних концепцій охолодження. Виходячи з цих даних за вихідного струму  $500 \text{ A}$  термін служби може бути підвищено у 2–5 разів. Водночас вихідний струм може бути збільшений від  $20\%$  більш ніж до  $30\%$ , залежно від швидкості потоку для одного і того ж конструктиву без шкоди для надійності. Це дуже перспективні оцінки, особливо з урахуванням того, що сам силовий модуль, його електрична схема і плата драйвера взагалі не змінюються. Єдина



**Рис. 2.** Вимірювання температури закритого радіатора з плоскою базовою платою (а) і відкритого радіатора з хвильовою базовою платою (б). В обох випадках струм  $I_{rms} = 500 \text{ A}$ , витрата рідини –  $15 \text{ л/хв}$



**Рис. 3.** Температура чипа (вимірювання за допомогою тепловізору) закритого радіатора за швидкості потоку  $15 \text{ л/хв}$  і відкритого радіатора, з'єднаного з «хвильовою» базою модуля, за двох різних швидкостей потоку



**Рис. 4.** Відносний термін служби, передбачається тільки одна пульсація температури при заданому струмі  $I_{rms}$

відмінність полягає в переході від плоскої базової плати до «хвильової» з відкритим тепловідведенням.

Підбиваючи підсумок, можна вважати доведеним, що «хвильова» технологія забезпечує явну перевагу для конкретного застосування. Завдяки «хвильовій» конструкції заднього боку силового модуля досягається помітне поліпшення теплових характеристик, водночас усі інші елементи конструкції залишаються незмінними. Це може бути використано для збільшення вихідного струму більш ніж на  $20\%$  або для значного підвищення ресурсу модуля за заданих умов експлуатації. Останнє особливо привабливо для застосувань із високим циклічним навантаженням, як-от електробуси або електричні розвізні вантажівки, де режим «старт-стоп» висуває високі вимоги до надійності силового модуля.

# Безпечна система з'єднань для тягових батарей ВСОН+

**Система високовольтного підключення ВСОН+ від TE Connectivity є універсальним, компактним, надійним і безпечним рішенням для з'єднання елементів тягової батареї та точок підключення високої напруги поза батареєю. Вона безпечна для дотиків у несполученому і сполученому стані. Система ВСОН+ забезпечує міцне з'єднання і надзвичайно низький контактний опір.**

## ЦІЛІ РОЗРОБКИ ВСОН+

Контакти акумулятора в електрифікованому транспортному засобі мають відповісти дуже високим вимогам. Тому метою проєктування стало забезпечення роботи за постійного струму 400 А з короткими піками до 1200 А та напругою до 1000 В за типових температур  $-40\dots+80$  °C. Основне завдання полягало в тому, щоб досягти дуже низького контактного опору з мінімальними втратами потужності. Контакти ВСОН+ мають максимальний опір 10 мкОм. Роз'єми модулів забезпечують вібростійкість 3-го рівня (LV214, SG 3) відповідно до специфікації випробувань виробника LV215.

Система з'єднань такого типу передбачає легке та безпечне складання. Залежно від транспортного засобу та акумулятора система повинна мати гнучку конфігурацію. Це стосується з'єднань, що мають геометричні обмеження, а також з'єднань різних типів провідників. Крім того, з'єднання модулів повинні відповісти вимозі до терміну служби в 10 років (або 300 000 км) і витримувати до 25 циклів сполучення болтами. В електрифікованому транспортному засобі навантаження під час заряджання підвищує вимоги до надійності компонентів батареї, і час заряджання має бути включено в загальний час роботи.

## КОРОТКИЙ ОПИС СИСТЕМИ ВСОН+

Фактичне з'єднання елементів досягається за допомогою плоских алюмінієвих шин, що контактиують усередині модуля (рис. 1). Кожен модуль підключається до системи батарей через плоскі болтові з'єднання, виготовлені

з міді. Вони об'єднують нижню частину гальванічного мідного інтерфейсу з різьбовою вставкою із загартованої сталі. Інтерфейс з'єднань є вставним болтом, з'єднаним із багатожильним мідним дротом (високовольтним кабелем).

Під час встановлення ВСОН+ контакт високовольтного кабелю сполучається з мідним інтерфейсом (рис. 2). У разі коректного з'єднання відбудеться фіксація кабелю на шині для зручності подальшого монтажу.

Вогнетійкість пластмасових деталей відповідає стандарту НВ, захист V0 надається за запитом. Форма корпусу дає змогу оптимально використовувати доступний монтажний простір (рис. 3), забезпечуючи водночас максимальну безпеку. Усі струмопровідні частини укладені в оболонки із силіконовим покриттям або в оболонки зі скловолокна, стійкого до високих температур. З'єднання між алюмінієвими шинами та одножильними мідними інтерфейсами створюються за допомогою різних технологій зварювання та скріплення.

Стяжний болт M5, який використовується для затягування круглих мідних інтерфейсів, був розроблений компанією TE Connectivity із загартованого матеріалу. Головка болта покрита пластиком і затягується стандартним внутрішнім шестигранником. Болт перетинає обидва круглі інтерфейси з плоскою монтажною поверхнею, а потім вкручує різьбову гільзу через нижню частину болтового кінцевого з'єднувача ВСОН+ (рис. 4).

У цій конструкції механічний натяг застосовується тільки в системі «сталі-сталі», повністю відокремлений від електричного з'єднання на шляху «мідь-мідь» (рис. 5). Для вирішення різних завдань випускаються мідні шини найрізноманітнішого профілю, включно з прямими



Рис. 1. Система ВСОН+



Рис. 2. Інтерфейс ВСОН+ спочатку сполучається, замикається і потім закріплюється болтами

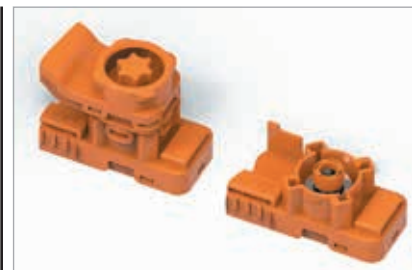
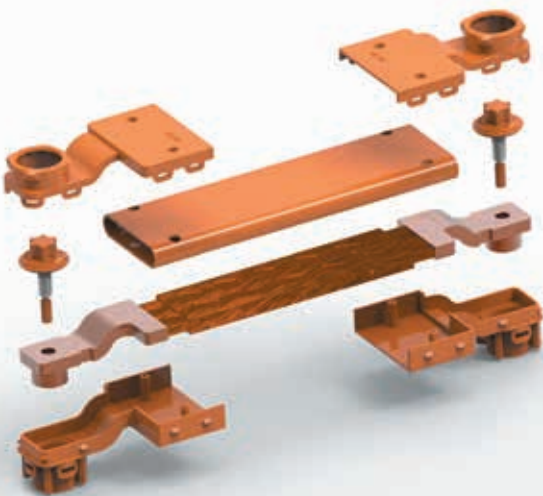


Рис. 3. Інтерфейс ВСОН+: ліворуч – болтова частина; праворуч – контактна нижня частина з видимим круглим інтерфейсом і різьбовою втулкою в центрі

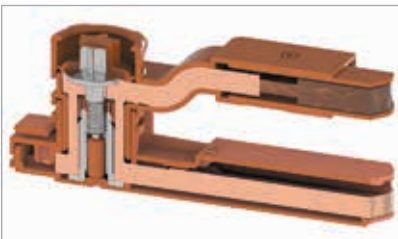
або кутовими версіями та опціональними зміщеннями. Контакти на нижньому боці з'єднання мають різне маркування і можуть повернутися з кроком 90° для запобігання випадковому сполученню або неправильному підключенню схожих з'єднань на мідній шині.

## БОЛТОВЕ З'ЄДНАННЯ

Оскільки жоден роз'ємний інтерфейс не забезпечував достатньо



**Рис. 4.** Покомпонентне зображення з'єднання BCON+



**Рис. 5.** Принцип роботи болтового з'єднання окремого від електричного тракту

низького опору контакту, було обрано болтове кріплення. Це забезпечило необхідні характеристики електричного з'єднання в умовах вібрації (за сили струму 400 А і необхідного опору  $< 10 \text{ мкОм}$ ). За допомогою болта M5 досягається необхідна висока сила контакту. Верхня і нижня частини електричного контакту складаються з гальванічної міді з плоским кільцевим профілем. Така геометрія збільшує площину поверхні електричного контакту. Конструкція болта враховує різні коефіцієнти теплового розширення міді та сталі, що призводить до мінімальної втрати крутного моменту після впливу довкілля за низьких ( $-40^\circ\text{C}$ ) і високих ( $+140^\circ\text{C}$ ) температур. Під час випробувань на вплив навколишнього середовища відповідно до стандарту LV215 болтові з'єднання BCON+ зберігали

заданий момент повторного затягування до кінця терміну служби, тим самим демонструючи функціональну безпеку.

### ВАРИАНТИ КОНТАКТИВ

Система BCON+ призначена для провідників перетином 16–100  $\text{мм}^2$ . Кілька геометричних варіантів показано на рисунку 6. Можливі з'єднання з круглими одножильними провідниками, багатожильними провідниками (круглими та плоскими), а також мідними плоскими контактами (прямими та зміщеннями). Асортимент доповнюють кріпильні застисачі та захисні кришки від механічного стирання.

Завдяки надзвичайно компактним розмірам усі компоненти системи оптимально збігаються один з одним. Це стосується і двох кільцевих профільованих контактів. В ідеальному випадку кільцеві контакти інтегровані в мідний плоский контакт. Однак вони також можуть бути приварені до мідного контакту як окремі деталі або просто надіті на нього. Від обраного методу залежить величина опору контакту. Як і мідні шини, контактні кільця виготовляють із суцільної міді. На область контакту наноситься гальванічне покриття спочатку з нікелю, потім зі спірала, причому нікель слугує дифузійним

бар'єром, а захищено від потъмяння срібло знижує контактний опір і забезпечує термін зберігання компонентів до одного року після виробництва. У процесі виготовлення мідні плоскі контакти тверднуть за певного навантаження. Варіанти плоских мідних контактів зі зміщенням призначенні для особливих умов компонування або компенсації зміщень.

### ПЕРСПЕКТИВИ

Фактичний контактний опір у  $10 \text{ мкОм}$  є чудовим досягненням. Він складається, головним чином, із фізично неминучих втрат, спричинених електричним опором міді (приблизно  $7 \text{ мкОм}$ ) та меншою мірою — опору між двома контактами з кільцевим профілем (блізько  $3 \text{ мкОм}$ ). Також можуть бути реалізовані додаткові вимоги (наприклад, захист від близок води). Крім того, система BCON+ може бути масштабована для більш високих або низьких значень струму.

### ВИСНОВОК

BCON+ від TE Connectivity є високофункциональною системою болтового кріплення з низьким опором для надійного і повністю безпечного для дотиків монтажу навіть в умовах обмеженого простору. Низький контактний опір у поєднанні з високою міцністю роблять болтове з'єднання BCON+ надійним і безпечним рішенням для акумуляторних модулів і точок підключення високої напруги поза батареєю.

Гнучкість варіантів з'єднання (різні форми мідних плоских контактів і різні варіанти провідників) дає змогу використовувати різні конфігурації та геометричні формати контактів в одній системі. Різні варіанти маркування і поворот з кроком  $90^\circ$  забезпечують безпечне складання. Сенсорна безпека відповідає стандарту IPxxB і захищає користувачів від дотику до частин, що перебувають під напругою, на всіх етапах життєвого циклу автомобіля. CN



**Рис. 6.** Різні з'єднання провідників і геометричні варіанти

**ЕЛЕКТРОННІ КОМПОНЕНТИ**  
від провідних виробників світу,  
зі складу та під замовлення

**Гнучкі ціни**

**ТОВ "АДС ТІМ"**  
Україна, 03680, м. Київ  
пров. Ю. Матушака, буд. 3  
+38 (044) 361-47-78, 206-22-52  
+38 (067) 249-77-58, (050) 464-22-52  
[zaproso@adcgr.com](mailto:zaproso@adcgr.com) [www.adcgr.com](http://www.adcgr.com)

**ТОВ Аіронікс** **КОМПОНЕНТИ**

- електронні компоненти  
- друковані плати  
- виготовлення дослідних зразків приладів  
- контрактне виробництво  
- перетворювачі частоти до 11 кВт (Україна)  
до 220 кВт (Китай)

м. Київ, вул. О. Довженка, 3  
[www.aironiks.com.ua](http://www.aironiks.com.ua)  
[www.aironiks.prom.ua](http://www.aironiks.prom.ua)

**ТОВ «АЙПІ-КОМ»**

Гуртове постачання електронних компонентів, плівкових клавіатур, світлодіодної комунікаційної продукції, роз'ємів тощо

моб.: 098-980-48-38

ill1982  
ill82@ukr.net  
ip-com.net.ua

**Altway Electronics, Inc**  
5970 Unity Drive Suite E,  
Norcross, GA 30071, USA  
[www.altwaygroup.com](http://www.altwaygroup.com)

**ОПЕРАТИВНІ ПОСТАВКИ  
ЕЛЕКТРОННИХ КОМПОНЕНТІВ**

Тел. 044-3-922-911  
E-mail: [sales.int@altwaygroup.com](mailto:sales.int@altwaygroup.com)

**www.asanza.com**  
**Китай «АНЬЗА»**

- ◆ Силова електроніка
- ◆ Мікроелектроніка витратні матеріали
- ◆ Матеріали з металу
- ◆ Керамічні вироби
- ◆ Промислове обладнання

**Соня Су**

Tiedong Dist, Anshan, China  
+86-15042320637  
sonia1102@163.com  
+86-15042320637  
sonia11020728

**ТОВ «НВП АСТЕРА»**  
директор ТЕРЕЙКОВСЬКИЙ Артем Семенович

Феритові осердя, аксесуари, індуктивні елементи

61072, Україна, Харків, вул. Тобольська 42 оф. 222  
тел.: 057-757-2859, факс: 057-728-1808  
050-323-3763, 067-575-4440, 068-616-7777  
<http://www.ferrite.com.ua> E-mail: [ferrite@ukr.net](mailto:ferrite@ukr.net)

SONION

- Електронні компоненти
- Світлодіодне освітлення
- Друковані плати
- Контрактне виробництво

**BIS**

bis\_electronics @BISelectronic  
[bis@bis-el.kiev.ua](mailto:bis@bis-el.kiev.ua) | [bis-el.com](mailto:bis-el.com)  
+38 (044) 490-35-99

**ВЕРІКОМ КОМПОНЕНТИ**

- Виробництво друкованих плат від 1 шт
- Контрактне виробництво
- Власний склад електронних компонентів
- Покриття плат лаком і компаундами
- Відповідаємо вимогам стандарту ISO 9001:2015

Україна, м. Київ  
вул. Марії Капіст, 2а, оф. 114  
URL: [www.verikom.kiev.ua](http://www.verikom.kiev.ua)

tel./факс: (+380) 44-501-9335  
(+380) 67-508-0229  
E-mail: [sales@temys.kiev.ua](mailto:sales@temys.kiev.ua)

**WINTEX** (044) 5036112  
(067) 2983455  
(050) 2665517  
Професійний ремонт

- Електронні компоненти
- Модулі та датчики для розробників електроніки
- Модулі для ремонту ТВ, комп'ютерів, планшетів, комп'ютерів
- Роз'єми та конектори
- Розробка елементів альтернативної енергетики
- Ремонт усіх видів електроніки та побутової техніки

03150, Київ, вул. Велика Васильківська, 80 [www.wintex.com.ua](http://www.wintex.com.ua)

**ДП «Гальванотехніка»** ПАТ «Київський завод  
"Радар"»  
ТОВ «НВЦ друкованих плат»

**Виготовлення друкованих плат:**

- одно-, дво- та багатошарових 3° – 5° класів складності;
- жорсткогнучких друкованих плат, гнучких кабелів;
- друкованих плат на металі (алюміній, мідь).

Швидке виготовлення (від 3-5 днів).  
Висока якість. Оптимальне співвідношення ціна/якість.  
Послуги по монтажу плат.

03680, м. Київ, вул. Предславинська, 35  
тел.: (044) 592-5467, 528-2068, 528-3656

<http://plata.com.ua>  
[order@plata.com.ua](mailto:order@plata.com.ua)

  
група компаній GRAND Electronic

38 (044) 239-96-06  
38 (044) 498-01-68

[www.grandelectronic.com](http://www.grandelectronic.com)  
office@grandelectronic.com

Бульвар Вацлава Гавела, 8  
м. Київ, 03124

Прямі поставки від виробника


Комплексні поставки електронних комплектуючих

- Автоматика
- Датчики
- Джерела живлення
- Компоненти і модулі СВЧ
- Мікросхеми
- Розчиначі
- Реле
- Системи бездротового зв'язку
- Системи відображення інформації
- Хімічні джерела струму

  
ТОВ "ДЕЛЛІ"  
МОНТАЖ SMT ТА SHT  
ЕЛЕКТРОННИХ  
КОМПОНЕНТІВ

79060, м. Львів,  
вул. Наукова, 5-А, корп. Е  
Тел.: +38 (032) 245-75-72  
+38 (067) 672-27-40  
E-mail: basarab@delly.info

Незалежний постачальник  
електронних компонентів

  
[www.evocom.ua](http://www.evocom.ua)

Швидкі терміни поставок (до 7 днів)  
Безкоштовна доставка по Україні  
Більше ніж 6 млн. товарів в каталозі

email: info@evocom.ua  
тел. (044) 520-19-13

  
[www.pcbetal.com](http://www.pcbetal.com)

**ДРУКОВАНІ ПЛАТИ**  
ТЕРМІНОВЕ ВИРОБНИЦТВО ВІД 1-ГО ДНЯ!  
Одно-, дво-, багатошарові друковані плати,  
плати на алюмінієвій основі з технологічними  
показниками відповідно до вимог  
міжнародного стандарту IPC-A-600

**Мембрани клавіатури**  
— мембрани клавіатурні панелі  
— лицеві і накладні панелі

ТОВ «PCB-ЕТАЛ»  
28000, Кіровоградська обл.,  
м. Олександрія, вул. Заводська, 1  
Для замовлення:  
Тел.: +38 (050) 268-95-73  
e-mail: pcb@etal.ua  
3 питань ценоутворення:  
Тел.: +38 (066) 872-60-65  
e-mail: sb10@etal.ua

  
**EUROCOM  
COMPONENTS**

дистрибуція електронних компонентів  
контрактне виробництво

08298, смт. Коцюбинське  
вул. Пономарьова, 7  
[www.eurocom-c.com](http://www.eurocom-c.com)

Тел. +38 044 33 44 575  
E-mail: info@eurocom-c.com

  
**Інтегральні Комплексні Системи**  
Контрактне виробництво електроніки

+38 (050) 469-12-07 info@incos.kiev.ua www.incos.kiev.ua  
Київ, вул. Бориспільська, 9, корпус 111

  
Електронні компоненти  
проводних світових виробників  
зі складу в Києві та на замовлення

Інформаційна та технічна підтримка

- 03113, Україна, м.Київ  
вул. Шутова 9, офіс 211
- Тел. (044) 495-21-09, 490-91-59  
факс: (044) 495-21-10  
E-mail: imrad@imrad.kiev.ua  
[www.imrad.com.ua](http://www.imrad.com.ua)

Радіодеталі зі складу – 35 000 найменувань!



Усе для розробки,  
ремонту та виробництва  
електроніки!

Від резистора до мікропроцесора, радіомонтажний  
інструмент та вимірювальні прилади, підбір аналогів  
та консультації.

[www.ims.kh.ua](http://www.ims.kh.ua) тел.: (073) 757 25 22 (23), (098) 028 89 17  
e-mail: imskharkov@gmail.com (057) 732 04 50, 732 01 76

**K206**  
Електронні компоненти

Все для виробництва  
та ремонту зі складу  
та на замовлення

[www.k206.net](http://www.k206.net)  
+38 096 77-99-665



we who are not as others



Телефон: 044 501 90 90  
E-mail: info@cogito.com.ua

**ТОВ "КОМПАНІЯ ОЛЬВІЯ"**  
Корпуса пластикові. Клавіатура півківова.  
Кабельно-провідникова продукція.

[044] 599.7550 [044] 503.3323 KORPUS.KIEV@GMAIL.COM  
03113, м. Київ, вул. Дружківська, 12 А ICQ: 268-789-777 korpus.kiev.ua

**Altium Designer**  
Altium Designer — комплексне проектування друкованих плат та радіоелектронних засобів

**ltb soft**  
sales@ltbsoft.com.ua www.ltbsoft.com.ua  
Партнер Altium в Україні

**PCB DESIGN**

**MASTEK**

м. Київ, пров. Ю. Матющака, 3, оф. 307  
тел. +38 (044) 451-60-80  
моб. +38 (067) 919-51-15 info@mastek.com.ua  
www.mastek.com.ua

Авторизований дистрибутор  
NXP, AMPLION, WeEn в Україні

<http://melsys.com.ua>

- контрактне виробництво електроніки
- монтаж і виготовлення друкованих плат
- виготовлення трафаретів

ТОВ "Мелсис"  
Київ, вул. Новозабарська, 2/6, оф. 204  
info@melsys.com.ua

+38 044 578 18 15  
+38 096 926 70 69  
+38 063 435 68 10

Microdis Electronics GmbH  
Rheinauer Straße 1  
68766 Hockenheim  
Germany

Роман Прокопець  
Менеджер з продажу

M +380 67 475 81 86  
Roman.Prokopets@microdis.net

**MICRODIS**  
Дистрибутор  
електронних  
компонентів

[www.microdis.net](http://www.microdis.net)

**Партнерство  
в електроніці**

03142, м. Київ, вул. Омеляна Прицака, 4, офіс 101  
Тел.: 044 392-93-86, Факс: 044 392-93-87  
[www.micropribor.com.ua](http://www.micropribor.com.ua) sales@micropribor.com.ua

**MICROCHIP**

[microchip.com](http://microchip.com)

[www.otladka.com.ua](http://www.otladka.com.ua)

Фото Сарієв Р.Б.

- Автоматизований SMD монтаж друкованих плат
- Фрезерування панелей, корпусів та пластику
- 3D-друк

+38 050 447-12-58 +38 098 661-97-97

**Pcb24** — сервіс з експрес виробництва прототипів і невеликих партій одно- та двошарових друкованих плат

За 24 години виготовимо Ваше замовлення

Власне виробництво у м. Львів

**Pcb24**  
ТОВ «Крейтів Лоджікс»  
[www.pcb24.com.ua](http://www.pcb24.com.ua)  
pcbprint24@gmail.com  
068 614 38 28

КОНТРАКТНИЙ ВИРОБНИК ЕЛЕКТРОНІКИ ПІД ЗАМОВЛЕННЯ

**PCBA**

+38 044 338 97 73  
info@pcba.com.ua  
pcba.com.ua



Зручний онлайн PCB-калькулятор  
мінімальне замовлення - 5 шт.

**Постачання:**

- друковані плати FR-4;
- алюмінієві друковані плати;
- трафарети для паяльної пасты;
- паяльна паста;
- пріліп.

Сайт: [pcbtut.com](http://pcbtut.com)  
e-mail: [pcbtut@pcbtut.com](mailto:pcbtut@pcbtut.com)  
+38 (067) 674 99 14



- Паяльне обладнання
- Вентилятори
- Трансформатори
- Реле
- Конденсатори

- Резистори
- Світлодіодне обладнання
- Акумулятори
- Блоки живлення
- Мобільні аксесуари

КУПУЙ ВИГІДНО

[radiodetalii.com.ua](http://radiodetalii.com.ua)



вбудовані процесорні плати

COMexpress

Qseven

PC-104

ETX



[www.proxis.ua](http://www.proxis.ua)  
+380(44)4675977  
+380(44)5995977

промислові комп'ютери та системи

ПІ  
СМ



МЕРЕЖА МАГАЗИНІВ РАДІОДЕТАЛЕЙ

Львів      Київ      Харків  
Одеса      Дніпро

[www.rcscomponents.kiev.ua](http://www.rcscomponents.kiev.ua)

+38(044)299-77-55

[sales@radiomag.com.ua](mailto:sales@radiomag.com.ua)

- мікросхеми
- транзистори
- діоди і лінійні містки
- GSM, GPS, GPRS
- паяльне обладнання
- вимірювальне обладнання
- блоки живлення
- розетки
- інструмент
- пасивні компоненти
- батареї та акумулятори та багато іншого

Rainbow Technologies – офіційний дистрибутор і постачальник в Україні:

MICROCHIP, MAXIM, INFINEON, WINBOND, ALTERA, SAMSUNG (LED), LEDIL, VISHAY, ANALOG DEVICES, TEXAS INSTRUMENTS

04112, Україна, м. Київ, вул. Дегтярівська, 62, оф. 46  
Tel./факс: +38 (044) 290-41-69, 290-41-82  
e-mail: [cov@rainbow.com.ua](mailto:cov@rainbow.com.ua)

Промислові та IT-шафи, щити, електронні системи, системи контролю мікроклімату, струмопропускільче обладнання, всепогодні шафи та комплексні рішення для ЦОД, ПЗ EPLAN

Ріттал ТОВ - вул. Київська, 68, 08132, Київ, Україна  
тел.: +380 (44) 536 89 44 E-mail: [office@rittal.com.ua](mailto:office@rittal.com.ua)

REKLAMA GROUP



TOV "РИЧЕЛ"

Поставки електронних компонентів  
Асортимент зі складу та технічна підтримка

вул. Семена Скляренка, 9, оф. 401  
04073, м. Київ  
[info@rekkon.kiev.ua](mailto:info@rekkon.kiev.ua)  
<http://rekkon.kiev.ua>

тел.: +38 (044) 490-92-50  
факс: +38 (044) 494-27-08



м. Київ, вул. Краківська 13-Б  
тел.: +38 (044) 330-00-88  
[sea.com.ua](http://sea.com.ua) [info@sea.com.ua](mailto:info@sea.com.ua)



**Постачання:** Електронні компоненти • Джерела живлення • Світлодіодна продукція та оптоелектроніка  
Індикатори, дисплеї • Обладнання для енергетики • Електротехнічна продукція • Кабельно-проводникові продукти • Обладнання для промислової автоматизації • Бездротові компоненти Відеоконференціальні прилади  
Пакальні обладнання та матеріали для пакування • Сонячна енергетика

**Виробництво:** Світлофори та технічні засоби управління дорожнім рухом • Автоматизована система обліку та контролю енергопостачання • Паркувальні обладнання і системи • Wi-Fi - системи динамічного залеження транспорту • Світлодіодні екрани та медіафасади SEA • Системи керування міським освітленням  
Комплексна система дисплей-інтерактивізації ліфтів • Джерело безперебійного живлення

**Послуги:** Великогабаритне складання обладнання • Проектування друкованих плат  
Виробництво друкованих плат • Контрактне виробництво електроніки • SMD/BIP монтаж компонентів • Комерційні розробки • Проектування, монтаж, модернізація, технічне обслуговування паркінгових комплексів, світлофорів та Wi-Fi об'єктів

Харків: [kharhiv@sea.com.ua](mailto:kharhiv@sea.com.ua)    Дніпро: [dnipro@sea.com.ua](mailto:dnipro@sea.com.ua)    Львів: [lviv@sea.com.ua](mailto:lviv@sea.com.ua)



**Semisvit**

Create with us.

ТОВ "SEMISVIT"  
вул. Б. Хмельницького, 16-22, оф. 504-Г  
01601, м. Київ, Україна  
тел./факс: +380 44 586-2580  
[www.semisvit.com.ua](http://www.semisvit.com.ua)  
[info@semisvit.com.ua](mailto:info@semisvit.com.ua)

Електронні компоненти зі всього світу.  
Створюйте з нами!

ЕЛЕКТРОННІ КОМПОНЕНТИ  
ТА  
КОНТРАКТНЕ ВИРОБНИЦТВО



\*\*\*\*\*

03057, м. Київ, вул. Жолобова, 2-А,  
корп. 7, кім. 303

тел.: (044) 223-12-42  
(073) 705-70-05  
(096) 705-70-05

[info@smdua.in.ua](mailto:info@smdua.in.ua)

[www.smdua.in.ua](http://www.smdua.in.ua)

**ЛІВАРНИЙ ЗАВОД «СТОЛИЧНИЙ»**



Перший український виробник припоїв з флюсом та без флюсів за європейськими стандартами

e-mail: office@lzs.com.ua  
тел.: +38067-594-60-02, +38067-621-70-77

LZS.COM.UA

**НВП ТЕХНОСЕРВІСПРИВІД**  
ВСЕ ДЛЯ СИЛОВОЇ ЕЛЕКТРОНІКИ ТА ЕЛЕКТРОТЕХНІКИ



Діоди та містки,  
діодні, тиристорні, IGBT модулі,  
силові напівпровідники (**SEMIKRON**),  
конденсатори косинусні, імпульсні, моторні  
(**ELECTRONICON**)

Продаж, ремонт перетворювачів частоти,  
пристрій плавного пуску (**DANFOSS**)

Для пошти: 04211, Київ-211, а/с 141  
Тел./факс: (044) 458-47-66, 456-19-57  
E-mail: tsdrive@ukr.net, Web: www.tsdrive.com.ua

Електронні компоненти Рознімачі З'єднувачі



**ТЕХПРОГРЕСС**  
www.tpps.com.ua

ТОВ «КП «Техпрогрес»  
04070, м. Київ,  
вул. Ігорівська, 8/10-А, оф. 38  
(044) 461-91-00



**TMS PROJECT**

Контрактне виробництво  
Сертифіковано ISO9001  
Постачання електронних компонентів



Україна, Київ  
вул. Марії Калніст, 2а, оф. 114  
тел/факс: (044) 501-9335  
URL: www.tmsproject.com.ua  
E-mail: sales@temys.kiev.ua

**ELFA DISTRELEC**  
ПОСТАВКИ ЕЛЕКТРОННИХ КОМПОНЕНТИВ  
ЗІ СКЛАДУ У ЄВРОПІ.



**ТОК ЕЛЕКТРОНІКС**  
Офіційний дистрибутор в Україні

04080, м. Київ  
вул. Вікентія Хвойки, 18/14 склад 10/8

www.distrelec.biz e-mail: ulla@tok-el.com oksana@tok-el.com

Tel. +38 066 781 66 11  
+38 093 896 40 88



**Trafaret**

**PHOENIX CONTACT**

phoenixcontact.com



**ФІЛУР  
ЕЛЕКТРИК**  
Електронні компоненти  
Технологічне обладнання, інструменти, матеріали  
Комплектуючі для Hi-Fi та Hi-End

вул. Гетьмана Павла Полуботка, 22/14  
м. Київ, Україна, 02100  
www.filur.net

+38 (066) 496 75 75  
+38 (044) 495 75 75  
e-mail: office@filur.net

**ЮНІТЕСТ**  
КОНТРОЛЬНО-ВИМІРЮВАЛЬНІ ПРИЛАДИ  
АВТОРИЗОВАНІЙ ДИСТРИБЮТОР В УКРАЇНІ  
продаж • навчання • сервіс



TOV "ЮНІТЕСТ"  
вул. Олеся Гончара, 6  
04053, м. Київ, Україна  
тел: +38 (044) 272-60-94  
тел./факс: +38 (044) 272-60-95  
e-mail: web@unitest.com  
http://www.unitest.com

**KEYSIGHT TECHNOLOGIES**  
Авторизований дистрибутор

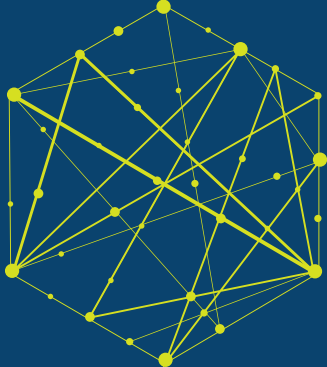
**ЮСТАС**  
Електронні компоненти провідних світових виробників:  
конденсатори всіх типів, транзистори, теристори,  
мікросхеми, діоди, діодні мости, кварци,  
індикаторна продукція всіх типів, вентилятори,  
механічні елементи, кабельна продукція

justas@pm.lviv.ua  
justas\_k@ukr.net

Магазин "Електронних компонентів"  
79018, м. Львів, ул. Героїв УПА, 40,  
моб (032) 237-31-82, (032) 238-94-41  
пн-пн - субота з 10:00 до 18:00

http://justas-electronics.com.ua  
+38 (093) 020-40-51

**Київ** Травень 27-29  
Україна **2025**



Виставка систем охорони та безпеки

# **Expert Security**

**БЕЗПЕКА ЗОВСІМ ПОРЯД**



МІСЦЕ ПРОВЕДЕННЯ:  
м. Київ, Броварський пр-т, 15  
станція метро «Лівобережна»



+38 (050) 403-66-91

+38 (050) 770-36-75



expert@iec-expo.com.ua



[www.expert-security.com.ua](http://www.expert-security.com.ua)



## ВИСТАВКИ 2024

Назва	Сайт	Організатор	Місто	Дата проведення*
Kyiv Maker Faire	<a href="https://kyiv.makerfaire.com/">https://kyiv.makerfaire.com/</a>	ГО «Мейкер Хаб»	Київ	02.03.2024
GreenExpo	<a href="http://www.greenexpo.com.ua">www.greenexpo.com.ua</a>	Євроіндекс	Київ	23.05–24.05.2024
Міжнародний промисловий форум	<a href="http://www.iec-expo.com.ua/pf-2024.html">www.iec-expo.com.ua/pf-2024.html</a>	МВЦ	Київ	28.05–30.05.2024
Addit EXPO 3D	<a href="http://www.iec-expo.com.ua/addit-2024.html">www.iec-expo.com.ua/addit-2024.html</a>	МВЦ	Київ	28.05–30.05.2024
Expert Security	<a href="https://expert-security.com.ua/">https://expert-security.com.ua/</a>	МВЦ	Київ	28.05–30.05.2024
SECURITY 2.0	<a href="http://www.bezpeka.ua">www.bezpeka.ua</a>	Євроіндекс	Київ	02.10–03.10.2024
ELECTRO INSTALL	<a href="http://www.iec-expo.com.ua/ei-2024.html">www.iec-expo.com.ua/ei-2024.html</a>	МВЦ	Київ	15.10–17.10.2024
E-Comps+DigiTec	<a href="http://www.iec-expo.com.ua/ecom-2024.html">www.iec-expo.com.ua/ecom-2024.html</a>	МВЦ	Київ	15.10–17.10.2024
EcoEnergy Expo	<a href="http://www.iec-expo.com.ua/ee-2024.html">www.iec-expo.com.ua/ee-2024.html</a>	МВЦ	Київ	15.10–17.10.2024
Енергетика в промисловості	<a href="http://www.iec-expo.com.ua/ep-2024.html">www.iec-expo.com.ua/ep-2024.html</a>	МВЦ	Київ	15.10–17.10.2024

\* Інформація отримана від організаторів виставок. Можливі зміни в залежності від ситуації.

## РОЗМІРИ РЕКЛАМНИХ БЛОКІВ

- 1 сторінка (200×270 мм)\*
- 2/3 сторінки (112×240 мм)
- 1/2 сторінки (170×120/83.5×240 мм)
- 1/3 сторінки (54×240/112×120/170×80 мм)
- 1/4 сторінки (112×100 мм)
- 1/6 сторінки (54×120/112×60/127×55 мм)
- «Візитка» (80×40 мм)

\* Для усунення неточностей при обрізанні, розмір реклами, яка подається, повинен бути 210×280 мм (дообрізний формат з урахуванням «вильотів» по 5 мм з кожного боку, які краще заповнити основним фоном реклами). Значимі символи (текст, логотип та інші елементи оформлення, які гарантовано не повинні потрапити під обрізку) не повинні підходити до краю сторінки менш ніж на 10 мм (післяобрізний формат сторінки 200×270 мм).

Редакція журналу «CHIP NEWS» приймає до розміщення тільки повнокольорові рекламні блоки, розміри яких повинні в точності відповідати розмірам, наведеним у таблиці.

Текст реклами повинен бути виключно українською мовою.

## ВИМОГИ ДО РЕКЛАМНИХ І АВТОРСЬКИХ МАТЕРІАЛІВ

**Рекламні матеріали** приймаються **тільки українською мовою в форматах «.eps» або «.tif» (300 dpi)**. Кольорова модель — **CMYK**. Сумарний процент фарб — не більше 300%. Якщо в форматі «.eps» є впроваджені раstroві зображення, вони також повинні мати роздільність 300 dpi і кольорову модель CMYK. **Всі шрифти обов'язково повинні бути переведені в криїв.**

**Авторські матеріали.** Текст статті приймається в форматі «.doc» (Microsoft Word). Всі рисунки повинні бути підготовлені **тільки в форматах «.eps»**, фотографії — в форматі **«.tif» (300 dpi)**, кольорова модель — **CMYK** і надані окремими файлами. Кожний рисунок повинен мати підрисуночний підпис і посилання на нього в статті. Якщо в статті є таблиці, то кожна таблиця повинна мати назву, посилання на неї в статті і надаватись в форматах **«\*.doc» або «\*.xls»**.



# Компактні та розподільчі шафи АХ та КХ з нержавіючої сталі



**Швидкий внутрішній монтаж** без механічної обробки за допомогою системних аксесуарів



**Широкий асортимент аксесуарів** з нашої модульної системи



**Високий ступінь захисту** (до IP 66/IK 10) завдяки тому, що кромка корпусу має плоску конструкцію країв згину



**Цифрова "кишеня" електромонтажних схем Rittal ePOCKET** для доступу до постійно оновлюваної документації машин і устаткування

Щоб дізнатись більше про цей продукт,  
тисніть кнопку та переходьте за посиланням

[rittal.com.ua](http://rittal.com.ua)



наші контакти: [office@rittal.com.ua](mailto:office@rittal.com.ua) • 044 536 99 44



ENCLOSURES

POWER DISTRIBUTION

CLIMATE CONTROL

IT INFRASTRUCTURE

SOFTWARE & SERVICES

# НВП «ТЕХНОСЕРВІСПРИВІД»

Авторизований сервіс-партнер Danfoss Drives в Україні

[www.semismart.com.ua](http://www.semismart.com.ua), [semikron@ukr.net](mailto:semikron@ukr.net), [service\\_danfoss@ukr.net](mailto:service_danfoss@ukr.net)

(044) 458 47 66, (067) 463 46 62, (095) 284 96 62



**SEMIKRON  
DANFOSS**

Офіційний представник в Україні

1500 Vdc для сонячної енергетики?  
У нас є будь-які рішення!



## Сонячні інвертори 1500 Vdc

Силові модулі / IPM / Силові збірки потужністю до 1,5 МВт



З-рівневі  
силові модулі та збірки:

SEMITOP

MiniSKiiP

SKiM 4

SEMiX 5

SEMITRANS 10

IPM SKiiP4

2L і 3L інвертори 20 кВт – 1,5 МВт